



**UNIVERSIDADE FEDERAL DE PERNAMBUCO
CENTRO DE TECNOLOGIA E GEOCIÊNCIAS
DEPARTAMENTO DE OCEANOGRÁFIA
PROGRAMA DE PÓS-GRADUAÇÃO EM OCEANOGRÁFIA**

Patrícia Silva Basílio Dantas

**MICROPLÂNCTON NO ENTORNO DA ILHA OCEÂNICA DO ATOL DAS ROCAS,
ATLÂNTICO SUDOESTE – BRASIL**

Recife

2019

Patrícia Silva Basílio Dantas

**MICROPLÂNCTON NO ENTORNO DA ILHA OCEÂNICA DO ATOL DAS ROCAS,
ATLÂNTICO SUDOESTE – BRASIL**

Tese apresentada ao Programa de Pós-Graduação em Oceanografia da Universidade Federal de Pernambuco, como requisito parcial para a obtenção do Grau de Doutor em Oceanografia

Área de concentração: Oceanografia Biológica

Orientadora: Profa. Dra. Sigrid Neumann Leitão

Coorientador: Dr. Rodrigo Ferreira Bastos

Recife

2019

Catalogação na fonte
Bibliotecário Gabriel Luz, CRB-4 / 2222

D192m Dantas, Patrícia Silva Basílio.
Microplâncton no entorno da ilha oceânica do Atol das Rocas, Atlântico Sudoeste - Brasil / Patrícia Silva Basílio Dantas – Recife, 2019.
109 f.: il.

Orientadora: Profa. Dra. Sigrid Neumann Leitão.
Coorientador: Prof. Dr. Rodrigo Ferreira Bastos.
Tese (Doutorado) – Universidade Federal de Pernambuco. CTG. Programa de Pós-Graduação em Oceanografia, 2019.
Inclui referências.

1. Oceanografia. 2. Oceano Atlântico. 3. Atol das Rocas. 4. Microplâncton. 5. Radiozoa. 6. Dinophyceae. I. Leitão, Sigrid Neumann (Orientadora). II. Bastos, Rodrigo Ferreira (Coorientador). III. Título.

UFPE

551.46 CDD (22. ed.)

BCTG / 2020-144

Patrícia Silva Basílio Dantas

**MICROPLÂNCTON NO ENTORNO DA ILHA OCEÂNICA DO ATOL DAS ROCAS,
ATLÂNTICO SUDOESTE – BRASIL**

Tese apresentada ao Programa de Pós-Graduação em Oceanografia da Universidade Federal de Pernambuco, como requisito parcial para a obtenção do Grau de Doutor em Oceanografia

Aprovada em 16 de dezembro de 2019

Profa. Dra. Sigrid Neumann Leitão – Presidente
DOCEAN-UFPE

Prof. Dr. Fernando A. do N. Feitosa – Titular Interno
DOCEAN-UFPE

Prof. Dr. Ralf Schwamborn – Titular Interno
DOCEAN-UFPE

Profa. Dra. Xiomara Francesca Garcia Diaz – Titular Externo
UFPA, PA

Dra. Renata Poliana de Santana Campelo – Titular Externo
DOCEAN-UFPE

AGRADECIMENTOS

Grandes foram as dificuldades que encontrei nessa jornada acadêmica e maiores foram os apoios e amigos que encontrei nesse caminho. Desde o dia em que decidi ingressar no programa até o momento da defesa, contei com o suporte de pessoas incríveis que me incentivaram e subsidiaram na finalização deste trabalho.

Em 2010 meus agradecimentos começaram assim: A mim, por minha dedicação, coragem, determinação, paciência, confiança, persistência e milhares de outras características que estiveram em minha vida durante os quatro anos em que estive me aprofundando na biologia, sendo a modéstia a melhor delas. Pois, ao definir quem sou agora, após terminar essa etapa, percebi que inúmeros fatores devem ser levados em consideração e, portanto, merecem honra e agradecimentos. Agora, nove anos depois, mais uma etapa é finalizada e acredito ainda ser digna desse mérito.

Estudando genética, “Aa x Bb”, senti imensa gratidão aos senhores: Antoneilton Santos Basílio (PAI) e Edeilta Silva Basílio (MÃE e PAI também), pois, cederam de “muitíssimo bom grado” por sinal, todas as bases formadoras de meus genes, entre elas, perfeita capacidade mental e física que me permitem ter chegado até aqui, além do apoio e formação durante todo meu desenvolvimento (infâncias, adolescências e “fase adulta”) (Basilio, 2010). Mais que isso, hoje sendo mãe de duas preciosidades, Luna e Maya, vejo com clareza todo esforço, o exemplo de mulher, que minha mãe é, sou grata por tudo que ela deixou de ser para que eu fosse o seu melhor um dia. Ainda neste estudo posso incluir os genes dos genitores dos meus genitores, Vó Severina, Vô Severino, Vó Zezé e o meu Vô enigmático (Basilio, 2010). Hoje, depois de deixar tanto amor e sabedoria, já partiram e vivem em saudade na minha memória e no meu coração.

Meu Irmão (Daniel) também é lembrado nesse heredograma, apesar de vir depois geneticamente, veio antes, fisicamente, desmembrar os muros acadêmicos. Ele abriu para mim algumas portas e, portanto, facilitou a minha adaptação ao novo nicho (Basilio, 2010). Agora doutor em entomologia e orgulho da família.

Também tenho muito a agradecer aos meus mutantes preferidos, que, nasceram Tios e devido a algumas alterações ambientais tornaram-se pais (Tio Hamilton, Tio Mima e Tio Toinho - agora não mais aqui), e as tias (Adailza e Socorro).

Como o ciclo da vida não para, hoje passando meus genes a frente agradeço as minhas filhas Luna e Maya por me mostrar que o amor e a força que temos nessa vida é muito maior do que podemos imaginar e ao meu amor e marido (Rafael dos Santos Dantas), que comigo escolheu dividir a jornada

da vida, sendo meu companheiro em todas as áreas. Nessa nova associação posso dizer que novos pais ganhei, Dona Lucia e senhor Adilson, que trouxeram a vida meu amor e me apoiaram imensamente.

Tive que me aprofundar na ecologia durante todos esses anos, as interações ecológicas mediaram grande parte de meus movimentos, portanto, ajudaram-me a crescer e evoluir. Posso agradecer aqueles que como pedras (relações ecológicas intraespecíficas negativas) se colocaram no meu caminho e me fizeram olhar o mundo do alto. Aos amigos (relações ecológicas intraespecíficas positivas) que me deram as mãos (Basilio, 2010). Nesse tópico agradeço a todos os novos amigos que me incentivaram, me apoiam e torceram por mim. E mais, aos amigos de laboratório, pelo auxílio nas identificações, em especial a Renata, Xiomara e Alejandro, que foi o meu braço direito durante a chegada de Luna e de Maya.

Agradeço imensamente a minha orientadora de vida e educacional professora Sigrid, nela encontrei mais uma mãe. Seu cuidado, compreensão positividade e paciência foram sem dúvida o fundamento para essa construção.

Aos professores do programa que me acrescentaram conhecimento e direcionaram aos melhores caminhos na minha pesquisa. A Hélida Philippini e Elizabeth Pastich, pelo incentivo para tentar a seleção do doutorado, onde tudo começou.

Agradeço as instituições financiadores do meu projeto e bolsa, FACEPE, CNPq, Marinha do Brasil e UFPE.

E como os últimos serão os primeiros. Muitos agradecimentos ao Pai da minha Evolução, o meu amorzinho Emanuel, pela compreensão e empenho em me manter firme e próspera sempre, pelo grande amor com que sempre me recebe em Sua vida. Pelas suas palavras que, sempre me trouxeram paz e pelos ouvidos santos “e que ouvidos”, com os quais escutou os meus desabafos, minhas reclamações, dúvida, choros e risos (Basilio, 2010). Dele o que posso falar?! Nada mudou, pois ele mesmo disse: Toda a boa dádiva e todo o dom perfeito vem do alto, descendo do Pai das luzes, em quem não há mudança nem sombra de variação (Tiago 1:17).

Pela fé entendemos que o universo foi formado pela palavra de Deus, de modo que o que se vê não foi feito do que é visível (Hebreus 11:3)

Conclusão, de todos estes é que hoje se faz Patrícia Silva Basílio, agora Dantas.

RESUMO

Esta tese foi desenvolvida no Atol das Rocas, oceano Atlântico tropical ocidental. Sua presença aumenta a produtividade por favorecer a mistura de águas nutridas em regiões iluminadas, acentuando a importância dos micro-organismos como cicladores de pequenas partículas, geralmente inacessíveis para os demais níveis tróficos. Para tanto, objetivamos ampliar o conhecimento sobre a diversidade do microplâncton, assim como os possíveis efeitos dos fatores ambientais sobre sua dinâmica espaço-temporal. Foram desenvolvidos três capítulos, o primeiro versa sobre a diversidade do microzooplâncton. Foram identificados 197 táxons e os grupos com maior riqueza foram Radiozoa (79), Copepoda (49, também o mais frequente), Tintinnina (42) e Foraminifera (12). A maior densidade total foi $63\ 683.3\ \text{ind m}^{-3}$ (2010). Foi encontrado um alto índice de diversidade de Shannon (H'), variando de 3,57 a 3,81 bits ind^{-1} . Os melhores indicadores para o atol das Rocas foram *Codonellopsis orthoceros* e *Acanthodesmia viniculata* (Tintinnina), *Orbulina universa* (Foraminifera) e *Acrocalanus gracilis* (Copepoda), que são espécies características de águas tropicais oligotróficas. O segundo capítulo teve enfoque na diversidade de Radiozoa Polycystina e sua dinâmica temporal. Foram identificados 76 taxa entre as Ordens Nassellaria (12 famílias) e Spumellaria (9 famílias). Destes, 65,8% ocorreram apenas em 2014, ano de maior riqueza e densidade total, diferente do observado para o microzooplâncton total. Foi verificada diferença significativa para a densidade apenas entre anos. A temperatura foi o parâmetro mais explicativo, com maiores valores em 2010. Os nutrientes apresentaram valores mais altos em 2014, principalmente a sílica. Pode-se deduzir que a classe Polycystina foi mais bem-sucedida em 2014 onde elevados valores de nutrientes contribuíram positivamente para a maior abundância. O terceiro capítulo tratou sobre a diversidade e dinâmica espaço-temporal dos Dinoflagellata. Foram identificados 90 taxa distribuídos em seis Ordens. Gonyaulacales apresentou maior riqueza, com 34 espécies do gênero *Tripos* e 6 do gênero *Ceratium* (família Ceratiaceae). 2014 apresentou maior riqueza específica (69), enquanto, 2010 apresentou maior densidade total ($19\ 125.17\ \text{ind m}^{-3}$). Com destaque para *Ceratium tripos* var. *tripos*, *Ceratium horridum* var. *buceros*, *Ceratium* sp. e *Tripos candelabrus*, reforçando a importância da família Ceratiaceae, que foi mais abundante em todos os fatores (dia/noite, distância e ano). O ANO-SIM indicou diferenças entre anos e período, com maior semelhança entre 2010 e 2014. 2014

foi o ano que apresentou maior riqueza, equitabilidade e diversidade. A noite apresentou maior equitabilidade e menor riqueza (79 noite/ 69 dia). 14 espécies apresentaram valor indicativo para 2010, 3 para 2014 e nenhuma pra 2012. Para o período, 2 foram indicativas do dia e 5 da noite. Os parâmetros apresentaram apenas variação anual, exceto para nitrato e fosfato. Conclui-se que a diferença anual foi mais marcante do que por período. 2014 e 2010 apresentaram maior semelhança e 2014 foi o mais favorável ao desenvolvimento dos Dinoflagellata, visto sua maior riqueza e diversidade. De um modo geral, percebemos que os grupos estudados se comportam de maneiras distintas dentro do contexto interanual, mostrando a importância desses grupos como indicadores ambientais de variações climáticas.

Palavras-chave: Oceano Atlântico. Atol das Rocas. Microplâncton. Radiozoa. Dinophyceae.

ABSTRACT

This work was conducted at the Rocas Atoll, the only one in tropical Atlantic waters. Its presence increases the primary productivity mainly because It can promote water mixing in light-up regions, emphasizing the importance of microorganisms as small particle consumers, usually unavailable to the other trophic levels. Therefore, we aim to broaden the knowledge about microplankton diversity as well as the possible effects of environmental factors on their Spatio-temporal dynamics. Three parts have been developed, the first is about microzooplankton diversity. 197 taxa were identified and the richest groups were Radiolaria (79), Copepoda (49, also the most frequent), Tintinnina (42) and Foraminifera (12). The highest total density was $63\ 683.3\ \text{ind}\ \text{m}^{-3}$ in 2010. A high Shannon diversity index (H') was found, ranging from 3.57 to 3.81 bits ind^{-1} . The best indicators for Rocas atoll were *Codonellopsis orthoceros* and *Acanthodesmia viniculata* (Tintinnina), *Orbulina universa* (Foraminifera) and *Acrocalanus gracilis* (Copepoda) which are characteristic species of oligotrophic tropical waters. The second part focused on the diversity of Radiolaria Polycystina and its temporal dynamics. 76 taxa were identified between the Nassellaria Orders (12 families) and Spumellaria Orders (9 families). Of these, 65.8% occurred only in 2014, the year of greatest richness and total density, different from that observed for total microzooplankton. A significant difference was found for density only between years. The temperature was the most descriptive parameter, with higher values in 2010. Nutrients had higher values in 2014, mainly silica. It can be deduced that the Polycystina class was most successful in 2014 where high nutrient values contributed positively to the highest abundance. The third part discusses the diversity and spatiotemporal dynamics of the Dinoflagellata. We identified 90 taxa distributed in six Orders. Gonyaulacales showed the higher richness, with 34 species of the genus *Tripos* and 6 of the genus *Ceratium* (Ceratiaceae family). 2014 presented higher specific richness (69), while 2010 presented higher total density ($19\ 125.17\ \text{ind}\ \text{m}^{-3}$). Highlighting *Ceratium tripos* var. *tripos*, *Ceratium horridum* var. *buceros*, *Ceratium* sp. and *Tripos candelabrus* augmenting the importance of the Ceratiaceae family, which was more abundant in all factors (day/night, distance and year). The ANOSIM indicated differences between years and periods, with a greater similarity between 2010 and 2014. 2014 was the year with the highest richness, equitability, and diversity. The night exhibited

higher equitability and lower richness (79 night / 69 day). 14 species presented indicative value for 2010, 3 for 2014 and none for 2012. For the period, 2 were indicative of the day and 5 of the night. The parameters presented only annual variation, except for nitrate and phosphate. It was concluded that the annual difference was more marked than the period. 2014 and 2010 were more similar and 2014 was the most favorable for the development of Dinoflagellata, given its greater richness and diversity. In general, we recognize that the groups studied behave in different ways within the temporal context, showing their importance as climatic change and environmental indicators.

Keywords: Atlantic Ocean. Rocas Atoll. Microplankton. Radiozoa. Dinophyceae.

SUMÁRIO

1	INTRODUÇÃO	11
2	ESTRUTURA E OBJETIVOS DA TESE	14
3	METODOLOGIA	15
3.1	ÁREA DE ESTUDO	15
3.2	MÉTODOS DE COLETA E ANÁLISE	16
4	ARTIGO 1	19
5	ARTIGO 2	42
6	ARTIGO 3	69
7	CONSIDERAÇÕES FINAIS.....	92
	REFERÊNCIAS	94

1 INTRODUÇÃO

Oceanos tropicais são conhecidos como desertos azuis, isso devido a suas características oligotróficas. Eles apresentam baixa biomassa e produtividade, todavia, é possível verificar que a diversidade do plâncton é elevada (LONGHURST; PAULY, 2007), principalmente próximo a áreas com grandes estruturas topográficas e fisiográficas (MUNK et al., 1995; GONZÁLEZ-QUIRÓS et al., 2003).

Os montes submarinos, ilhas oceânicas, atóis e talude da plataforma continental são exemplos dessas estruturas. Próximo a essas áreas a produtividade é elevada, para diversos níveis tróficos (DOTY; OGURI, 1956; MUNK et al., 1995; GONZÁLEZ-QUIRÓS et al., 2003), resultado de alteração na hidrodinâmica oceânica local, que propicia a mistura de águas de profundidade (ricas em nutrientes) com as águas superficiais (zona eufótica) (DOTY; OGURI, 1956), modificando diretamente as características físicas e químicas do meio e consequentemente a estrutura das comunidades locais, fenômeno conhecido como “efeito-ilha” (BOEHLERT; GENIN, 1987; ROGERS, 1994; GENIN, 2004).

Variações na temperatura, salinidade, disponibilidade de nutrientes, luminosidade e taxa fotossintética afetam positiva ou negativamente a dinâmica do plâncton (MCLAREN, 1964; MARSHALL, 1973; FRANZÈ; LAVRENTYEV, P. J., 2014). Muitos autores afirmam que os processos físicos podem dominar no controle da biodiversidade e biomassa desses organismos (HOUGH; NAYLOR, 1992; FORWARD, R. B. J.; TANKERSLEY, 2001; COHEN; FORWARD, R. B., 2005), alterando as produções primárias e secundárias (BOLTOVSKOY, 1981, 1999; MELO, 2009; MELO et al., 2012) e a eficiência ótica dos predadores visuais (FERNÁNDEZ, 1977; RINGELBERG, 1995). A transferência de energia do fitoplâncton aos níveis tróficos superiores é ampliada (LENZ, 2000; NUNES, 2010), assim como, a ciclagem de nutrientes orgânicos e inorgânicos da coluna d’água (LENZ, 2000; ARAÚJO; CINTRA, 2009) e a exportação destes para os bentos (ARAÚJO; CINTRA, 2009).

Nesse ambiente modificado, podemos ver de maneira mais clara a grande importância que os micro-organismos exercem nos oceanos. O fitoplâncton, assim como os microzooplâncton mixotróficos, atuam na produção primária e sustentam uma complexa teia trófica com estes últimos também assumindo o papel de principal elo entre os produtores primários e os demais

níveis tróficos dessa teia, alimentando-se de partículas inacessíveis para as demais categorias do plâncton (CAPRIULO; CARPENTER, E., 1983; MCMANUS; EDERINGTON-CANTRELL, 1992; LAVRENTYEV, P. et al., 2015), tornando-se fonte de energia para invertebrados e vertebrados marinhos (LINLEY; NEWELL; LUCAS, 1983; GIFFORD, 1991; GAUNS; MOHANRAJU; MADHUPRATAP, 1996; FUKAMI et al., 1999; GODHANTARAMAN, 2001, 2002; GODHANTARAMAN; UYE, 2001; JYOTHIBABU et al., 2006), e, consequentemente, atuando para o aumento do potencial pesqueiro (HERNÁNDEZ LEÓN et al., 2001; GENIN, 2004). Essas interações tróficas conectam fortemente seus componentes com o meio, fazendo com que qualquer variação em um dos níveis afete os demais (HUNTER; PRICE, 1992).

Além da evidente importância trófica, o microplâncton contribui para estudos oceanográficos como indicadores biológicos das massas d'água, (KOENING; OLIVEIRA, 2009), corrente oceânicas (BOLTOVSKOY, 1981) e ressurgência (PIERCE; TURNER, 1994; KRSINIC; GRBEC, 2006), por serem, em sua maioria, organismos com nenhuma ou baixa capacidade locomotora, cuja posição na coluna d'água depende muito mais do fluxo da massa d'água e correntes do que sua capacidade natatória (GARRISON, 2010). Também representam uma peça fundamental em pesquisas ecológicas, principalmente em sua porção animal, sobretudo pela alta diversidade taxonômica e capacidade de colonizar diversos habitats (ORMOND; GAGE; ANGEL, 1998; TIBURCIO et al., 2011).

O Microplâncton compreende um grupo altamente diversificado de organismos, classificados assim devido à sua variação de tamanho, que está entre 20 e 200 µm, representando uma importante fração da biomassa oceânica (PIERCE; TURNER, 1994). Dentre os grupos que fazem parte dessa classificação encontramos os Tintinnina, Radiolaria, Foraminifera, Dinoflagelata e Crustacea (SHERR, E. B.; SHERR, B. F.; PAFFEENHOFER, 1986) com predominância de náuplios e juvenis de várias espécies de Copépoda (TURNER, 2004).

É necessário, portanto, avaliar de que maneira a heterogeneidade temporal, espacial e topográfica influenciam os padrões de resposta das comunidades nos ambientes marinhos tropicais, já que essas influências ainda não estão totalmente elucidadas (VISSE; STIPS, 2002). Diante deste aspecto pode-se destacar a importância de estudos que considerem e interliguem as várias áreas da oceanografia, de forma a gerar um conhecimento holístico sobre os processos físico-químicos e biológicos.

Este estudo foi realizado em uma área de grande importância ecológica para o território brasileiro, o Atol das Rocas, que é o único no sul do oceano Atlântico, faz parte da Reserva Biológica Atol das Rocas e representa um importante *hotspot* biológico (GOVE et al., 2016). Apesar disso e da atual importância do microplâncton dentro do cenário acadêmico, poucos estudos tem sido desenvolvidos na área, a maioria relacionados ao grupo Tintinnina (NOGUEIRA, E. M. S.; SASSI; CORDEIRO, 2005; NOGUEIRA, E. M. S.; SASSI; CORDEIRO, 2008; NOGUEIRA, M. E. S.; SASSI, 2011), Foraminifera (TINOCO, 1965), Fitoplâncton (JALES et al., 2015) ou relacionados ao macrozooplâncton (PINTO; MAFALDA; SANTOS, 1997).

Neste trabalho foi proposto ampliar o conhecimento científico sobre as espécies que compõem a comunidade microplanctônica do Atol das Rocas e os possíveis efeitos dos componentes físicos, químicos e biológicos presentes nesses ambientes sobre a comunidade microplanctônica, além de demonstrar a importância dessa área para a manutenção da diversidade nos oceanos oligotróficos.

Este trabalho contou com o suporte técnico dos projetos aprovados pelo Conselho Nacional de Pesquisa (CNPQ), Camadas finas I, II e IV, da Marinha do Brasil através do programa PROARQUIPELAGO, do Instituto Brasileiro do Meio Ambiente (IBAMA), da Fundação de Amparo à Ciência e Tecnologia do Estado de Pernambuco (FACEPE) e da Universidade Federal de Pernambuco.

2 ESTRUTURA E OBJETIVOS DA TESE

A tese foi dividida em três manuscritos:

Artigo 1: *Rocas Atoll: An oasis supporting microzooplankton in an oceanic desert.* Que será submetido ao Jurnal of Marine Systems.

(<https://www.journals.elsevier.com/journal-of-marine-systems>)

- Com o objetivo de acessar a biodiversidade, além da dinâmica espacial e temporal do microzooplâncton do Atol Rocas, no Atlântico Sudoeste

Artigo 2: *Patterns of diversity and abundance of Radiolaria (Polycystina) of Rocas Atoll, Southwestern Tropical Atlantic.* Aceito pelo Tropical Journal of Fisheries and Aquatic Sciences.

(<https://cepnor.ufra.edu.br/index.php?journal=tjfas&page=index>)

- Com o objetivo de avaliar a composição e dinâmica temporal dos Radiolaria Polycystina do Atol das Rocas, Brasil

Artigo 3: *Influência dos parâmetros ambientais na distribuição de Dinoflagellata - Atol das Rocas, Brasil.* Que será submetido à Marine Environmental Research.

(<https://www.journals.elsevier.com/marine-environmental-research>)

- Com o objetivo de identificar como parâmetros físicos, químicos e biológicos influenciam a dinâmica espacial e temporal do Dinoflagellata no Atol das Rocas, Brasil

3 METODOLOGIA

A metodologia deste trabalho foi a que segue:

3.1 ÁREA DE ESTUDO

O Atol das Rocas é único no Brasil e no sul do oceano Atlântico ocidental; está localizado a 148 km a oeste do arquipélago de Fernando de Noronha, a 3°52'S; 33°49'W e é caracterizado como um recife de algas calcárias e elíptico, que cobre aproximadamente 5.5 km² e que possui uma abertura ligando sua lagoa central ao oceano. O eixo mais longo (E-W) mede 3.7 km e o eixo mais curto (N-S) 2.5 km (RODRIGUES, 1940; KIKUCHI, 1994; PEREIRA et al., 2010). O anel de recife que o rodeia é semi-serrado com extensão de 0.2 a 1 km e a lagoa apresenta profundidade máxima de 6 m no interior (KIKUCHI, 1994). O ciclo de maré que banha a área é semi-diurno e seu máximo pode atingir 2.7 m (KIKUCHI, 2002). Durante este evento apenas as duas ilhas, a noroeste e sudoeste do atol, continuam expostas acima do nível do mar, elas são formadas por areia grossa de algas calcárias e corais fracionados - a Ilha do Farol, com uma área de 34.637 m² e a Ilha do Cemitério com uma área de 31.513 m² (RODRIGUES, 1940; SOARES; LEMOS; KIKUCHI, 2009; PEREIRA et al., 2010).

É cercado por águas quentes oligotróficas devido à estratificação física das camadas superficiais, onde as temperaturas são superiores a 20 °C e as salinidades superiores a 35.5 (BOURLÈS; GOURIOU; CHUCHLA, 1999; TRAVASSOS et al., 1999). Elas apresentam baixa concentração de nutrientes e fluorimétrica não excedendo 50 mg² (MEDEIROS; MACEDO et al., 1999; CASTRO-FILHO et al., 2006). O atol é influenciado pela corrente equatorial sul (CSE), que apresenta velocidade média de 30 cm s⁻¹ e direção oeste constante (GOES, 2006). Já no período de inverno do hemisfério sul, em meados de junho a setembro, são comuns entre 11 e 15 cm s⁻¹ (KIKUCHI, 2002).

Um clima quente equatorial prevalece na área de estudo, com um vento frio do Sudoeste. A temperatura média do ar durante o ano varia entre 28 e 32 °C (PINTO; MAFALDA; SANTOS, 1997) e a temperatura da água superficial é de aproximadamente 27.7 °C. A estação chuvosa é entre março e julho, com picos em abril e maio (250 mm), sendo outubro o mês mais seco (6 mm). A umidade relativa do ar é alta ao longo do ano, quase sempre acima de 80%.

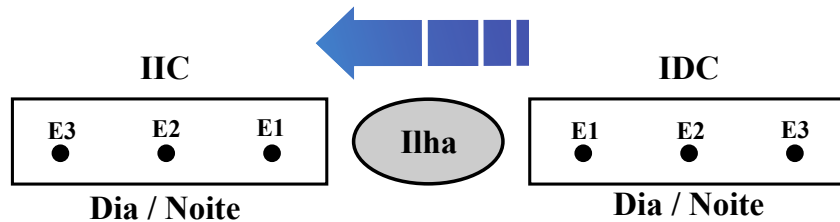
O atol faz parte da cadeia de Fernando de Noronha e junto com o arquipélago de mesmo nome compõe as partes expostas das montanhas subaquáticas que se estendem a 4000 m do fundo do mar (GORINI; BRYAN, 1974; VILLAÇA; JENSEN, 2006; SOARES; LEMOS; KIKUCHI, 2009). O afloramento observado atualmente não é mais composto por rochas vulcânicas, mas por uma camada de calcário biogênico esticada na direção leste-oeste, cuja espessura excede 11.7 m (KIKUCHI, 2002).

A área de estudo fica dentro da Reserva Biológica Atol das Rocas e Fernando de Noronha, a primeira área marinha protegida criada pela Lei Federal em 1979 (BRASIL, 2007) e atualmente é administrada pelo Instituto Brasileiro de Meio Ambiente e Recursos Naturais (IBAMA). É uma região de extrema importância geológica, paleontológica e ecológica, que abriga um grande número de aves oceânicas migratórias e residentes. Sua estrutura garante uma lixiviação de nutrientes disponíveis para as formas planctônicas que habitam a área (DOTY; OGURI, 1956).

3.2 MÉTODOS DE COLETA E ANÁLISE

As campanhas foram realizadas a bordo do NHO Cruzeiro do Sul (navio - hidrooceano-gráfico da Marinha do Brasil) nos anos de 2010, 2012 e 2014. Foram realizados 2 transectos com 6 estações cada, nos períodos do dia e da noite, sendo uma do lado de influência direta da corrente (IDC) e outra no lado de influência indireta da corrente (IIC) superficial predominante, determinado através dos perfis da direção e velocidade das correntes de 0 a 200 m (Perfilador ADCP de Casco) (Figura 1).

Figura 1 – Modelo esquemático do desenho amostral aplicado no Atol das Rocas



Fonte: A Autora.

Legenda: Legenda: E – Estações de coleta; IDC – Influência direta da corrente dominante; IID- influência indireta da corrente dominante; A seta azul indica a direção da corrente.

A profundidade máxima de coleta foi o limite de alcance do CTD e do cabo do guincho.

Em estações rasas a profundidade máxima de coleta foi de até 80% da profundidade local. Com o perfilador CTD com sensores, foram determinados a caracterização da termohalina e profundidade da termoclina obtidos dados de temperatura, salinidade, oxigênio dissolvido e fluorescência. Para a análise realizadas nesta tese foram consideradas as médias das medições realizadas na camada mais superficial acima da termoclina local.

Também foram coletadas amostras de água para análise dos nutrientes inorgânicos dissolvidos (N, P e Si), utilizando-se garrafa de Niskin e Rosette. Para análise dos nutrientes inorgânicos dissolvidos, as amostras de água coletadas foram acondicionadas em garrafas plásticos com capacidade de 300 mL, congeladas imediatamente e transportadas posteriormente ao Laboratório de Oceanografia Química do Departamento de Oceanografia da UFPE. Em laboratório, as análises foram realizadas como descrito por Strickland e Parsons (1972a) e Grasshoff e Ehrhardt (1983).

Para medição de Clorofila-a as amostras foram filtradas em membranas de celulose 0.45 µm de porosidade e 47 mm de diâmetro, imediatamente após a coleta. Após a filtragem, os filtros foram imediatamente envoltos em papel alumínio e armazenados dentro de envelopes identificados. Em seguida, os filtros foram congelados e mantidos nestas condições até serem transportados ao Laboratório. A concentração de clorofila-a foi determinada após extração dos pigmentos em solução de acetona a 90%, por 24 horas a 4 °C e a medição foi realizada a partir de um espectrofotômetro GEHAKA G3410, segundo o método descrito por Richards e T. G. Thompson (1952) e modificado por Creitz e Richards (1955). Os teores de clorofila-a, expressos em mg m^{-3} , foram calculados segundo Strickland e Parsons (1972a).

A coleta do microplâncton foi realizada por arrasto oblíquo (efetuados em “V”) em rede cilíndrico-cônica (Bongo) com aberturas de malha e diâmetros de boca 64 µm / 30 cm. Os arrastos se estenderam até 200 m ou 80% da profundidade local. Após os arrastos, as amostras foram transferidas para recipientes plásticos e imediatamente fixadas em solução de formaldeído (4%), tamponado com tetraborato de sódio.

Em laboratório, as amostras foram pesadas para determinação da biomassa através do peso úmido, onde as amostras são pesadas em balança de precisão, de acordo com a técnica proposta por Beers (1981) e Omori e Ikeda (1984). Para a análise qualitativa e quantitativa dos organismos microplanctônicos, cada amostra foi diluída de acordo com o seu volume. Em

seguida, foram retiradas três subamostra de 1 mL com auxílio de uma pipeta e vertida em lâmina "Sedgwick-Rafter". A contagem do número total de taxa foi feita em microscópio na menor unidade taxonômica possível.

4 ARTIGO 1

ROCAS ATOLL: AN OASIS SUPPORTING MICROZOOPLANKTON IN AN OCEANIC DESERT

Highlights

- First contribution to the microzooplankton of the unique atoll of the South Atlantic Ocean
- High diversity is attributed mainly Radiozoa
- Copepoda high abundance contribute in a remarkable way as an important link in food web
- Best indicators for Rocas atoll were species characteristic of the oligothrophic tropical waters under sporadic upwelling condition
- The abrupt reduction in abundance from 2010 to 2012-2014 was mainly caused by climatic effects (El Niño – la Niña)

Southwestern Atlantic Rocas Atoll: An oasis supporting microzooplankton in oceanic desert

ARTICLE INFO

Keywords:

Protozooplankton

Copepoda

Density

Diversity

Bioindicator

Rocas Atoll

2010 MSC: 86-00

Abstract

The knowledge about the relevance of microzooplankton in marine atolls are rare. We contribute to the knowledge of the spatial and temporal biodiversity and abundance dynamics of microzooplankton from Rocas Atoll, located in the tropical oligotrophic South Western Atlantic. Three campaigns were carried out in 2010, 2012 and 2014, at diurnal and nocturnal shifts, for a total of 32, aboard the N.Oc. Cruzeiro do Sul. Sampling was performed by oblique hauls with a plankton net (Bongo) with 64 µm mesh opening. Total sestonic biomass varied from 141.4 mg m⁻³ (2014) to 752.43 mg m⁻³ (2010). The microzooplankton was represented by 197 taxa, and the main groups in terms of species richness were Radiolaria (79 species), followed by Arthropoda (54 taxa) of which the Copepoda Subclass was the richest (49 taxa), Tintinnina (42 species) and Foraminifera (12 species). Eighteen taxa were the most frequent in 2010, 20 in 2012 and 30 in 2014, and Copepoda was the most representative. Highest density was registered in 2010 (63 683.3 ind m⁻³), followed by 2014 (17 151.1 ind m⁻³) and 2012 (11 540.3 ind m⁻³). A high Shannon diversity index (H) was found, ranging from 3.57 to 3.81 bits ind⁻¹. The years 2010 and 2012 presented higher values during the day and 2014 during the night. Similarities occurred between 2010 and 2012 stations when a more abundant community was registered. The best indicator for Rocas atoll were the Tintinnina *Codonellopsis orthoceros*, *Acanthodesmia viniculata*, the Foraminifera *Orbulina universa* and the Copepoda *Acrocalanus gracilis* which are characteristic of oligotrophic tropical waters under sporadic upwelling condition.

1. Introduction

Microzooplankton constitute an important part of the plankton community in several marine realms (Burkill et al., 1993). They represent a highly diversified animal group with body size varying from 20 to 200 µm, which comprise numerous protozoans, such as mixotrophic and heterotrophic, as well as small metazoans, such as copepod nauplii and juveniles in addition to some meroplanktonic larvae (Thurman and Trujillo, 2003). Usually, when describing the marine systems dynamics, especially those of productive waters, the microzooplankton is referred as a secondary contributor. Additionally, its whole significance is not yet replicated in several food web models, both conceptual and predictive (e.g. Bourlès et al., 1999). Despite that, growing evidence indicates that the microzooplankton contributes substantially in aquatic geochemical cycles of bioactive elements, along with bacteria and the phytoplankton (Sherr et al., 1986; Calbet and Landry, 2004).

The microzooplankton occupies an important position in aquatic food webs, and due to its size class, it can eat small food particles, which are inaccessible to most meso and macrozooplanktonic organisms. Therefore, it functions as a trophic link between the pico-and nanoplankton and the meso and macroplankton size classes (Stoecker and Sanders, 1985; Calbet and Landry, 2004; Elangovan et al., 2012). Indeed, few of the organic matter produced by autotrophs is directly grazed by large metazoans (e.g. copepods). Instead, the greatest part of the primary production moves around different trophic levels, including the microzooplankton and the microbial loop (Lavrentyev et al., 2015). The high diversity and ability to colonize different habitats make them essential in ecological research (Ormond et al., 1998).

Recently, the microzooplankton interest in the marine realm increased due to their higher physiological rates when compared with larger zooplankton. Consequently, we should invest in understanding the microzooplankton complex role to unlock the food webs processes, allowing the production of further accurate plankton models (Bruggeman and Kooijman, 2007). Part of the heterotrophic protists of the microplankton, for example, is responsible for up to 70%

ORCID(s):

consumption of the primary production daily in the ocean (Calbet and Landry, 2004), acting directly in the control of microalgae blooms (Irigoien et al., 2005; Souza et al., 2015). They are also responsible for more than 70% of the remineralization of deep zones (up to 1000 m), stimulating microbial circuit, mediating particle transport in the ocean, acting on oceanic carbon control (Richardson, 2008; Hernández-León et al., 2019) and atmospheric greenhouse gases (Reiss et al., 2010).

The structure and taxonomic composition of the zooplanktonic community are governed by physical, chemical and biological parameters (McKinnon et al., 2007). Among these, the ones expected to be more influential are temperature (Richardson, 2008), salinity (Franzè and Lavrentyev, 2014), luminosity (Fernández, 1977; Ringelberg, 1995) and the combination of recirculating currents and upwelling (Medvinsky et al., 2001; Hillary and Bees, 2004).

The temperature can be one of the most important parameters influencing these organisms (Hinder et al., 2011). Physiological processes, such as eating, breathing and reproductive development, are highly sensitive to temperature changes (Edwards and Richardson, 2004,?). The marine systems are strongly susceptible to warming of surface waters (Richardson, 2008) and deep changes have been documented in the biology of the oceans (Edwards et al., 2002; Walther et al., 2002; Parmesan and Yohe, 2003), affecting mainly the taxonomic composition (Bernard et al., 2011).

The temperature is important in the formation of vertical stratification in the water column, called thermocline. In the western tropical Atlantic, for example, the thermocline is permanent causing oligotrophy in the environment. In areas with a thermocline (Munk et al., 1995; McClatchie, 1986; Clay et al., 2004), the presence of physical structures (seamounts, oceanic islands and continental slope) are of fundamental importance. These structures provide the formation of recirculation currents and upwelling, providing nutrients to the photic zone (Fonteneau, 1991; Neumann-Leitão et al., 1999; Morato et al., 2010; Lessa et al., 1999). As a result, raise in productivity of various trophic levels occurs (Doty and Oguri, 1956; Munk et al., 1995; González-Quirós et al., 2003), ensuring the maintenance (Rogers, 1994; Genin, 2004; Boehlert and Genin, 1987) and increase in the density of the planktonic communities (Melo et al., 2012; Boltovskoy, 1981, 1999). It can be one of the most important physico-chemical parameters influencing these organisms (Hinder et al., 2011). Physiological processes, such as eating, breathing and reproductive development, are highly sensitive to temperature changes (Edwards and Richardson, 2004). The marine systems are strongly susceptible to warming of surface waters (Richardson, 2008) and deep changes have been documented in the biology of the oceans (Edwards et al., 2002; Walther et al., 2002; Parmesan and Yohe, 2003), affecting mainly the taxonomic composition (Bernard et al., 2011).

Despite the increasing importance about microzooplankton, its structure and functions remain poorly investigated in tropical waters, particularly in the western tropical Atlantic. Within this context, the Rocas Atoll, the unique atoll in the western tropical Atlantic, is a potential area for the development of many studies on microzooplankton (Quevedo, 2003).

The knowledge about the microzooplankton in marine atolls is scarce. Most of the studies performed at the Rocas Atoll are limited to some specific groups like Tintinnina (Nogueira et al., 2008; Nogueira and Sassi, 2011), Foraminifera (Tinoco, 1965) or are related to the macrozooplankton (Pinto et al., 1997). Thus, the present study was carried out to access the spatial and temporal biodiversity and abundance dynamics of the microzooplankton from the Rocas Atoll, a unique ecosystem in the western tropical Atlantic.

2. Material and Methods

2.1. Study area

The Rocas Atoll is unique in the western tropical Atlantic and is located 148 km west of the Fernando de Noronha Archipelago (3°52''S; 33°49''W) (Figure 1). It is characterized as an elliptic, almost circular calcareous algal reef cov-

ering approximately 5.5 km², with an opening connecting its central lagoon to the open sea; the longest axis (E-W) measures 3.7 km and the shortest axis (N-S) 2.5 km (Rodrigues, 1940; Kikuchi, 1994; Pereira et al., 2010). An equatorial warm climate prevails in the study area, with a cool trade wind from the southwest. The average air temperature varies between 28 °C and 32 °C throughout the year (Pinto et al., 1997) and the surface water temperature is approximately 27.7 °C. The rainy season is between March and July, with peaks in April (250 mm) and May; October is the driest month (7 mm). The relative humidity is high throughout the year (usually above 80 %). The study area is within the Rocas Atoll Biological Reserve, the first marine protected area created by Federal Law (Lei 83.549/79) (BRASIL, 2007), presently managed by the Brazilian Institute for the Environment and Natural Resources (IBAMA).

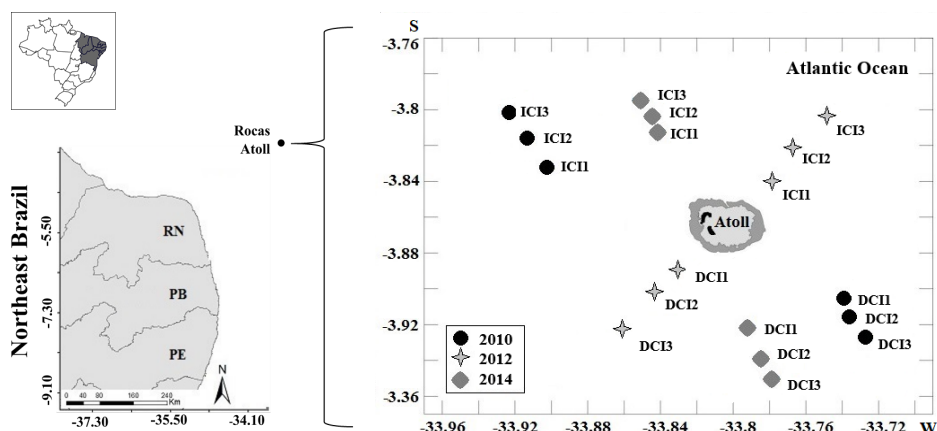


Figure 1: Study area with the three transects 2010 (current Southeast Northwest), 2012 (current Southwest Northeast) and 2014 (current South North) at Rocas atoll, western tropical Atlantic. DCI – Direct Current Influence; ICI – Indirect Current Influence

The atoll is part of the Fernando de Noronha chain and, next to the Archipelago of the same name, are the exposed parts of the underwater mountains that stretch 4000 m from the seafloor (Gorini and Bryan, 1974; Villaça and Jensen, 2006; Soares et al., 2009). The outcropping currently observed is composed of a biogenic limestone layer stretched in East-West direction, whose thickness exceeds 11.7 m (Kikuchi, 2002; Almeida, 2015). The reef ring is continuously semi-sawed with 0.2 to 1 km extension, with the lagoon maximum depth of 6 m inside (Kikuchi, 1994). The tidal cycle bathing the area is semi-diurnal and its maximum can reach 2.7 m (Kikuchi, 2002).

The Rocas Atoll is surrounded by oligotrophic warm waters characterized by temperatures higher than 20 °C and salinity greater than 35.5 (Bourlès et al., 1999; Travassos et al., 1999), low nutrients concentration and fluorescence not exceeding 50 mg⁻² (Medeiros et al., 1999; Castro-Filho et al., 2006). The South Equatorial Current (CSE), which presents an average speed of 30 cm s⁻¹, influences the atoll and has a constant westward direction (Goes, 2006). In mid-June to September during the southern hemispheres winter season, southeast winds are more frequent and ranges in speed from 11 to 15 m s⁻¹ (Kikuchi, 2002).

The Rocas Atoll is a major place of geological, paleontological and ecological importance, harboring many migratory seabirds and residents, with structures that ensures a leaching of nutrients available to the planktonic organisms of the area (Kikuchi, 2002).

2.2. Sampling and processing

Three oceanographic campaigns were carried out in the Rocas Atoll (July and August of 2010, September and October of 2012 and July and September 2014); aboard of the NHO Cruzeiro do Sul from the Brazilian Navy. The sampling design consisted of one transect at opposite sides of the atoll (at each year of sampling); the transect began

90 at the side under the direct surface Current influence (DCI) and continued at the side under indirect current influence
91 (ICI) (Figure 1). A Helmet ADCP Profiler determined the direction of the surface current.

92 Dissolved Oxygen (mL L^{-1}), salinity (PSU), fluorescence and temperature ($^{\circ}\text{C}$) were acquired using a CTD profiler.
93 In the present research, we used the data that corresponded to the surface layer, above the thermocline.

94 **2.3. Microzooplankton**

95 The collection was performed by oblique hauls (made in "V") with a cylindrical-conical bongo plankton net with
96 mesh openings and mouth diameters of $64 \mu\text{m}$ and 30 cm, respectively. The hauls extended to a depth of 80% of the
97 local depth, or, at most, up to 200 m. After the hauls, a total of 32 samples were transferred to plastic bottles and
98 immediately fixed in formaldehyde solution (4%), buffered with sodium tetraborate.

99 In laboratory, the samples were weighed for determination of biomass through the wet weight method according
100 to Beers (1981) and Omori and Ikeda (1984). For the qualitative and quantitative analysis of the organisms, each
101 sample was diluted according to the density of organisms. Then, a 1 mL aliquote was dropped into a "Sedgwick-Rafter"
102 chamber and analyzed under a compound microscope and at least 300 individuals counted. Three aliquots of each
103 sample were analyzed. The taxa identification was based on the smallest possible taxonomic unit.

104 **2.4. Data analysis**

105 The density (ind m^{-3}) was calculated for all species. The Relative abundance (RA) and frequency of occurrence
106 (FO) of each species was also calculated, and the values were classified as: D - dominant ($\geq 70\%$ RA); A - abundant
107 (70-40% RA); LA - less abundant (40-10% RA); R - rare ($\leq 10\%$ RA); very frequent ($> 70\%$ FO), frequent (70-30% FO),
108 infrequent (30-10% FO), and sporadic ($\leq 10\%$ FO).

109 The structure of the community was described using the ecological indices Margalef's richness index (d), Pielou's
110 evenness index (J'), and the Shannon diversity index (H') (ind bits^{-1}) using log-transformed data (Shannon, 1948),
111 with values being classified as very high (≥ 4), high (3 - 4), medium (2 - 3), low (1 - 2) and very low (<1).

112 The data were initially submitted to the Kolmogorov-Smirnov and Levene tests to test for normality and ho-
113 moscedasticity, respectively (Zar, 2018) and when necessary transformed to $\log(X + 1)$. To compare the variables
114 (different groups, total microzooplankton, zooplankton biomass (wet weight), ecological indices and environmental pa-
115 rameters) and the factors (years, current, day-night and distance from the Atoll), a one-way ANOVA test and Newman-
116 Keuls post hoc test (SNK) were performed when normal and homoscedastic; and, Kruskal-Wallis test (KW) in the
117 other cases.

118 The multivariate SIMPER analysis (percentage similarity) was used to determine the mean dissimilarity of the
119 microzooplankton for factors (years, current and day-night) and the isolated contribution of each taxon to this mean
120 dissimilarity and similarity.

121 We also used a cluster analysis to verify the similarity between factors. A Bray-Curtis similarity matrix was ob-
122 tained, where the raw data for species density was log-transformed. Based on this index, a cluster analysis was carried
123 out using the Ward Method. Multivariate analysis was used to evaluate potential patterns in the structure of community
124 in each part of the transects. Groups formed were tested with the SIMPROF test at the 5% significance level.

125 An indicator value analysis (IndVal), which computes a single value for each species, was performed based on
126 fidelity and specificity of the species in relation to groups of sites, and statistically tests significance of relations
127 by permutation (Dufrêne and Legendre, 1997). The IndVal of a species has been used to express species importance as
128 indicators in community categorizations. To calculate IndVal it was used the PC-ORD Version 6.08 (MJM software).

129 In order to verify the relationship between the environmental variables (Temperature, Fluorescence, Dissolved Oxy-
130 gen and Salinity), spatio-temporal factors (Years, Local depth, Current, Day-Night and Distance from the archipelago)

and the pattern presented by the microzooplankton community, a canonical correlation analysis (CCA) was performed. The community was evaluated only for the groups with at least 80% of frequency of occurrence (FO). We calculated the variance inflation factor (VIF) to identify and eliminate redundant explanatory variables. A threshold VIF value of 10 was adopted. A parsimonious CCA was performed after the exclusion of redundant variables. All the calculations used the R language (R Core Team 2017) and the RStudio environment version 1.1.42 (RStudio Team 2016).

3. Results

3.1. Environmental Parameters

The minimum, maximum and mean data for temperature, salinity, dissolved oxygen and fluorescence are presented in Table 1. The year 2010 presented the highest maximums among all the observed parameters, as well as the higher averages between the years for temperature (27.86 ± 0.44 °C), fluorescence (0.60 ± 0.34) and dissolved oxygen (4.83 ± 0.47 mL L⁻¹), however with high standard deviations. Only salinity presented lower mean for this year, with 2012 being the year with the highest mean salinity (36.20 ± 0.01). The Kruskal-Wallis nonparametric statistical test showed significant differences ($p \geq 0.05$) only in relation to the years for all observed parameters.

Table 1

Environmental parameters of the oceanic surface layer around the Atoll das Rocas.

Environmental parameters	2010				2012				2014			
	Máx.	Mín.	Mean	SD	Máx.	Mín.	Mean	SD	Máx.	Mín.	Mean	SD
Temperature (°C)	28.17	25.51	27.86	0.44	26.50	25.51	26.27	0.11	26.67	25.51	26.51	0.18
Fluorescence	2.19	0.08	0.60	0.34	0.88	0.01	0.24	0.15	0.72	0.03	0.19	0.10
Oxygen (mL L⁻¹)	9.79	0.18	4.83	0.47	4.15	3.78	4.10	0.03	4.40	3.59	3.86	0.06
Salinity (PSU)	36.97	34.02	36.04	0.36	36.29	36.11	36.20	0.01	36.49	36.07	36.12	0.05

3.2. Microzooplankton Composition

The microzooplankton community was represented by 197 taxa, and the richest were Radiolaria (79 species), followed by Copepoda (49 species), Tintinnina (42 species) and Foraminifera (12 species). The frequency of occurrence for each year showed 18 taxa very frequent in the year 2010, 20 in 2012 and 30 in 2014 of these, most representatives were Copepoda (Table 2).

Table 2: Average density (AD) of the identified taxa in Rocas Atoll per year. Frequency of occurrence (FO) (VF - very frequent (>70%); F - frequent (70-30%); IF- infrequent (30-10%); and S - sporadic (< 10%)). Relative abundance (RA) (D - dominant (> 70%); A - abundant (70-40%); LA- low abundant (40-10%); R - rare (< 10%)). NO - no occurrence.

TAXON	2010			2012			2014		
	AD	FO	RA	AD	FO	RA	AD	FO	RA
CILIOPHORA									
TINTINNINA									
<i>Amphorellopsis</i> sp.	0.67	IF	R	0.79	IF	R	16.53	IF	R
<i>Amphorides quadrilineata</i>	9.3	IF	R	2.24	IF	R	0.3	IF	R
<i>Amphorides</i> sp.	7.33	IF	R	0.69	IF	R	9.46	F	R
<i>Codonaria cistellula</i>	0.17	IF	R	1.63	S	R	1.1	F	R
<i>Codonella acuta</i>	0.71	IF	R	6.37	IF	R	0.86	F	R

Table 2 - Continued from previous page

TAXON	2010			2012			2014		
	AD	FO	RA	AD	FO	RA	AD	FO	RA
<i>Codonella amphorella</i>	4.19	IF	R	6.3	IF	R	10.17	F	R
<i>Codonella apicata</i>	133.58	F	R	10.42	F	R	26.86	VF	R
<i>Codonella galea</i>	29.79	F	R	9.57	F	R	43.64	VF	R
<i>Codonella</i> sp.	46.14	VF	R	26.1	VF	R	19.92	VF	R
<i>Codonellopsis orthoceras</i>	0	NO	NO	0.03	S	R	7.26	F	R
<i>Codonellopsis</i> sp.	0.13	IF	R	0.28	S	R	0.11	S	R
<i>Coxliella</i> sp.	0.03	IF	R	0.47	IF	R	4.54	F	R
<i>Cyttarocylis cassis-plagiostoma</i>	0	NO	NO	0	NO	NO	0.49	IF	R
<i>Cyttarocylis</i> sp.	0.03	IF	R	0.44	IF	R	0.39	IF	R
<i>Dadayiella ganymedes</i>	7.42	IF	R	1.53	IF	R	3.37	IF	R
<i>Dadayiella</i> sp.	2.62	IF	R	1.12	IF	R	3.35	IF	R
<i>Dictyocysta lēpida</i>	41.86	F	R	8.19	F	R	23.53	IF	R
<i>Epiplacylis blanda</i>	0.06	IF	R	0.85	IF	R	1	IF	R
<i>Epiplacylis reticulata</i>	2.99	IF	R	1.42	IF	R	6.38	S	R
<i>Epiplacylis undella</i>	233.46	VF	R	60.47	VF	R	171.86	VF	LA
<i>Epiplacylis</i> sp.	19.26	F	R	5.64	F	R	6.7	IF	R
<i>Eutintinnus tubulosus</i>	0.34	IF	R	0.44	IF	R	8.06	S	R
<i>Eutintinnus fraknoi</i>	42.14	IF	R	3.03	IF	R	0.74	F	R
<i>Eutintinnus lusus-undae</i>	0	NO	NO	0.15	NO	NO	0.66	IF	R
<i>Eutintinnus</i> sp.	0.12	IF	R	0.89	F	R	1.06	S	R
<i>Favella</i> sp.	0.12	IF	R	2.15	F	R	0.49	IF	R
<i>Protorhabdonella simplex</i>	0	S	R	0	S	R	0.39	IF	R
<i>Rabdonella amor</i>	2.76	F	R	9.19	VF	R	43.11	F	R
<i>Rabdonella elegans</i>	140.5	F	R	20.51	F	R	24.23	VF	R
<i>Rabdonella brandti</i>	27.21	F	R	5.82	F	R	3.57	F	R
<i>Rabdonella hensenii</i>	4.17	F	R	25.96	F	R	32.88	IF	R
<i>Rabdonella</i> sp.	27.21	F	R	5.82	F	R	3.7	F	R
<i>Rabdonellopsis apophysata</i>	84.92	F	R	14.22	F	R	47.75	VF	R
<i>Rabdonellopsis</i> sp.	0	NO	NO	0	NO	NO	0.72	IF	R
<i>Salpingella acuminata</i>	0	NO	NO	0	NO	NO	0.18	IF	R
<i>Salpingella gracilis</i>	0	NO	NO	0	NO	NO	0.32	IF	R
<i>Salpingella subconica</i>	0	NO	NO	0	NO	NO	0.17	S	R
<i>Undella clparedei</i>	12.08	F	R	1.33	F	R	6.29	VF	R
<i>Undella hyalina</i>	0.03	IF	R	0.17	IF	R	0	NO	NO
<i>Xystonella treforti</i>	0.06	IF	R	0.81	S	R	0	NO	NO
<i>Xystonellopsis heros</i>	0.37	IF	R	0.4	S	R	3.19	S	R
<i>Xystonellopsis paradoxa</i>	0.03	IF	R	0.47	IF	R	0.57	IF	R
Tintinnina (others)	16.93	F	R	3.89	F	R	3.28	F	R
RADIOZOA									
POLYCYSTINA									
<i>Acanthodesmia viniculata</i>	0	NO	NO	0	NO	NO	3.93	F	R
<i>Acanthosphaera actinota</i>	0	NO	NO	0	NO	NO	0.56	IF	R
<i>Acanthosphaera dodecastyla</i>	0	NO	NO	0	NO	NO	0.33	IF	R

Table 2 - Continued from previous page

TAXON	2010			2012			2014		
	AD	FO	RA	AD	FO	RA	AD	FO	RA
<i>Acanthosphaera pinchuda</i>	0	NO	NO	0	NO	NO	1.88	IF	R
<i>Acanthosphaera</i> sp.	0	NO	NO	0	NO	NO	0.98	IF	R
<i>Actinomma</i> sp.	0	NO	NO	0	NO	NO	0.27	IF	R
<i>Amphiplecta</i> sp.	0	NO	NO	0	NO	NO	0.52	IF	R
<i>Amphispyris</i> sp.	0	NO	NO	0	NO	NO	3.51	F	R
<i>Botryopyle dictycephalus</i>	0	NO	NO	0	NO	NO	0.26	IF	R
<i>Carpocanistrum</i> sp.	0.25	IF	R	4.34	F	R	0.61	IF	R
<i>Centrocubus</i> sp.	0	NO	NO	0	NO	NO	0.14	S	R
<i>Ceratospyris</i> sp.	0	NO	NO	0	NO	NO	0.3	IF	R
<i>Challengerium</i> sp.	0	NO	NO	0	NO	NO	0.14	S	R
<i>Challengeria xiphodon</i>	0	NO	NO	0	NO	NO	0.83	S	R
<i>Clathrocircus stapedius</i>	0	NO	NO	0	NO	NO	0.41	S	R
<i>Clathrocorys</i> sp.	0	NO	NO	0	NO	NO	0.98	IF	R
<i>Collosphaeridae</i>	0	NO	NO	0	NO	NO	0.14	S	R
<i>Collosphaera tuberosa</i>	0	NO	NO	0	NO	NO	0.21	S	R
<i>Collosphaera macropora</i>	2.25	IF	R	1.93	IF	R	0.42	IF	R
<i>Collosphaera</i> sp.	0	NO	NO	0	NO	NO	0.05	S	R
<i>Conchophacus diatomeum</i>	0	NO	NO	0	NO	NO	1.6	IF	R
<i>Corocalyptra cervus</i>	0.03	IF	R	0	S	R	1.21	IF	R
<i>Corocalyptra columba</i>	0	NO	NO	0.03	S	R	0.14	S	R
<i>Corocalyptra</i> sp.	0.12	IF	R	2.12	IF	R	0	NO	NO
<i>Cycladophora</i> sp.	7.05	IF	R	0.45	IF	R	0.73	S	R
<i>Dictyocoryne profunda</i>	0.74	IF	R	0.8	S	R	6.38	S	R
<i>Dictyocoryne truncatum</i>	0	NO	NO	0	NO	NO	1.5	IF	R
<i>Dictyocoryne</i> sp.	35.61	NO	NO	7.9	NO	NO	19.28	VF	R
<i>Dictyophimus infabricatus</i>	0	NO	NO	0	NO	NO	0.28	S	R
<i>Dictyophimus</i> sp.	0	S	R	0	S	R	3.64	F	R
<i>Discopyle</i> sp.	10.13	F	R	7.46	IF	R	1.16	F	R
<i>Euchitonnia elegans-furcata</i>	0	NO	NO	0	NO	NO	0.12	S	R
<i>Eucyrtidium acuminatum</i>	0	NO	NO	0	NO	NO	0.97	IF	R
<i>Eucyrtidium hexastichum</i>	0	NO	NO	0	NO	NO	0.28	S	R
<i>Eucyrtidium</i> sp.	0.12	IF	R	2.12	IF	R	0	NO	NO
<i>Hexacontium aristarchi</i>	0	NO	NO	0.03	S	R	0.07	S	R
<i>Hexacontium armatum-hostile</i>	0	NO	NO	0	NO	NO	0.41	S	R
<i>Hexacontium</i> sp.	0	NO	NO	0	NO	NO	0.61	IF	R
<i>Hexastylus</i> sp.	0	NO	NO	0	NO	NO	0.06	S	R
<i>Lamprocyclas</i> sp.	0	NO	NO	0	NO	NO	0.83	IF	R
<i>Lampronitria</i> sp.	0	NO	NO	0	NO	NO	0.39	IF	R
<i>Larcopyle butschlii</i>	0.25	IF	R	4.25	IF	R	0	NO	NO
<i>Lipmanella bombus</i>	0	NO	NO	0	NO	NO	0.06	S	R
<i>Litharachnium tentorium</i>	0.25	IF	R	4.25	IF	R	0.38	IF	R
<i>Lithelius minor</i>	0	NO	NO	0	NO	NO	0.28	S	R
<i>Lithelius</i> spp.	0	NO	NO	0	NO	NO	0.17	S	R

Table 2 - Continued from previous page

TAXON	2010			2012			2014		
	AD	FO	RA	AD	FO	RA	AD	FO	RA
<i>Lophophaena hispida</i>	0	NO	NO	0	NO	NO	17.98	F	R
<i>Lophophaena buetschlii</i>	0	NO	NO	0	NO	NO	0.25	IF	R
<i>Octopyle stenozona</i>	0.03	IF	R	0.41	S	R	1.49	F	R
<i>Octopyle</i> sp.	0	NO	NO	0	NO	NO	0.55	S	R
<i>Peromelissa</i> sp.	0	NO	NO	0	NO	NO	0.81	IF	R
<i>Phorticium clevei</i>	0	NO	NO	0	NO	NO	0.33	S	R
<i>Phorticium</i> sp.	0.37	IF	R	0.4	S	R	3.19	S	R
<i>Plegmosphaera</i> sp.	0.25	IF	R	4.31	F	R	2.71	IF	R
<i>Pseudocubus obeliscus</i>	0.06	IF	R	1.16	IF	R	0.17	S	R
<i>Pterocanium trilobum</i>	0	NO	NO	0.14	S	R	0.53	IF	R
<i>Pterocorys minytorax</i>	0	NO	NO	0	NO	NO	0.14	S	R
<i>Pterocorys zanclerus</i>	0.03	IF	R	0	NO	NO	0.1	S	R
<i>Pteroscenium pinnatum</i>	0	NO	NO	0	NO	NO	0.1	S	R
<i>Pylonidae</i>	0.12	IF	R	2.15	F	R	0.27	IF	R
<i>Pylolena</i> sp.	0	NO	NO	0	NO	NO	0.52	IF	R
<i>Sethophormis rotula</i>	0	NO	NO	0	NO	NO	0.28	S	R
<i>Siphonosphaera polysiphonia</i>	0	NO	NO	0	NO	NO	0.05	S	R
<i>Siphonosphaera</i> sp.	0	NO	NO	0.17	S	R	0.17	S	R
<i>Solenosphaera zanguebarica</i>	0	NO	NO	0	NO	NO	0.25	IF	R
<i>Solenosphaera</i> sp.	0	NO	NO	0	NO	NO	0.24	IF	R
<i>Spirocyritis scalaris</i>	0	NO	NO	0	NO	NO	0.2	IF	R
<i>Spongotrochus</i> sp.	0.49	IF	R	3.35	F	R	0	NO	NO
<i>Spongodiscus resurgens</i>	14.5	F	R	0	NO	NO	1.66	F	R
<i>Spongospaera streptacantha</i>	2.25	IF	R	1.87	S	R	4.22	IF	R
<i>Spongaster tetras</i>	8.37	F	R	2.85	VF	R	4.72	F	R
<i>Spongotrochus</i> sp.	0.37	IF	R	0.4	S	R	6.7	F	R
<i>Spongurus pylomaticus</i>	0	NO	NO	0	NO	NO	0.69	S	R
<i>Stichopilidium kruegeri</i>	0	NO	NO	0	NO	NO	0.14	S	R
<i>Tetrapyle octacantha</i>	0	NO	NO	0	NO	NO	0.3	IF	R
<i>Tholospyris</i> sp.	0	NO	NO	0	NO	NO	0.64	IF	R
<i>Zygocircus productus</i>	8.39	F	R	0	NO	NO	2.43	F	R
<i>Zygocircus</i> sp.	0.4	IF	R	0.97	IF	R	4.08	F	R
Polycystina (others)	47.15	VF	R	16.38	VF	R	45.94	VF	R
ACANTHARIA	4.73	IF	R	0.37	S	R	3.65	VF	R
FORAMINIFERA									
<i>Bolivina</i> sp.	0.37	IF	R	0.99	IF	R	1.03	IF	R
<i>Globigerina bulloides</i>	55.62	F	R	10.61	F	R	19.7	VF	R
<i>Globogirinoides ruber</i>	39.27	F	R	5.38	F	R	0.72	IF	R
<i>Globorotalia menardii</i>	239.76	F	R	9.85	VF	R	25.87	VF	R
<i>Globoturborotalita</i>	0.91	IF	R	1.85	F	R	0	NO	NO
<i>Neogloboquadrina</i> sp.	119.56	F	R	8.54	F	R	14.23	F	R
<i>Orbulina universa</i>	35.89	F	R	6.74	VF	R	3.41	VF	R
<i>Quinqueloculina</i> sp.	0	NO	NO	0	NO	NO	0.16	S	R

Table 2 - Continued from previous page

TAXON	2010			2012			2014		
	AD	FO	RA	AD	FO	RA	AD	FO	RA
<i>Textularia</i> sp.	7	IF	R	0.82	F	R	0.32	S	R
<i>Tretomphalus bulloides</i>	241.31	F	R	14.59	F	R	4.94	IF	R
<i>Triloculina</i> sp.	0	NO	NO	0	NO	NO	0.6	IF	R
<i>Trochammina</i> sp.	5.78	IF	R	1.66	IF	R	2.17	IF	R
Foraminifera (others)	451.24	VF	R	48.31	VF	R	60.43	VF	R
CNIDARIA									
SIPHONOPHORAE	0.48	IF	R	1.09	F	R	0.14	S	R
NEMATODA	0.34	IF	R	0.21	IF	R	0.05	S	R
MOLLUSCA									
Bivalvia (veliger)	90.02	F	R	4.3	F	R	3.27	VF	R
Gastropoda (veliger)	131.36	VF	R	9.72	VF	R	7.17	VF	R
ANNELIDA									
POLYCHAETA	12.77	VF	R	0.93	F	R	1.67	F	R
ARTHROPODA									
OSTRACODA	0.12	IF	R	0	NO	NO	1.66	F	R
COPEPODA									
<i>Acartia danae</i>	10.37	F	R	0.67	IF	R	1.44	VF	R
<i>Acrocalanus gracilis</i>	0.65	IF	R	0.21	IF	R	1.61	VF	R
<i>Acrocalanus</i> sp. (copepodite)	46.16	F	R	3.48	F	R	1.85	VF	R
<i>Calocalanos pavo</i>	54.67	F	R	1.91	F	R	0.89	F	R
<i>Calocalanus</i> sp. (copepodite)	8.2	F	R	0.99	IF	R	1.34	F	R
<i>Candacia</i> sp.	7.79	IF	R	0.83	F	R	0.9	S	R
<i>Candacia</i> sp. (copepodite)	3.07	F	R	0.03	S	R	0	NO	NO
<i>Clausocalanus furcatus</i>	96.71	VF	R	5.77	VF	R	9.37	VF	R
<i>Clausocalanus</i> sp. (copepodite)	63.77	VF	R	5.83	VF	R	7.72	VF	R
<i>Delibus nudus</i>	3.4	IF	R	2.86	F	R	1.82	F	R
<i>Delibus nudus</i> (copepodite)	8.25	F	R	1.56	F	R	2.69	VF	R
<i>Delibus sewelli</i>	1.53	IF	R	0.93	IF	R	0.91	F	R
<i>Delibus</i> sp. (copepodite)	44.15	F	R	2.88	F	R	3.04	F	R
<i>Eucalanus</i> sp. (copepodite)	7.43	VF	R	2.37	F	R	8.84	VF	R
<i>Euchaeta</i> sp. (copepodite)	0.66	IF	R	0.68	IF	R	2.39	VF	R
<i>Lucicutia flavigornis</i>	10.44	F	R	0.95	F	R	1.28	F	R
<i>Lucicutia</i> sp.	77.65	F	R	3.45	VF	R	2.3	VF	R
<i>Mecynocera</i> sp. (copepodite)	9.29	F	R	1.43	F	R	1.97	F	R
<i>Nannocalanus minor</i>	50.97	VF	R	1.71	VF	R	4.04	VF	R
<i>Nannocalanus</i> sp. (copepodite)	0.77	IF	R	1.3	F	R	0	NO	NO
<i>Pareucalanus sewelli</i>	16.49	F	R	0.96	IF	R	1.41	F	R
<i>Paracalanus</i> sp. (copepodite)	10.81	F	R	14.87	VF	R	2.53	F	R
<i>Scolecithrix danae</i>	3.1	F	R	0.54	IF	R	1.98	VF	R
<i>Scolecithrix</i> sp. (copepodite)	3.36	IF	R	1.25	F	R	0.86	IF	R
<i>Subeucalanus</i> sp. (copepodite)	48.34	VF	R	1.74	F	R	3.25	VF	R
<i>Undinula vulgaris</i> (copepodite)	10.99	F	R	0.97	F	R	1.13	F	R
Calanoida (others copepodite)	152.04	VF	R	22.59	VF	R	29.28	VF	R

Table 2 - Continued from previous page

TAXON	2010			2012			2014		
	AD	FO	RA	AD	FO	RA	AD	FO	RA
Calanoida (nauplius)	1223.07	VF	LA	155.61	VF	LA	167.27	VF	LA
<i>Oithona hebes</i>	0.46	IF	R	0.36	IF	R	1.08	IF	R
<i>Oithona plumifera</i>	82.23	VF	R	17.77	VF	R	24.06	VF	R
<i>Oithona setigera</i>	2.03	F	R	1.72	F	R	1.3	F	R
<i>Oithona</i> sp.	22.2	VF	R	2.32	VF	R	5.85	VF	R
<i>Oithona</i> spp. (copepodite)	149.1	VF	R	21.06	VF	R	25.96	VF	R
<i>Cyclopoida</i> (nauplius)	713.05	VF	LA	104.46	VF	LA	81.14	VF	R
<i>Farranula gracilis</i>	85.81	VF	R	4.77	VF	R	0.41	IF	R
<i>Farranula</i> spp. (copepodite)	91.03	VF	R	1.58	F	R	0.9	F	R
<i>Farranula</i> spp. (nauplius)	82.55	VF	R	6.15	VF	R	18.05	VF	R
<i>Corycaeus speciosus</i>	9.49	F	R	1.34	F	R	0.37	IF	R
<i>Corycaeus</i> spp. (copepodite)	44.16	F	R	1.13	F	R	1.05	F	R
<i>Oncaeа media</i>	161.3	VF	R	14.09	VF	R	14.69	VF	R
<i>Oncaeа mediterranea</i>	44.88	VF	R	1.59	F	R	0.23	IF	R
<i>Oncaeа scottodicarloi</i>	82.87	VF	R	6.61	VF	R	6.52	F	R
<i>Oncaeа</i> spp. (copepodite)	63.18	VF	R	4.33	VF	R	6.25	VF	R
<i>Oncaeа</i> spp. (nauplius)	10.68	F	R	0.23	IF	R	4.92	IF	R
<i>Triconia dentipes</i>	0.12	IF	R	0.23	IF	R	0	NO	NO
<i>Microsetella rosea</i>	140.84	VF	R	20.21	VF	R	12.12	VF	R
<i>Microsetella norvegica</i>	1.48	F	R	1.29	F	R	1.2	IF	R
<i>Microsetella</i> spp. (copepodite)	55.72	VF	R	3.05	VF	R	5.92	VF	R
<i>Microsetella</i> spp. (nauplius)	26	VF	R	2.24	VF	R	5.25	VF	R
Harpacticoida (nauplius)	34.3	F	R	4.97	F	R	2.23	IF	R
Copepoda (others nauplius)	130.99	VF	R	18.69	VF	R	6.21	F	R
CIRRIPEDIA	0	NO	NO	0.81	IF	R	0.06	S	R
FACETOTECTA									
<i>Hansenocaris</i> spp.	7.69	IF	R	0.41	IF	R	0.18	IF	R
STOMATOPODA (larvae)	0.34	IF	R	0.19	IF	R	0.21	IF	R
DECAPODA (larvae)	9.91	IF	R	0.76	F	R	0.76	IF	R
ECHINODERMATA (larvae)	0	NO	NO	1.17	F	R	1.59	F	R
CHAETOGNATHA									
Sagittidae	2.62	IF	R	1.03	IF	R	0.52	IF	R
Chaetognatha (others)	32.3	VF	R	3.86	VF	R	3.26	F	R
CHORDATA									
APPENDICULARIA									
<i>Fritillaria</i> spp.	99.4	F	R	4.72	F	R	46.74	F	R
<i>Oikopleura</i> spp.	295.47	VF	R	23.6	VF	R	15.33	F	R
Appendicularia (others)	134.52	VF	R	9.06	F	R	17.63	F	R
TELEOSTEI									
Teleostei (egg)	9.86	IF	R	1.27	IF	R	4.96	F	R
Teleostei (larvae)	0.37	IF	R	0.26	IF	R	0.53	IF	R
TOTAL BIOMASS (mg m⁻³)	752.43			144.6			141.4		
TOTAL DENSITY (ind m⁻³)	63683.3			11540.3			17151.1		

In general, Copepoda dominated in the three years (Figure 2). During the day of 2010 and 2012 higher abundance was in DCI3 and in 2014 in DCI2; during the night it dominated in 2014 in the ICI1, representing more than 70% of the organisms in samples, mostly as nauplii and copepodite of Calanoida and Ciclopoida. In most stations, Copepoda was abundant, except in stations ICI3 in 2012 and DCI1 in 2014 (day) and ICI1 in 2012 and DCI3 in 2014 (night) (Figure 2). Among the dominant identified species occurred *Clausocalanus furcatus*, *Nannoalanus minor*, *Oncae media* and *Microsetella rosea*. Tintinnina was more representative in 2012 and outranked in ICI1 (day and night), although in 2014 it was registered a pick in DCI1 (day) and DCI3 (night) (Figure 2). The species most abundant were *Epiplocylys undella*, *Rabdonella elegans* and *Codonella apicata*. Radiozoa was the most rich, however with very low density in all stations during 2010, with higher abundance in 2014, DCI3 (day), attaining 37% of all sample. Foraminifera presented low diversity in all stations outranking *Globorotalia menardi* and *Tretomphalus bulloides*. The other zooplanktonic groups together presented less than 10% in the samples (Figure 2), however some species were abundant as the Appendicularia *Oikopleura* spp..

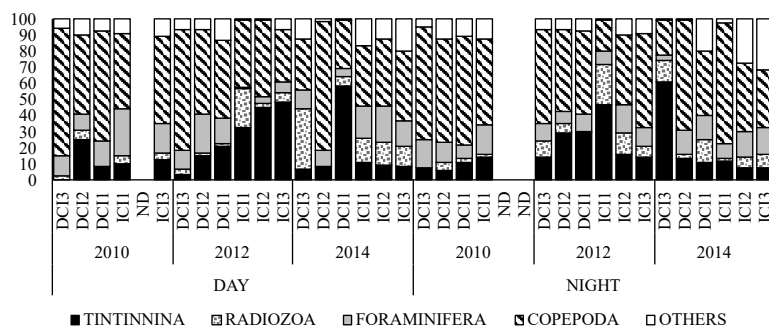


Figure 2: Relative abundance of the main microzooplankton groups in the stations and years, of the Rocas Atoll. DCI - Direct Current Influence; ICI - Indirect Current Influence; ND - No Data

In 2010, it was registered the highest total density among the three years ($63\,683.3 \text{ ind m}^{-3}$) (Figure 3) and Copepoda presented the highest average density with $4008.6 \text{ ind m}^{-3}$ followed by Foraminifera ($1196.7 \text{ ind m}^{-3}$). The average density found for the Tintinnina was of 898.7 ind m^{-3} (2010), 239.8 ind m^{-3} (2012) and 539.2 ind m^{-3} (2014). Radiozoa presented an average density of 139.5 ind m^{-3} (2010), 70.2 ind m^{-3} (2012) and 159.2 ind m^{-3} (2014). Copepoda was the main taxa with significant variation in density between the years (ANOVA, $p = 0.04$). Other groups were Acantharia (ANOVA, $p = 0.0193$), and Ostracoda (ANOVA, $p = 0.009$). Samples during the night presented higher density and among stations outranked the ICI1.

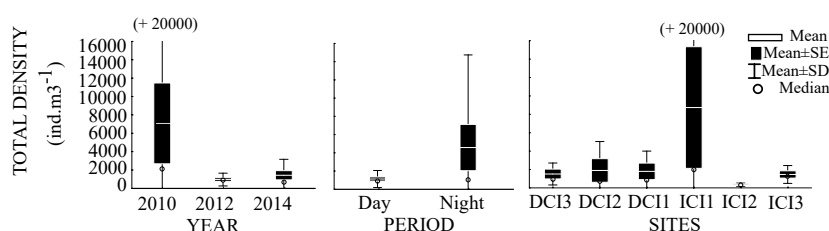


Figure 3: Density of the main microzooplankton taxa considering the years, day-night periods and current influence, at the Rocas Atoll. DCI - Direct Current Influence; ICI - Indirect Current Influence

Highest sestonic biomass was observed in 2010 (752.43 mg m^{-3}) (Table 2) following the same pattern as the density. The values of the sestonic biomass showed significant difference between the years (ANOVA oneway; $p = 0.016$), with higher values in 2010 (SNK, $2012 \approx 2014 < 2010$). In this year, the night period accounted for 89.4% of the sestonic

171 biomass, mostly at the stations closer (DCI1 and ICI1) to the Atoll. Significant differences were also observed between
 172 the stations (ANOVA oneway; $p = 0.047$), (SNK, ICI3≈DCI1≈ICI1 > ICI3, DCI1 and ICI2). In the year 2012, the
 173 station with greater biomass was the ICI3, the farthest of the atoll. In 2010 and 2012 the most representative biomass
 174 was on the Indirect Current Influence side, while in 2014 the side with the highest biomass was the Direct Current
 175 Influence (DCI1, day), closer to the atoll, with 35% of the total biomass (Figure 4).

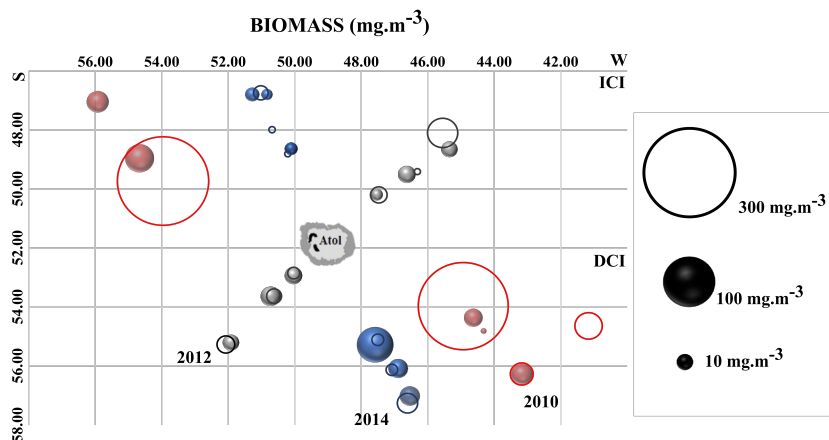


Figure 4: Sestonic biomass (mg m^{-3}) in the stations, day-night periods and years of the Rocas Rocas Atoll. DCI - Direct Current Influence; ICI - Indirect Current Influence. Empty circle: Night; Filled circle: Day. Blue: 2014; Red: 2010; Gray: 2012

176 Ecological index

177 The mean values observed for Shannon (H') diversity varied between 3.26 ± 0.3 bits ind^{-1} (2012ICI and DCI) and
 178 3.42 ± 0.2 bits ind^{-1} (2014 - ICI), with the highest mean values occurring in 2014 (Table 3). Pielou evenness index
 179 (J') showed high uniformity in the samples with most of the average values close to 1, however in 2014 the evenness
 180 was lower (Table 3).

181 Margalef's richness values were superior to 5 in all analyzed samples, which denotes high diversity. The year 2010
 182 presented a lower overall rate of Margalef richness, especially at night, while in 2014, the mean values were higher than
 183 10 Table 3 In this year, it was identified the highest number of species (187 taxa) and consisted mainly of Radiolaria
 184 species (Tables 2 and 3). It was observed a gradual annual increase in richness from 2010 to 2014. No statistically
 185 significant differences were found in relation to the ecological indices in relation to day-night, current direction and
 186 years (Kruskal-Wallis, $p > 0.05$).

187 The ecological indexes were also calculated for the main groups (Tintinnina, Radiozoa, Foraminifera and Copepoda
 188 (Figure 5); however, no significant variation of the data was identified (Kruskal-Wallis test, $p > 0.05$).

189 Similarity analysis

190 The similarity analysis for microzooplankton considering the years, current direction and day-nighttime showed a
 191 mean similarity rate varying from 44.17% to 50.92%, and the dissimilarity between groups for each factor separately
 192 showed differences of about 50% in all combinations. It was also assessed as similar (years, current direction and
 193 day-nighttime) for the major taxonomic groups independently (Tables 4 and 5).

194 Tintinnina and Radiozoa presented low similarity (less than 38.80%), when compared to Foraminifera (minimum
 195 of 41.39% in 2010) and Copepoda (minimum of 51.11% for 2010) (Tables 4 and 5). The annual dissimilarity in the
 196 composition of the communities was higher between 2010 versus 2014 for Tintinnina (69.97%) and Radiozoa (80.99%).

Table 3

Ecological indexe (Mean \pm SD) of the microzooplankton by current influence, day-night periods and year of sampling. DCI - Direct Current Influence; ICI - Indirect Current Influence; D Day; N Night; H' - Shannon diversity index (ind bits^{-1}); J' - Pielous evenness index; d - Margalef's richness index

Ecological indices Mean \pm SD					
Years	Factors	Number of taxa	H'(bits ind^{-1})	J'	d
2010	DCI	128	3.31 \pm 0.1	0.79 \pm 0.03	9.6 \pm 3.7
	ICI	105	3.31 \pm 0.3	0.80 \pm 0.02	8.4 \pm 1.3
	D	129	3.33 \pm 0.1	0.78 \pm 0.02	10.5 \pm 3.1
	N	98	3.28 \pm 0.3	0.80 \pm 0.03	7.3 \pm 0.7
	Year 2010	132			
2012	DCI	121	3.36 \pm 0.2	0.79 \pm 0.03	10.0 \pm 0.6
	ICI	130	3.26 \pm 0.3	0.79 \pm 0.03	9.8 \pm 3.2
	D	125	3.26 \pm 0.3	0.79 \pm 0.03	9.5 \pm 1.5
	N	134	3.36 \pm 0.2	0.79 \pm 0.03	10.3 \pm 2.8
	Year 2012	135			
2014	DCI	173	3.31 \pm 0.4	0.77 \pm 0.04	10.7 \pm 4.2
	ICI	158	3.42 \pm 0.2	0.78 \pm 0.02	12.4 \pm 2.4
	D	164	3.37 \pm 0.3	0.78 \pm 0.04	10.8 \pm 3.9
	N	171	3.37 \pm 0.3	0.77 \pm 0.03	12.2 \pm 2.9
	Year 2014	187			
Years total		197			

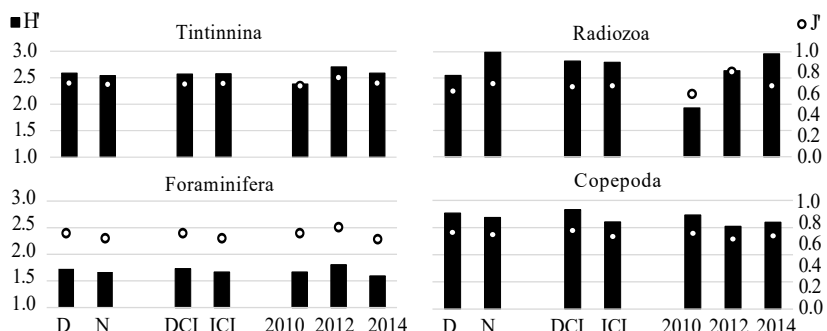


Figure 5: Shannon diversity index (H') (left axis bits ind^{-1}) and Pielous evenness index (J') (right axis) of the main microzooplankton groups in the stations, and year of sampling. DCI - Direct Current Influence; ICI - Indirect Current Influence; D- Day; N- Night

197 For Tintinnina, 27 of the 43 taxa analyzed contributed to this difference. The species *Epiplocy whole line lida*, *Rabdonelopsis apophysata*, *Rabdonella elegans*, *Codonella apicata*, *Codonella galea*, *Codonella sp.*, *Codonellopsis orthoceras*, 198 *Rabdonella amor*, *Dictocysta lepida*, *Rabdonella hensenii* and *Undella claperedae*, accounted for more than 50% of 199 this contribution. In Radiozoa 39 of the 80 taxa analyzed were responsible for the difference 2010 versus 2014, being 200 *Dictyocoryne sp.*, *Spongaster tetras*, *Spongodiscus resurgens*, *Discopyle sp.*, *Lophophphaena hispida*, *Zygocircus productus*, *Spongotrochus sp.*, *Acanthodesmia viniculata* and most unidentified species, representing 50% of this difference 201 (Table 5).

204 The annual dissimilarity found for Foraminifera was approximately the same between the years, and 2010 versus 205 2012 presented the highest percentage ratio (56.79%), with *Tretomphalus bulloides*, *Globorotalia menardii*, *Neogloborotalia quadrina* sp. and unidentified species accounting for 54.78% of this difference. The lowest percentages of annual 206 dissimilarities were observed for Copepoda, accounting the contribution of a high number of taxa, with individual con- 207

Table 4

Percentage contribution of taxa by groups in Similarity within factor (SF) (year) and Dissimilarity in the composition of the Community (DCC). n - number of taxa; n-c - number of contributing taxa

Groups	n total	SF (%)			DCC					
		2010	2012	2014	2010 × 2012		2010 × 2014		2012 × 2014	
					%	n-c	%	n-c	%	n-c
Tintinnina	43	32.65	38.62	35.87	58.61	22	69.97	27	67.33	29
Radiozoa	80	26.58	38.80	22.72	69.60	40	80.99	39	79.90	18
Foraminifera	13	42.72	44.95	68.24	56.79	9	53.57	8	50.37	10
Copepoda	50	51.11	63.26	66.41	46.31	39	47.18	40	38.74	41

tributions not exceeding 4.23%, with the ratio 2010 versus 2014 presenting the biggest difference (47.18%) (Table 5). The dissimilarities observed for day versus night, and DCI versus ICI ratios were higher for Radiozoa (74.55%, 37 taxa and 70.36%, 36 taxa) respectively, and lowest for Copepoda (42.42%, 41 taxa, 39.47%, 40 taxa), as well as in relation among years. Copepoda presented many more abundant taxa that contributed to the dissimilarities, however, each with low individual contribution (Table 5).

Table 5

Percentage contribution of taxa by groups in Similarity within factors (SF) (Current and Day-Night) and Dissimilarity in the composition of the Community (DCC). n - number of taxa; n-c - number of contributing taxa. DCI - Direct Current Influence; ICI - Indirect Current Influence; D- Day; N- Night

Groups	n total	SF (%)		DCC		SF (%)		DCC	
		D	N	D × N		DCI	ICI	DCI × ICI	
				%	n-c			%	n-c
Tintinnina	43	37.58	33.76	64.62	28	33,84	38,98	61,11	29
Radiozoa	80	27.52	21.39	74.55	37	26,78	33,32	70,36	36
Foraminifera	13	44.04	52.83	50.34	9	56,13	49,98	46,04	8
Copepoda	50	59.90	54.25	42.42	41	64,57	59,04	39,47	40

The cluster analysis formed 5 significant groups according to SIMPROF (Figure 6). Group 1 was formed by two samples of the same station from 2012, with one from the day and the other from the night. Group 2 joined Direct and Indirect currents from station 2, in 2010 and 2012. Groups 3 and 4 joined most samples from 2014, including day/night and direct and indirect current direction. Group 5 combined the highest number of samples and joined mostly 2010 and 2012. In this last group it could be observed 3 subgroups (the first composed of samples from 2012, the second with most samples from 2010, and the third with the samples of the direct influence from 2010 and 2012).

Indicator Value

Among the identified species the Tintinnina *Codonellopsis orthoceros* ($IV = 99.7, p = 0,0094$), the Radiozoa *Dictyophimus* sp. ($IV = 85.7, p = 0.0002$), *Corocalyptra* sp. ($IV = 73.2, p = 0.0002$) and *Acanthodesmia viniculata* ($IV = 70.1, p = 0.0002$) were indicators of the study area. *Orbulina universa* ($IV = 43.5, p = 0.003$) and *Acrocalanus gracilis* ($IV = 60.5, p = 0.0022$) species commonly found in oligothrophic tropical waters were indicators among Foraminifera and Copepoda, respectively.

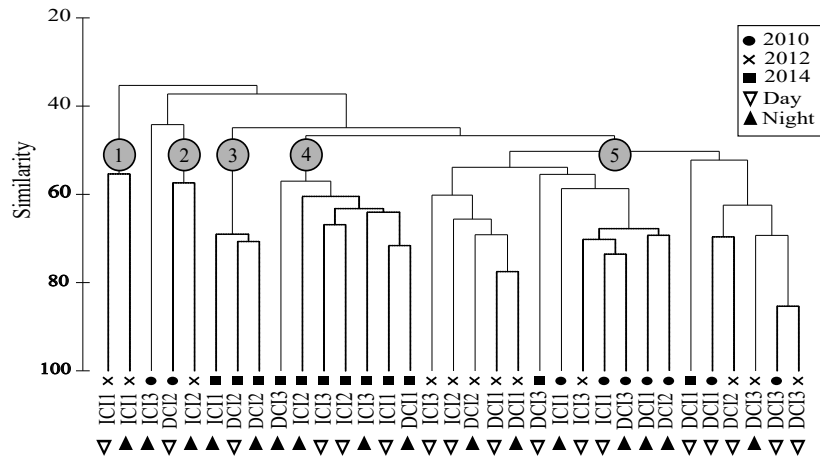


Figure 6: Dendrogram of similarity between densities of microzooplankton per year, site and day-night period. It was used the Bray-Curtis similarity index and the link method was the average weight. Red lines represent the SIMPROF test with 5% significance. DCI - Direct Current Influence; ICI - Indirect Current Influence.

225 4. Correspondence between the microzooplankton distribution and the environmental 226 Parameters

227 In Table 6 it can be seen that the day period, fluorescence and temperature presented the highest scores in the
228 ordering of the species in the first axis. In the second axis the highest scores were found for the 2d and 3d distances,
229 DCI and total density of the microzooplankton.

230 The CCA showed the existence of a positive relationship between the representatives of Radiozoa (*Dictyophimus*
231 sp.) and Tintinnina (*Codonella* sp. and *Epiploctis undella*) with temperature and fluorescence, besides being more
232 related to the diurnal period and INN. The opposite was seen for Foraminifera (*Orbulina universa*) and Gastropoda.
233 The Copepoda was distributed in more central regions of the graphic, presenting no strong correlation. The distance
234 1d (stations closest to the atoll) and ICI was directly correlated to the highest microzooplankton density (Figure 7).

Table 6
Biplot scores for the explanatory variables of the parsimonious CCA

Explanatory variables	Axis 1	Axis 2
Local depth	0.030	0.093
DCI	0.515	0.849
ICI	-0.342	-0.564
1d	0.033	-0.467
2d	-0.381	1.226
3d	0.208	0.834
Day period	1.141	0.317
Night period	-0.423	-0.118
Temperature	-0.700	-0.097
Fluorescence	-0.705	-0.050
Density	-0.453	-0.785

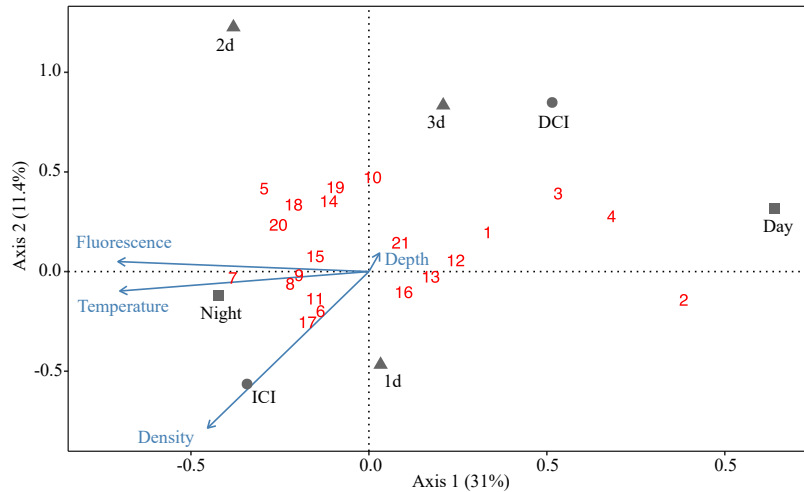


Figure 7: CCA ordination of the species (red numbers) occurring in more than 80% of the samples. The centroids of the spatial-temporal variables are presented by the triangles (distance from the archipelago), circles (current influence) and squares (day-night period). The blue arrows represent the environmental variables. 1 *Codonella* sp.; 2 *Epilobocylis undella*; 3 *Dictyophimus* sp.; 4 Radiolaria; 5 *Orbulina universa*; 6 Foraminifera; 7 Gastropoda; 8 *Clausocalanus furcatus*; 9 *Clausocalanus* (copepodite); 10 Calanoida; 11 Calanoida (nauplius); 12 *Oithona plumifera*; 13 *Oithona nana*; 14 *Oithona* (copepodite); 15 Cyclopoida (nauplius); 16 *Farranula* (Nauplius); 17 *Oncae media*; 18 *Oncae* (copepodite); 19 *Microsetella rosea*; 20 *Microsetella* (copepodite); 21 *Microsetella* (nauplius).

5. Discussion

The present work provides information on the ecological aspects of microzooplankton in the surroundings of the only western tropical Atlantic Atoll not previously well documented qualitatively or quantitatively. The Rocas atoll region and is under the influence of the westward flow of the central South Equatorial Current (cSEC) with the Tropical Water mass present at surface (Schott et al., 1998), which characterize an oligotrophic area. A high abundance and biomass were recorded in 2010, which indicates a period of high productivity around the island, in that period the speed of cSEC was maximum, as in 2014.

In general, the action of the currents on the atoll generated vortices on the opposite side of the direct action of the predominant current (Tchamabi et al., 2017). The concentrations of temperature, fluorescence and dissolved oxygen showed decreasing values between the years with the highest in 2010, except salinity which was higher in 2012 According to data from Oceanic Niño Index (ONI), 2010 was a year of moderate El Niño, 2012 a neutral year after the occurrence of moderate La Niña and 2014 a neutral year that preceded a strong El Niño. Therefore, the El Niño in 2010 raised the surface temperature of sea water. Jales et al. (2015) observed that for 2010 in Rocas atoll a greater breakdown of the thermohaline structure increasing nutrients and chlorophyll-a, although the phytoplankton community was characteristics of tropical oligothrophic waters.

During this period, Tchamabi et al. (2017) also observed the strengthening of the Central branch of the South Equatorial Current (SEC), and the occurrence of "wakes" that when interacting with the topography of the Atoll, they suggest that this phenomenon caused the possible formation of turbulence and subsurface cooling zones due to physical disruption at the base of the mixing layer, corroborating the appearance of high values of zooplanktonic biomass and microzooplankton density recorded in 2010 (Campelo et al., 2019).

The microplankton followed the same pattern and we found 197 species characteristics of tropical oligothrophic waters. This high microplankton richness shows the importance of Rocas Atoll as a biological hotspot in the western tropical Atlantic. Highest richness was found to Radiozoa (79 taxa), characterized by many species with sporadic

occurrences, and all typical of the more superficial layers of the ocean, like the closest archipelago of Saint Peter and Saint Paul (ASPSP) in South Atlantic Western ocean (Costa et al., 2019). Since many decades ago, it is known that radiozoans reach their maximum diversity in tropical waters (Campbell, 1954). This group prevailed in the night period, in the stations closer to the island under the Indirect Current Influence in 2014. This group also showed an indirect correlation with temperature and fluorescence. This result can be explained by the action of currents in the vicinity of islands and atolls, which promotes an eddy effect and internal waves downstream causing a greater mixture of cooler water and favouring the increase in planktonic biomass (Gove et al., 2016). Boltovskoy and Pujana (2007) showed that the abundance of Radiozoa increased in nutrient-rich ocean areas of resurgence. Despite the lower diversity in 2010, it was observed that higher values were registered in more distant areas of the island at night, which may be a consequence of greater competition, and greater consumption of silica by Radiozoa, also seen in the lower silicate levels observed at night. Jales (2015) noted that diatoms dominated in areas near this atoll, a common interaction in oceanic waters (Racki, 1999).

The second speciosus group was Copepoda, with 49 taxa, and we expected a higher number of species as a common factor in tropical oligothrophic surface waters (Boltovskoy, 1999), however mostly individuals were copepodite and nauplii stages that is very difficult to identify to species level, so many species were grouped as Calanoide or Cyclopoida copepodites or nauplii. Copepoda was the most representative groups in terms of density and were commonly represented by nauplii and copepodite stages, a common fact in the microzooplankton fraction (Sherr et al., 1986). The similarity analysis showed that the highest percentage of dissimilarity occurred between 2010 and 2014, and Copepoda presented lower differences (47% dissimilarity) and contributed with a higher number of species. The CCA highlighted Copepoda as the main group in the analysis, and among the sampling stations it was more evenly distributed. These results confirm its low annual variation in tropical oligothrophic areas and higher abundance in the samples in relation to other taxa (Bradford-Grieve et al., 1999). The predomination of nauplii and juvenile, was mentioned by Turner (2004) in studies of microzooplankton in tropical waters.

The third group in richness was Tintinnina with 42 taxa and the species were mostly the same of those presented by Nogueira and Sassi (2011), to the same area. Tintinnina presented higher densities in 2010, at night and in the side with indirect current influence. Thompson et al. (1999) mention that the patterns of occurrence of Tintinnina are more strongly related to environmental factors (ie., chlorophyll-a, nutrients, phytoplankton), a fact already observed to other areas worldwide (Dolan, 2000; Dolan et al., 2006). This taxon performs aggregations and assumes strategic behaviour when needed, increasing the reproductive rate and persisting in favourable areas (Nogueira et al., 2008). Its lower density compared to foraminifera may be reflecting competitive and/or predatory activities, since Tintinnina are prey of a range of organisms, including Foraminifera, crustaceans larvae (Thompson, 2004), copepods (Stoecker and Sanders, 1985) and fish (Shaheen et al., 2004). In 2014, Tintinnina presented a different pattern in Rocas atoll with higher densities during the day, a fact also observed by Nogueira and Sassi (2011) to same area. Two species, *Codonella* sp. and *Epiplocylis undella*, had the highest average density among Tintinnina species and were correlated to the direct influence of the current during the day and inversely correlated to temperature and fluorescence, which suggest a vertical migratory behavior.

Foraminifera was less representative than radiozoans, copepods and tinninds, however in 2010 they presented their highest density and diversity, when it was registered higher values for surface temperature and fluorescence to which they were directly associated. The main species responsible for dissimilarity between the years were *Globigerina bulloides*, *Globorotalia menardii* and *Neogloboquadrina* sp., the last two species with no spicules (Boltovskoy, 1999). In general, species without spicules are mostly herbivorous (Hemleben et al., 1989), allowing them to outrank in 2010, mainly at night at the atoll indirect current side. Foraminifera has a limited mobility with horizontal distribution

300 influenced by ocean currents, besides a limited ability to regulate the vertical position in the water column. This group
301 is mainly controlled by the temperature and phytoplankton biomass (Richardson, 2008; Storz et al., 2009).

302 When considering the microzooplankton community, significant differences among years occurred for species richness,
303 density and biomass, from 2010 to 2014. This is an expected pattern (Mackas et al., 2012), since most planktonic
304 species present short lifecycles and are sensitive to seasonal variations of climate and water physico-chemical pa-
305 rameters (Edwards and Richardson, 2004; Hays et al., 2005). Highest densities and biomass were found in the Indirect
306 Current Influence (ICI) in the years 2010 and 2012 and in the Direct Current Influence (DCI) in 2014. The CCA placed
307 DCI and ICI in opposite quadrants, correlating ICI to higher microzooplankton density and biomass. This result can
308 be explained by the annual pattern of the South equatorial current (Richardson and McKee, 1984; Arnault, 1987), that
309 presented maximum speed in 2010 and 2014, and modified the local hydrodynamics as mentioned above Tchamabi
310 et al. (2017, see.). In general, the currents on the atoll generated vortices on the opposite side of the direct action of
311 the predominant current, as well as the greater washing of submerged areas, thus increasing the nutritional capacity of
312 the area ICI (Fonteneau, 1991; Neumann-Leitão et al., 1999; Lessa et al., 1999; Morato et al., 2010).

313 On the other hand, we observed a tendency of diversity reduction in areas near the atoll for Copepoda in 2012,
314 and for Tintinnina and Radiozoa in 2014. In these years surface temperatures in the area were a bit lower, which
315 even with a small variation, may affect the abundance and composition of the microplankton community. Variations
316 in marine communities have been documented in the last 50 years; and, many of these variations are reported to the
317 plankton (Beaugrand, 2002; Hays et al., 2005) linked to climate oscillations (Edwards et al., 2002; Walther et al., 2002;
318 Parmesan and Yohe, 2003; Barnard et al., 2004). The seasonal phenomenon that mostly affects these oscillations is
319 El Niño-Southern Oscillation (ENSO), that presents both positive (El Niño) and negative anomalies (La Niña) on sea
320 surface temperature (SST). However, it is poorly characterized the answer of most species from the microzooplankton
321 fraction to the direct effect of temperature.

322 Among the Atoll indicators, the Tintinnina *Codonellopsis orthoceros*, the Radiozoa *Acanthodesmia viniculata*,
323 Foraminifera *Orbulina universa* and *Acrocalanus gracilis* were representative of warm waters and resurgence, indicat-
324 ing more productive conditions (island mass effect). These species were directly related to fluorescence. Jales (2015)
325 suggests that in the year 2010 the turbulence generated after the passage of the current through the Atoll has caused
326 the rupture of the thermohaline structure enriching the area. The same process was also verified by Souza et al. (2015)
327 in the Archipelago of Fernando de Noronha and in the submarine hills of the northern chains.

328 It was possible to identify that the communities presented different dynamics, this may suggest that each group
329 responds in its own way to the environmental variations observed between the years. The Copepoda group, known
330 for its high abundance in oligotrophic oceanic areas, did not show great variations in its community, different from
331 what was observed for Radiozoa, Tintinnina and Foraminifera. This shows the importance of the groups and species
332 considered more rare within the indicative process of environmental variations. Therefore, research with greater time
333 span and focusing on rare species must be carried out, in order to expand knowledge about the consequences of climate
334 change in marine ecosystems.

335 6. Acknowledgements

336 This study is part of the Camadas Finas I, II and III funded by Ministerio da Ciência e Tecnologia MCT/CNPq
337 (Brazil). The authors thank the FACEPE the scholarship to PBD and to CNPq for the Research Scholarship to SNL.

338 References

- 339 Almeida, F.F.M., 2015. Ilhas oceânicas brasileiras e suas relações com a tectônica atlântica. *Terra Didatica* 2, 3. doi:10.20396/td.v2i1.
340 8637462.
- 341 Arnault, S., 1987. Tropical atlantic geostrophic currents and ship drifts. *Journal of Geophysical Research* 92, 5076. doi:10.1029/
342 jc092ic05p05076.
- 343 Barnard, R.T., Batten, S., Beaugrand, G., Buckland, C., Conway, D.V.P., Edwards, M., Finlayson, J., Gregory, L.W., Halliday, N.C., John, A.W.G.,
344 Johns, D.G., Johnson, A.D., Jonas, T.D., Lindley, J.A., Nyman, J., Pritchard, P., Reid, P.C., Richardson, A.J., Saxby, R.E., Sidey, J., Smith, M.A.,
345 Stevens, D.P., Taylor, C.M., Tranter, P.R.G., Walne, A.W., Wootton, M., Wotton, C.O.M., Wright, J.C., 2004. Continuous plankton records:
346 Plankton atlas of the north atlantic ocean (1958-1999). ii. biogeographical charts. *Marine Ecology-progress SUPPL*, 11–75.
- 347 Beaugrand, G., 2002. Reorganization of north atlantic marine copepod biodiversity and climate. *Science* 296, 1692–1694. doi:10.1126/science.
348 1071329.
- 349 Beers, J.R., 1981. Determinación de la biomasa del zooplancton, in: Boltovskoy, D. (Ed.), *Atlas del zooplancton del Atlantico Sudoccidental y*
350 *métodos de trabajo con el zooplancton marino*. INIDEP, Mar del Plata. volume 2, pp. 133–141.
- 351 Bernard, R., Batten, S., Beaugrand, G., Buckland, C., 2011. Continuous plankton records: *Plankton atlas of the north atlantic ocean (1958-1999)*.
352 ii. biogeographical charts. *Marine Ecology Progress Series Supplement*, 11–75.
- 353 Boehlert, G.W., Genin, A., 1987. A review of the effects of seamounts on biological processes, in: Keating, B.H., Fryer, P., Batiza, R., Boehlert,
354 G.W. (Eds.), *Seamounts Islands and Atolls*. American Geophysical Union, Whasington. number 43 in *Geophysical Monograph*, pp. 319–334.
- 355 Boltovskoy, D., 1981. *Atlas del Zooplancton del Atlantico Sudoccidental y métodos de trabajo con el zooplancton marino*. 1 ed., Instituto Nacional
356 de Investigacion y Desarrollo Pesquero, Mar del Plata.
- 357 Boltovskoy, D., 1999. Radiolaria Polycystina. The Netherlands: Backhuys Publishers. chapter 7. pp. 149–212.
- 358 Boltovskoy, D., Pujana, I., 2007. Radiozoa, in: Camacho, H. (Ed.), *Invertebrados Fósiles*. Universidad Buenos Aires Maimónides, Buenos Aires,
359 pp. 111–132.
- 360 Bourlès, B., Gouriou, Y., Chuchla, R., 1999. On the circulation in the upper layer of the western equatorial atlantic. *Journal of Geophysical Research:*
361 *Oceans* 104, 21151–21170. doi:10.1029/1999jc900058.
- 362 Bradford-Grieve, J., Markhaseva, E., Rocha, C., Abiah, B., 1999. Copepoda, in: Boltovskoy, D. (Ed.), *South Atlantic Zooplankton*. Backhuys
363 Publishers. volume 2, pp. 869–1098.
- 364 BRASIL, 2007. Plano de Manejo para a Reserva Biológica do Atol das Rocas. 1 ed., Ministério do Meio Ambiente, Instituto Chico Mendes de
365 Conservação da Biodiversidade, Brasília. URL: http://www.icmbio.gov.br/portal/images/stories/imgs-unidadescoservacao/rebio_atol-das-rocas.pdf.
- 366 Bruggeman, J., Kooijman, S.A.L.M., 2007. A biodiversity-inspired approach to aquatic ecosystem modeling. *Limnology and Oceanography* 52,
367 1533–1544. doi:10.4319/lo.2007.52.4.1533.
- 368 Burkhill, P.H., Edwards, E.S., John, A.W.G., Sleigh, M.A., 1993. Microzooplankton and their herbivorous activity in the northeastern atlantic ocean.
369 Deep Sea Research Part II: Topical Studies in Oceanography 40, 479–493. doi:10.1016/0967-0645(93)90028-1.
- 370 Calbet, A., Landry, M.R., 2004. Phytoplankton growth, microzooplankton grazing, and carbon cycling in marine systems. *Limnology and Oceanog-*
371 *raphy* 49, 51–57. doi:10.4319/lo.2004.49.1.0051.
- 372 Campbell, A.S., 1954. Radiozoa, in: Moore, R.C. (Ed.), *Treatise on Invertebrate Paleontology*. Part D, Protista 3: Protozoa (chiefly Radiozoa and
373 Tintinnina). Geological Society of America and University of Kansas Academic Press, Lawrence, pp. 11–163.
- 374 Campelo, R.P.S., Bonou, F.K., Melo Júnior, M., Diaz, X.F.G., Bezerra, L.E.A., Neumann-Leitão, S., 2019. Zooplankton biomass around marine
375 protected islands in the tropical atlantic ocean. *Journal of Sea Research* 154, 101810. doi:10.1016/j.seares.2019.101810.
- 376 Castro-Filho, B., Brandini, F., Pires-Vanin, A.M.S., Miranda, L.B., 2006. Multidisciplinary oceanographic processes on the western atlantic conti-
377 nental shelf between 4°N and 34°S, in: *The Sea, Vol. 14A - The Global Coastal Ocean: Interdisciplinary Regional Studies and Syntheses*. Harvard
378 University Academic Press, Cambridge, pp. 259–293.
- 379 Clay, T.W., Bollens, S.M., Bochdansky, A.B., Ignoffo, T.R., 2004. The effects of thin layers on the vertical distribution of larval pacific herring, .
380 Journal of Experimental Marine Biology and Ecology 305, 171–189. doi:10.1016/j.jembe.2003.12.015.
- 381 Costa, A.E.S.F., Santana, J.R., Melo, P.A.M.C., Neumann-Leitão, S., 2019. Polycystine radiolarians within oligotrophic waters: higher abundance
382 closer to tropical oceanic islands. *Tropical Ecology* 60, 261–270. doi:10.1007/s42965-019-00030-3.
- 383 Dolan, J., 2000. Tintinnid ciliate diversity in the mediterranean sea: longitudinal patterns related to water column structure in late spring-early
384 summer. *Aquatic Microbial Ecology* 22, 69–78. doi:10.3354/ame022069.
- 385 Dolan, J.R., Lemée, R., Gasparini, S., Mousseau, L., Heyndrickx, C., 2006. Probing diversity in the plankton: using patterns in tintinnids (planktonic
386 marine ciliates) to identify mechanisms. *Hydrobiologia* 555, 143–157. doi:10.1007/s10750-005-1112-6.

- 388 Doty, M.S., Oguri, M., 1956. The island mass effect. ICES Journal of Marine Science 22, 33–37. doi:10.1093/icesjms/22.1.33.
- 389 Dufrêne, M., Legendre, P., 1997. Species assemblages and indicator species: The need for a flexible asymmetrical approach. Ecological Monographs 390 67, 345–366. doi:10.1890/0012-9615(1997)067[0345:saaist]2.0.co;2.
- 391 Edwards, M., Beaugrand, G., Reid, P.C., Rowden, A.A., Jones, M.B., 2002. Ocean climate anomalies and the ecology of the north sea. Marine 392 Ecology Progress Series 239, 1–10. doi:10.3354/meps239001.
- 393 Edwards, M., Richardson, A.J., 2004. The impact of climate change on the phenology of the plankton community and trophic mismatch. Nature 394 430, 881–884. doi:10.1038/nature02808.
- 395 Elangovan, S., Arun Kumar, M., Karthik, R., Siva Sankar, R., Jayabarathi, R., Padmavati, G., 2012. Abundance, species composition of microzoo- 396 plankton from the coastal waters of port blair, south andaman island. Aquatic Biosystems 8, 20. doi:10.1186/2046-9063-8-20.
- 397 Fernández, F., 1977. Efecto de la intensidad de luz natural en la actividad metabólica y en la alimentación de varias especies de copépodos 398 planctónicos. Investigación Pesquera 41, 575–602.
- 399 Fonteneau, A., 1991. Monts sous-marins et thons dans l'atlantique tropical est. Aquatic Living Resources 4, 13–25. doi:10.1051/alr:1991001.
- 400 Franzè, G., Lavrentyev, P.J., 2014. Microzooplankton growth rates examined across a temperature gradient in the barents sea. PLoS ONE 9, e86429. 401 doi:10.1371/journal.pone.0086429.
- 402 Genin, A., 2004. Bio-physical coupling in the formation of zooplankton and fish aggregations over abrupt topographies. Journal of Marine Systems 403 doi:10.1016/j.jmarsys.2003.10.008.
- 404 Goes, C.A., 2006. Análise da dispersão de larvas de lagostas no Atlântico Tropical a partir de correntes geostróficas superficiais derivadas por 405 satélites. mathesis. Instituto Nacional de Pesquisas Espaciais, INPE. São Paulo. URL: <http://mtcm17.sid.inpe.br/rep/sid.inpe.br/MTC-m13@80/2006/07.10.14.12>.
- 406 González-Quirós, R., Cabal, J., Álvarez Marqués, F., Isla, A., 2003. Ichthyoplankton distribution and plankton production related to the shelf break 407 front at the avilés canyon. ICES Journal of Marine Science 60, 198–210. doi:10.1016/s1054-3139(03)00009-2.
- 408 Gorini, M.A., Bryan, G.M., 1974. Semi-isolated basin off northeast brazilian margin. Transactions American Geophysical Union 55, 278–279.
- 409 Gove, J.M., McManus, M.A., Neuheimer, A.B., Polovina, J.J., Drazen, J.C., Smith, C.R., Merrifield, M.A., Friedlander, A.M., Ehses, J.S., Young, 410 C.W., Dillon, A.K., Williams, G.J., 2016. Near-island biological hotspots in barren ocean basins. Nature Communications 7, 10581. doi:10. 411 1038/ncomms10581.
- 412 Hays, G.C., Richardson, A.J., Robinson, C., 2005. Climate change and marine plankton. Trends in ecology & evolution 20, 337–344. doi:10.1016/ 413 j.tree.2005.03.004.
- 414 Hemleben, C., Spindler, M., Anderson, O.R., 1989. Modern Planktonic Foraminifera. Springer-Verlag, New york.
- 415 Hernández-León, S., Putzeys, S., Almeida, C., Bécognée, P., Marrero-Daz, A., Arstegui, J., Yebra, L., 2019. Carbon export through zooplankton 416 active flux in the canary current. Journal of Marine Systems 189, 12–21. doi:10.1016/j.jmarsys.2018.09.002.
- 417 Hillary, R.M., Bees, M.A., 2004. Plankton lattices and the role of chaos in plankton patchiness. Physical Review E 69, 1–11. doi:10.1103/ 418 physreve.69.031913.
- 419 Hinder, S.L., Manning, J.E., Gravenor, M.B., Edwards, M., Walne, A.W., Burkhill, P.H., Hays, G.C., 2011. Long-term changes in abundance and 420 distribution of microzooplankton in the ne atlantic and north sea. Journal of Plankton Research 34, 83–91. doi:10.1093/plankt/fbr087.
- 421 Irigoien, X., Flynn, K.J., Harris, R.P., 2005. Phytoplankton blooms: a ‘loophole’ in microzooplankton grazing impact? Journal of Plankton Research 422 27, 313–321. doi:10.1093/plankt/fbi011.
- 423 Jales, M.C., 2015. Influência das condições oceanográficas sobre aestrutura da comunidade fitoplanctônica no Atol das Rocas, Atlântico Sul 424 Equatorial, Brasil. mathesis. Universidade Federal de Pernambuco. Recife.
- 425 Kikuchi, R.K.P.D., 1994. Geomorfologia, Estratigrafia e Sedimentologia do Atol das Rocas (Rebio, IBAMA / RN). mathesis. Universidade Federal 426 da Bahia. Salvador.
- 427 Kikuchi, R.K.P.D., 2002. Atol das rocas, litoral do nordeste do brasil - Único atol do atlântico sul equatorial ocidental, in: Schobbenhaus, C., 428 Campos, D.A., Queiroz, E.T., Winge, M., Berbert-Born, M.L.C. (Eds.), Sítios Geológicos e Paleontológicos do Brasil. DNPM/CPRM, Brasilia, 429 pp. 379–390.
- 430 Lavrentyev, P., Franzè, G., Pierson, J., Stoecker, D., 2015. The effect of dissolved polyunsaturated aldehydes on microzooplankton growth rates in 431 the chesapeake bay and atlantic coastal waters. Marine Drugs 13, 2834–2856. doi:10.3390/md13052834.
- 432 Lessa, R., Mafalda-Jr., P., Advíncula, R., Lucchesi, R., Bezerra-Jr., J., Vaske-Jr., T., Hellebrandt, D., 1999. Distribution and abundance of ichthy- 433 oneuston at seamounts and islands off north-eastern brazil. Archive of Fishery and Marine Research 47, 239–252.
- 434 Mackas, D.L., Pepin, P., Verheyen, H., 2012. Interannual variability of marine zooplankton and their environments: within- and between-region 435 comparisons. Progress in Oceanography 97-100, 1–14. doi:10.1016/j.pocean.2011.11.002.
- 436 McClatchie, S., 1986. Time-series feeding rates of the euphausiid *thysanoessa raschii* in a temporally patchy food environment. Limnology and 437 Oceanography 31, 469–477. doi:10.4319/lo.1986.31.3.0469.
- 438

- 439 McKinnon, A.D., Richardson, A.J., Burford, M.A., Furnas, M.J., 2007. Vulnerability of great barrier reef plankton to climate change, in: Johnson,
440 J.E., Marshall, P.A. (Eds.), *Climate Change and the Great Barrier Reef*. Great Barrier Reef Marine Park Authority, pp. 121–152.
- 441 Medeiros, C., Macedo, S.J., Feitosa, F.A.N., Koenig, M.L., 1999. Hydrography and phytoplankton biomass and abundance of north-east brazilian
442 waters. *Archive of Fishery and Marine Research* 47, 133–151.
- 443 Medvinsky, A.B., Tikhonova, I.A., Aliev, R.R., Li, B.L., Lin, Z.S., Malchow, H., 2001. Patchy environment as a factor of complex plankton dynamics.
444 *Physical Review E* 64, 1–7. doi:10.1103/physreve.64.021915.
- 445 Melo, P.A.M.C., Diaz, X.F.G., Macedo, S.J., Neumann-leitão, S., 2012. Diurnal and spatial variation of the mesozooplankton community in the
446 saint peter and saint paul archipelago, equatorial atlantic. *Marine Biodiversity Records* 5. doi:10.1017/s1755267212001054.
- 447 Morato, T., Hoyle, S.D., Allain, V., Nicol, S.J., 2010. Seamounts are hotspots of pelagic biodiversity in the open ocean. *Proceedings of the National
448 Academy of Sciences* 107, 9707–9711. doi:10.1073/pnas.0910290107.
- 449 Munk, P., Larsson, P., Danielsen, D., Moksness, E., 1995. Larval and small juvenile cod concentrated in the highly productive areas of a shelf
450 break front. *Marine Ecology Progress Series* 125, 21–30. doi:10.3354/meps125021.
- 451 Neumann-Leitão, S., Gusmão, L.M.O., Silva, T., Nascimento-Vieira, D.A., Silva, A.P., 1999. Mesozooplankton biomass and diversity in coastal
452 and oceanic waters off north-eastern brazil. *Archive of fishery and marine research* 47, 153–165.
- 453 Nogueira, E.M.S., Sassi, R., Cordeiro, T.A., 2008. Estrutura da comunidade dos tintinnina na região do atol das rocas (rio grande do norte) e
454 arquipélago de fernando de noronha (pernambuco). *Biota Neotropica* 8, 135–140. doi:10.1590/s1676-06032008000300013.
- 455 Nogueira, M.E.S., Sassi, R., 2011. Nychthemeral variations of tintinnina (ciliata, oligotrichida) near the rocas atoll (south atlantic) and relationships
456 with other microzooplanktonic components. *Arquivos de Ciências do Mar* 44, 5–11.
- 457 Omori, M., Ikeda, T., 1984. Methods in marine zooplankton ecology. 1 ed., J. Wiley, New York.
- 458 Ormond, R.F., Gage, J.D., Angel, M.V., 1998. Marine biodiversity: patterns and processes. *Oceanographic Literature Review* 1, 101.
- 459 Parmesan, C., Yohe, G., 2003. A globally coherent fingerprint of climate change impacts across natural systems. *Nature* 421, 37–42. doi:10.1038/
460 nature01286.
- 461 Pereira, N.S., Manso, V.A.V., Silva, A.M.C., Silva, M.B., 2010. Mapeamento geomorfológico e morfodinâmica do atol das rocas, atlântico sul.
462 Revista de Gestão Costeira Integrada 10, 331–345. doi:10.5894/rgci209.
- 463 Pinto, N.C.T., Mafalda, P., Santos, A.T., 1997. Caracterização do zooplâncton da reserva biológica do atol das rocas, na campanha de março-1991
464 (verão). *Tropical Oceanography* 25. doi:10.5914/tropocean.v25i1.2726.
- 465 Quevedo, M., 2003. The protistan microzooplankton community in the oligotrophic north-eastern atlantic: large- and mesoscale patterns. *Journal
466 of Plankton Research* 25, 551–563. doi:10.1093/plankt/25.5.551.
- 467 Racki, G., 1999. Silica-secreting biota and mass extinctions: survival patterns and processes. *Palaeogeography, Palaeoclimatology, Palaeoecology*
468 154, 107–132. doi:10.1016/s0031-0182(99)00089-9.
- 469 Reiss, J., Forster, J., Cássio, F., Pascoal, C., Stewart, R., Hirst, A.G., 2010. When microscopic organisms inform general ecological theory, in: Woodward,
470 G. (Ed.), *Integrative Ecology: From Molecules to Ecosystems*. Elsevier. volume 43, pp. 45–85. doi:10.1016/b978-0-12-385005-8.
471 00002-2.
- 472 Richardson, A.J., 2008. In hot water: zooplankton and climate change. *ICES Journal of Marine Science* 65, 279–295. doi:10.1093/icesjms/
473 fsn028.
- 474 Richardson, P.L., McKee, T.K., 1984. Average seasonal variation of the atlantic equatorial currents from historical ship drifts. *Journal of Physical
475 Oceanography* 14, 1226–1238. doi:10.1175/1520-0485(1984)014<1226:asvota>2.0.co;2.
- 476 Ringelberg, J., 1995. Changes in light intensity and diel vertical migration: a comparison of marine and freshwater environments. *Journal of the
477 Marine Biological Association of the United Kingdom* 75, 15–25. doi:10.1017/s0025315400015162.
- 478 Rodrigues, O.A.A., 1940. O atol das rocas. *Rev. Mar. Brasil.* 59, 1181–1228.
- 479 Rogers, A.D., 1994. The biology of seamounts, in: *Advances in Marine Biology*. Elsevier. volume 30, pp. 305–350. doi:10.1016/S0065-2881(08)
480 60065-6.
- 481 Schott, F.A., Fischer, J., Stramma, L., 1998. Transports and pathways of the upper-layer circulation in the western tropical atlantic. *Journal of
482 Physical Oceanography* 28, 1904–1928. doi:10.1175/1520-0485(1998)028<1904:tapotu>2.0.co;2.
- 483 Shaheen, P.A., Manderson, J.P., Fahay, M.P., 2004. Stage-specific spatial and temporal variability in the diets of larval winter flounder () in a
484 northeastern u.s. estuarine nursery. *Estuaries* 27, 958–965. doi:10.1007/bf02803422.
- 485 Sherr, E.B., Sherr, B.F., Paffeoehofer, G.A., 1986. Phagotrophic protozoa as food for metazoans: a "missing" trophic link in marine pelagic food
486 webs? *Marine Microbial Food Webs* 1, 61–80.
- 487 Soares, M.O., Lemos, V.B., Kikuchi, R.K.P.D., 2009. Sedimentos carbonáticos bioclásticos do atol das rocas, atlântico sul equatorial. *Revista
488 Brasileira de Geociências* 39, 624–634. doi:10.25249/0375-7536.2009394624634.
- 489 Souza, C.A., Pecqueur, D., Floc'h, E.L., Mas, S., Roques, C., Mostajir, B., Vidussi, F., Velo-Suárez, L., Sourisseau, M., Fouilland, E., Guillou, L.,

- 490 2015. Significance of plankton community structure and nutrient availability for the control of dinoflagellate blooms by parasites: A modeling
491 approach. PLoS ONE 10, e0127623. doi:10.1371/journal.pone.0127623.
- 492 Stoecker, D.K., Sanders, N.K., 1985. Differential grazing by on a dinoflagellate and a tintinnid. Journal of Plankton Research 7, 85–100. doi:10.
493 1093/plankt/7.1.85.
- 494 Storz, D., Schulz, H., Wanek, J.J., Schulz-bull, D.E., Kuera, M., 2009. Seasonal and interannual variability of the planktic foraminiferal flux in the
495 vicinity of the azores current. Deep Sea Research Part I: Oceanographic Research Papers 56, 107–124. doi:10.1016/j.dsr.2008.08.009.
- 496 Tchamabi, C.C., Araujo, M., Silva, M., Bourlès, B., 2017. A study of the brazilian fernando de noronha island and rocas atoll wakes in the tropical
497 atlantic. Ocean Modelling 111, 9–18. doi:10.1016/j.ocemod.2016.12.009.
- 498 Thompson, G., 2004. Tintinnid diversity trends in the southwestern atlantic ocean (29 to 60s). Aquatic Microbial Ecology 35, 93–103. doi:10.
499 3354/ame035093.
- 500 Thompson, G.A., Alder, V.A., Boltovskoy, D., Brandini, F., 1999. Abundance and biogeography of tintinnids (ciliophora) and associated microzoo-
501 plankton in the southwestern atlantic ocean. Journal of Plankton Research 21, 1265–1298. doi:10.1093/plankt/21.7.1265.
- 502 Thurman, H.V., Trujillo, A.P., 2003. Introductory oceanography. 10 ed., Pearson.
- 503 Tinoco, I.M., 1965. Foraminferos do atol das rocas. Tropical Oceanography 7. doi:10.5914/tropocean.v7i1.2503.
- 504 Travassos, P., Hazin, F.H.V., Zagaglia, J.R., Advíncula, R., Schober, J., 1999. Thermohaline structure around seamounts and islands off north-eastern
505 brazil. Archive of Fishery and Marine Research 47, 211–222.
- 506 Turner, J.T., 2004. The importance of small planktonic copepods and their roles in pelagic marine food webs. Zoological studies 43, 255–266.
- 507 Villaça, R., Jensen, V.K., 2006. taylor (phaeophyceae, dictyotales): nova ocorrência para o atol das rocas e primeira descrição para a costa brasileira.
508 Arquivos do Museu Nacional 64, 215–221.
- 509 Walther, G.r., Post, E., Convey, P., Menzel, A., Parmesan, C., Beebee, T.J., Fromentin, J.m., Hoegh-Guldberg, O., Bairlein, F., 2002. Ecological
510 responses to recent climate change. Nature 416, 389. doi:10.1038/416389a.
- 511 Zar, J.H., 2018. Biostatistical analysis. Fifth edition ed., Pearson.

5 ARTIGO 2

PATTERNS OF DIVERSITY AND ABUNDANCE OF RADIOPZOA (POLYCYSTINA) OF ROCAS ATOLL, SOWTHWESTERN TROPICAL ATLANTIC

Highlights

- First contribution to the Radiopzoa - Polycystina of the unique atoll of the South Atlantic Ocean
- The Polycystina class was most successful in 2014 which was the with higher concentration of nutrients, mainly silica
- The species may be more sensitive to nutrient availability than to other environmental parameters, as salinity and / or temperature
- The considerable increase in richness in 2014 was mainly caused by climate effects (El Niño - la Niña)

1 **Patterns of Diversity and Abundance of Radiozoa (Polycystina) of Rocas Atoll,**
 2 **Southwestern Tropical Atlantic**

3

4 **RESUMO:** Os Polycystina, são tipicamente pelágicos, altamente diversificados e
 5 abundantes. Devido sua importância ecológica na teia trófica marinha planctônica, onde
 6 atuam como elo na alça microbiana, são considerados alguns dos principais
 7 produtores/consumidores primários. Este trabalho objetivou-se avaliar a composição e
 8 dinâmica temporal dos Radiozoa Polycystina do Atol das Rocas, Brasil. As amostras
 9 coletadas em 2010, 2012 e 2014, foram realizadas através de arrastos oblíquos desde
 10 200m de profundidade até a superfície ou 80% da profundidade local, com rede bongo de
 11 64 µm de abertura de malha. Foram identificados 76 taxa da classe Polycystina
 12 distribuídas nas Ordens Nassellaria, com 12 famílias e Spumellaria com 9. Dos taxa
 13 identificados 65,8% foram exclusivos de 2014. Spumellaria apresentou a menor riqueza
 14 e maior densidade (1217,02 org.m⁻³), com predominância de *Dictyocoryne truncatum*. O
 15 ano com a maior riqueza e densidade total foi 2014 (1871,3 org.m⁻³). O ANOSSIM
 16 mostrou diferença significativa entre os anos 2010 e 2014, confirmado pelo MDS e PCA.
 17 A temperatura foi o parâmetro mais explicativo, com maiores valores em 2010, assim
 18 como oxigênio e clorofila-a, ao contrário dos nutrientes, com valores mais altos em 2014,
 19 principalmente dióxido de silício. *Lophophaena hispida*, *Acanthodesmia viniculata*,
 20 *Dictyophimus* sp., *Amphispyris toxarium* e *Tholospyris* sp. foram bons indicadores para
 21 2014 (maior quantidade de nutrientes), enquanto *Spongodiscus resurgens* para 2010
 22 (maiores temperaturas) e *Zygocircus productus* simultaneamente para 2010/2014. Pode-
 23 se deduzir que a classe Polycystina foi mais bem-sucedida em 2014, quando elevados
 24 valores de nutrientes contribuíram positivamente para a maior abundância desta classe.

25 Palavras-chave: Microzooplâncton tropical, Protista planctônico, Bioindicador, Variação
 26 temporal

27

28 **ABSTRACT:** Polycystine are typically pelagic, highly diversified and abundant. Due to
 29 their ecological importance in the planktonic marine trophic web, where they act as a link
 30 in the microbial loop, they are considered to be some of the main primary

producers/consumers. This paper's main goal was to evaluate the composition and temporal dynamics of the Radiozoa Polycystine of the Rocas Atoll, Brazil. The samples were collected in 2010, 2012 and 2014, and they were obtained through oblique hauls extended to a depth of 80% of the local depth, or, at most, up to 200 m, with a plankton net with 64 µm mesh size. 76 Polycystine taxa were identified divided into the orders Nassellaria (12 families) and Spumellaria (9 families). Among the taxa identified, 65.8% occurred exclusively in 2014. Spumellaria exhibited the smallest richness and highest density (1217.02 org.m⁻³), with the predominance of *Dictyocoryne truncatum*. 2014 was the year with the greatest richness and total density (1871.3 org.m⁻³). The ANOSSIM showed a significant difference between the years 2010 and 2014, confirmed by MDS and PCA. The temperature was the most explanatory parameter, with higher values in 2010, as well as oxygen and chlorophyll-a, as opposed to the nutrients, with higher values in 2014, mainly Silicon dioxide. *Lophophaena hispida*, *Acanthodesmia viniculata*, *Dictyophimus sp.*, *Amphispyris toxarium*, and *Tholospyris sp.* were good indicators for 2014 (higher amount of nutrients), while Spongodiscus resurfaces for 2010 (higher temperatures). It can be inferred that the Polycystine class was more successful in 2014 when higher nutrient values contributed positively to the greater abundance of this class.

Keywords: Tropical microzooplankton, Protist plankton, Bioindicator, Temporal variation

50

51 1 Introduction

52

53 The oceans beget high biological diversity (LONGHURST; PAULY, 2007),
54 mainly in tropical oligotrophic areas close to islands and atolls, where the availability of
55 resources is increased and higher productivity occurs due to the “island mass effect”
56 (DOTY; OGURI, 1956; MUNK et al., 1995; GONZÁLEZ-QUIRÓS et al., 2003). This
57 nutritional increment locally affects the structure of the communities (BOEHLERT;
58 GENIN, 1987; ROGERS, 1994; GENIN, 2004). Because of these features, the Rocas
59 Atoll becomes of great importance for maintaining the marine biodiversity of this region,

60 despite being considered one of the smallest atolls in the world and unique at the southern
61 Atlantic (SOARES; LEMOS; KIKUCHI, 2009).

62 The planktonic Phylum Radiozoa is among the microorganisms benefiting from
63 these areas. They are dominant in oligotrophic regions (AFANASIEVA et al., 2005)
64 where they act as an important link in the microbial food chain, providing energy and nutrients
65 across a range of size fractions. They can feed on prey in size fractions from nano to
66 macro planktonic (Swanberg and Caron 1991), being considered one of the main primary
67 producers/consumers in these areas (Siokou-Frangou et al. 2010).

68 Paleontological records show that the phylum represents one of the first
69 microscopic groups to inhabit oceanic regions from the Cambrian to the present day
70 (AFANASIEVA et al., 2005; BRAUN et al., 2007). Its long history of life and wide
71 distribution, both vertical and horizontal, are consequences of its ecological plasticity (DE
72 WEVER et al., 2003; AFANASIEVA et al., 2005; BOLTOVSKOY et al., 2010). The
73 richness of fossil records of the Radiozoa causes most of the work on this phylum to be
74 directed to the paleontological area, with few studies focused on current groups (WEVER;
75 FRANCE, 2001; DE WEVER et al., 2003; SUZUKI; OBA, 2015; SANDIN et al., 2019).

76 Radiozoa is a phylum of single-celled Protozoa with an average size of 100 to 800
77 µm, solitary or colonial, predominating in salinity between 32 and 38 PSU and a
78 planktonic way of life (NAZAROV; PETRUSHEVSKAYA, 1995). The reproduction of
79 the phylum is still inconclusive, however Itaki and Bjorklund (2007) suggested that
80 Radiolaria have an asexual binary fission reproduction. They are formed by an internal
81 skeleton composed of hydrated silica ($\text{SiO}_2 \cdot n\text{H}_2\text{O}$) (SUZUKI; NOT, 2015). Its skeleton
82 assumes a range of forms, with varying numbers of spines and a central capsule that is
83 destroyed immediately after its death; in Polycystine, for example, the presence of 98%
84 of $\text{SiO}_2 \cdot n\text{H}_2\text{O}$ amorphous (NAZAROV; PETRUSHEVSKAYA, 1995) with small
85 amounts (1 to 4%) of Mg, Ca, Al, Na (ANDERSON, 1983) was observed. Its spines assist
86 in motor function, providing an axis to the pseudopods; moreover, the position and
87 quantity of the spines are fixed and distinct within each taxon (DE WEVER et al., 2003).
88 However, recent phylogenetic studies have found no pattern in the initial spicular system
89 that allows separating clades in Nassellaria (SANDIN et al., 2019).

90 The most current taxonomic classification of the phylum Radiozoa, formerly
91 Radiolaria, is subdivided in three classes, Acantharia, Polycystine and Sticholonchea
92 (WORMS EDITORIAL BOARD, 2019), all of them marine.

93 In general, the phylum Radiozoa occurs from central oceanic regions to estuaries
94 (Boltovskoy et al., 2003), and can be abundant in areas close to the coast, mainly in the
95 upper part of the water column (BOLTOVSKOY; ALDER; ABELMANN, 1993;
96 BOLTOVSKOY, 1998, 1999). Its vertical distribution is wide (AFANASIEVA et al.,
97 2005), with maximum populations of Radiozoa in tropical and subtropical waters
98 concentrated in the upper layers of the water column, mainly between 50-100 m of depth
99 (KLING; BOLTOVSKOY, 1995; ABELMANN; GOWING, 1997). This fact is related
100 to symbiotic associations commonly found between Radiozoa and chlorophyllate
101 microorganisms that are closely related to luminous intensity (ZASKO; RUSANOV,
102 2005; ZHANG et al., 2018). The class Polycystine, focus of this study, is highly
103 diversified holoplanktonic protists, with more than 300 recent species registered
104 (BOLTOVSKOY et al., 2010; LAZARUS et al., 2015). Its predominance occurs in the
105 range of 50 to 400 m of depth (BOLTOVSKOY, 1998, 1999; ZASKO; RUSANOV,
106 2005), typically pelagic and rarely found in coastal waters, especially where salinity falls
107 below normal values of the open ocean (35 PSU) (ANDERSON, 1983; BOLTOVSKOY,
108 2017).

109 Studies show that in addition to the carbon increment offered by the
110 chlorophyllate, the Radiozoa also benefit from these as a nutritional reserve (direct source
111 of food) and structural (source of silica), increasing its adaptive capacity and resistance
112 to unfavorable environments (ANDERSON, 1983). However, the main sources of food
113 in this phylum are still bacteria, unicellular algae, ciliates, copepods, larvae and other
114 microscopic items living or dead (ZASKO; RUSANOV, 2005). It was also verified that
115 the Radiozoa species present food preference, and this factor reduces competition for
116 resources (AFANASIEVA et al., 2005).

117 In addition to biotic factors, radiolarians feeding and its symbiosis with algae, the
118 population dynamics of Radiolarians is also governed by abiotic factors. The most
119 important ones are temperature, salinity, hydrodynamics and depth (CHUVASHOV et
120 al., 1999), light penetration and the availability of natural silica (SUZUKI; NOT, 2015).

121 Due to the above and in view of the importance of the area in question, this paper aims to
122 evaluate the composition and temporal dynamics of Radiozoa Polycystine found close to
123 Rocas Atoll, Brazil.

124 **2 Material and Methods**

125 The Rocas Atoll is located 148 km west of the Fernando de Noronha Archipelago
126 (03°05'2'' S; 33°04'9'' W) (Figure 1). It is placed at the top of a series of undersea mountains
127 based on 4000 meters deep, and is characterized as an elliptic, almost circular calcareous
128 algal reef covering approximately 5.5 km², with an opening connecting its central lagoon
129 to the open sea; the longest axis (E-W) covers 3.7 km and the shortest axis (N-S) 2.5 km
130 (SOARES; LEMOS; KIKUCHI, 2009).

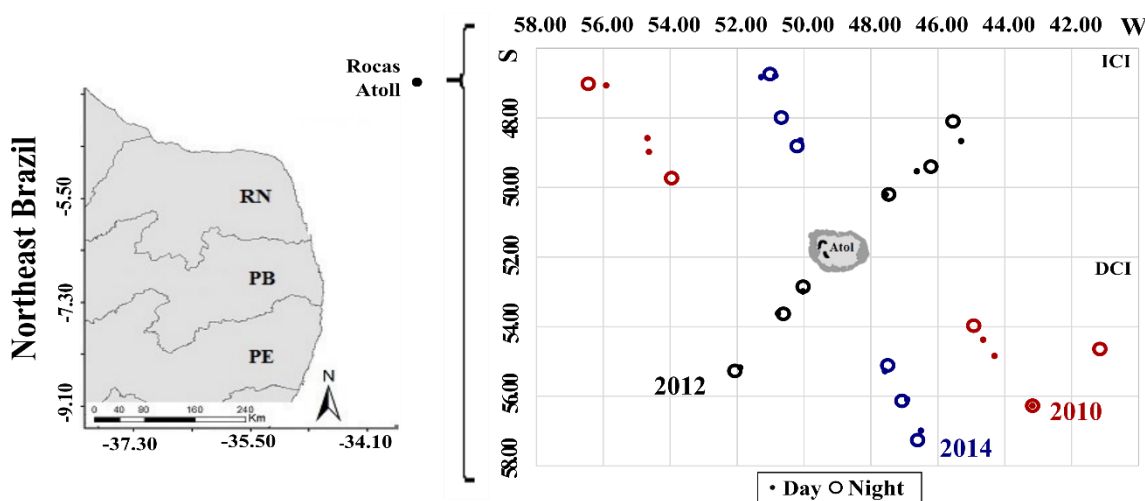
131 An equatorial warm climate prevails in the study area, with a cool trade wind from
132 the southwest. The average air temperature varies between 28°C to 32°C throughout the
133 year (PINTO; MAFALDA; SANTOS, 1997) and the surface water temperature is
134 approximately 27.7°C. The rainy season is between March and July, with a monthly
135 average of 860 mm (SOARES; LEMOS; KIKUCHI, 2009). The relative humidity is high
136 during the year (usually above 80%). The study area is within the Rocas atoll and
137 Fernando de Noronha Biological Reserve Archipelago, the first marine protected area
138 created by Federal Law in 1979 (BRASIL; MMA, 2007), currently managed by the
139 Brazilian Institute for the Environment and Natural Resources (IBAMA).

140 The Rocas Atoll surrounding waters have low nutrients concentration and
141 fluorescence not exceeding 50 mg·m⁻³ (MEDEIROS et al., 1999). The South Equatorial
142 Current (CSE), which presents an average speed of 30 cm s⁻¹, influences the atoll and
143 has a constant westward direction (GOES, 2006). In mid-June to September during the
144 southern hemisphere's winter season, southeast winds are more frequent and range in
145 speed from 11 to 15 m s⁻¹ (KIKUCHI, 2002).

146 The Rocas Atoll is of geological, paleontological and ecological importance,
147 harboring many migratory shorebirds and residents, with structures that ensure leaching
148 of nutrients available to the planktonic organisms of the area (KIKUCHI, 2002).

149 Three oceanographic campaigns were carried out in the Rocas Atoll (July and
 150 August of 2010, September and October of 2012 and July and September 2014), aboard
 151 of the NHO Cruzeiro do Sul from the Brazilian Navy. Two transects with three points
 152 each were made per year, one of the direct current incidence side (IDC) and the other on
 153 the indirect current incidence side (IIC), both with day and night collections (Figure 1).

154 Environmental data, Dissolved Oxygen (mg L⁻¹), salinity (PSU), fluorescence
 155 and temperature (° C) were acquired using a CTD profiler. This data comes from using
 156 the average of the acquired values in the most superficial layer of the water column. For
 157 analysis of dissolved inorganic nutrients, the water samples were stored in plastic bottles
 158 (300ml) and were immediately frozen and transported to the Chemistry Laboratory of the
 159 Oceanography Department of UFPE. In the laboratory, analyses were performed as
 160 described by Strickland and Parsons (1972) and Grasshoff et al. (1983).



161
 162 Figure 1 - Study area with the three transects at Rocas atoll (Brazil), equatorial Southwest
 163 Atlantic. DCI=Direct Current Influence; ICI- Indirect Current Influence
 164

165 The sampling was performed by oblique hauls (made in "V") with a cylindrical-
 166 conical plankton net with mesh openings and mouth diameters of 64 µm and 30 cm,
 167 respectively. The hauls extended to a depth of 80% of the local depth, or, at most, up to
 168 200 m. After the hauls, the samples were transferred to plastic bottles and immediately
 169 fixed in formaldehyde solution (4%), buffered with sodium tetraborate.

170 For the qualitative and quantitative analysis of the organisms, each sample was
 171 diluted according to the density of organisms. Then, 1 ml aliquote was dropped into a

172 "Sedgwick-Rafter" chamber and analyzed under a compound microscope and at least 300
 173 individuals counted. Three aliquots of each sample were analyzed. The taxa identification
 174 was based on the smallest taxonomic unit possible.

175 Densities were calculated (org.m^{-3}) for all identified species. The community
 176 structure was described using the Whittaker diagram, which relates the relative abundance
 177 with the species richness. With them we can infer the evenness. The ANOSIM was used
 178 to test the statistical differences of species density between periods (day and night) and
 179 years (2010, 2012 and 2014). To show the difference in density between the years, a
 180 multidimensional non-metric scaling (nMDS) was used. The variation of the
 181 environmental parameters between the years was evaluated through Principal Component
 182 Analysis (PCA). An indicator value analysis (IndVal), which computes a single value for
 183 each species, was performed based on the fidelity and specificity of the species in relation
 184 to groups of sites, and statistically tests the significance of the relations by permutation
 185 (CHEW et al., 2015). The IndVal of a species has been used to express species importance
 186 as indicators in community categorizations. All the tests were made using the R language
 187 (R Core Team 2017) and the RStudio environment version 1.1.42 (RStudio Team 2016).

188

189 3 Results

190 A total of 76 Radiozoa Polycystine were identified, distributed in two orders,
 191 Nassellaria with 12 families and 45 species and the Spumellaria with 9 families and 31
 192 species. All the taxa identified occurred in the year 2014, being 65.8% of these exclusive
 193 of this year. Most of the taxa (49) occurred in both periods (day and night) (Table 1).

194 Table 1 – Total Density and occurrence per period and year of the taxa Polycystina
 195 (Radiozoa) identified in Rocas Atoll (Brazil).

TAXONOMIC CLASSIFICATION		TOTAL DENSITY (Org.m^{-3})	OCCURRENCE			
			PERIOD	YEAR		
PHYLUM RADIOZOA						
CLASS POLYCYSTINA						
ORDER NASSELLARIA						
Family Artostrobiidae	<i>Spirocyrtis scalaris</i>	2,36	D/N	2014		
Family Cannabotryidae	<i>Botryopyle dictyocephalus</i>	3,13	N	2014		
Family Carpcaniidae	<i>Carpocanistrum</i> sp.	64,27	D/N	ALL		

	<i>Carpocanium</i> sp.	2,31	N	2014
Family Collozoidae	<i>Collosphaera macropora</i>	2,50	D/N	ALL
	<i>Collosphaera</i> sp.	1,66	N	2014
	<i>Collosphaera tuberosa</i>	0,65	D	2014
	<i>Siphonosphaera polysiphonia</i>	0,65	N	2014
	<i>Siphonosphaera</i> sp.	3,99	D/N	2012/2014
	<i>Solenosphaera</i> sp.	2,96	D/N	2014
	<i>Solenosphaera zanguebarica</i>	2,91	N	2014
	Collozoidae*	48,45	N	2014
Family Plagiacanthidae	<i>Amphiplecta</i> sp.	6,24	D/N	2014
	<i>Clathrocorys</i> sp.	11,70	D/N	2014
	<i>Enneaphormis rotula</i>	3,32	N	2014
	<i>Lampronitra</i> sp.	4,74	D/N	2014
	<i>Lophophyena buetschlii</i>	3,05	D/N	2014
	<i>Lophophyena hispida</i>	215,76	D/N	2014
	<i>Peromelissa</i> sp.	9,77	D/N	2014
	<i>Pseudocubus obeliscus</i>	16,45	D/N	ALL
	<i>Pteroscenium pinnatum</i>	1,25	D	2014
Family Pterocorythidae	<i>Lamprocyclas</i> sp.	9,98	D/N	2014
	<i>Pterocorys minythorax</i>	1,66	D/N	2014
	<i>Pterocorys zancleus</i>	1,50	D	2010/2014
Family Theoperidae	<i>Corocalyptra cervus</i>	14,77	D/N	2010/2014
	<i>Corocalyptra columba</i>	2,03	D/N	2012/2014
	<i>Corocalyptra</i> sp.	26,59	D/N	2010/2014
	<i>Cycladophora</i> sp.	77,64	D/N	ALL
	<i>Dictyophimus infabricatus</i>	3,32	N	2014
	<i>Dictyophimus</i> sp.	43,65	D/N	2014
	<i>Eucyrtidium acuminatum</i>	11,59	D/N	2014
	<i>Eucyrtidium hexastichum</i>	3,32	N	2014
	<i>Eucyrtidium</i> sp.	26,59	D/N	2010/2014
	<i>Lipmanella bombus</i>	0,70	D	2014
	<i>Litharachnium tentorium</i>	57,76	D/N	ALL
	<i>Pterocanum trilobum</i>	7,98	D/N	2012/2014
	<i>Stichopilidium kruegeri</i>	1,66	N	2014
Family Trissocyclidae	<i>Acanthodesmia viniculata</i>	47,21	D/N	2014
	<i>Amphispyris reticulata</i>	0,70	D/N	2014
	<i>Amphispyris</i> sp.	41,44	D	2014
	<i>Ceratospyris</i> sp.	3,61	N	2014
	<i>Clathrocircus stapedius</i>	4,98	N	2014
	<i>Tholospyris</i> sp.	7,69	D/N	2014
	<i>Zygocircus productus</i>	104,60	D/N	2010/2014
	<i>Zygocircus</i> sp.	64,19	D/N	ALL
ORDER				
SPUMELLARIA				
Family Actinommidae	<i>Acanthosphaera actinota</i>	6,68	D/N	2014
	<i>Acanthosphaera dodecastyla</i>	3,97	N	2014

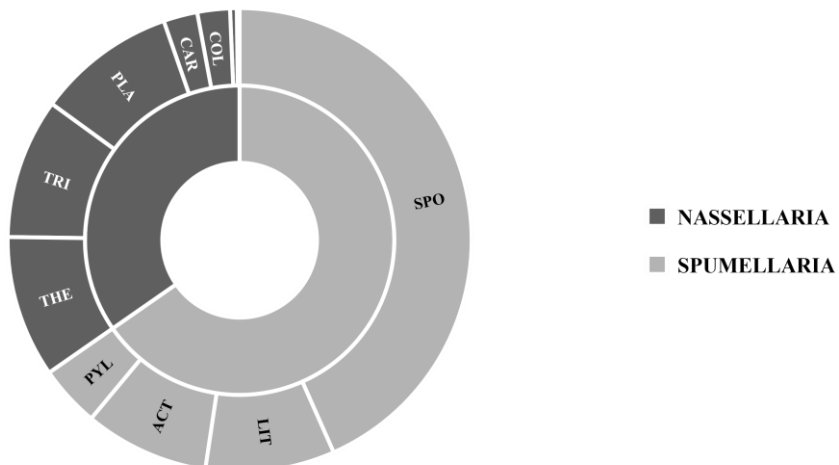
	<i>Acanthosphaera pinchuda</i>	22,51	D/N	2014
	<i>Acanthosphaera</i> sp.	11,72	D/N	2014
	<i>Actinomma</i> sp.	3,24	D	2014
	<i>Centrocubus</i> sp.	1,66	N	2014
	<i>Hexacontium aristarchi</i>	1,17	N	2014/2014
	<i>Hexacontium armatum-hostile</i>	4,98	N	2014
	<i>Hexacontium</i> sp.	7,33	D/N	2014
	<i>Hexastylus phaenaxonius</i>	0,70	D	2014
	<i>Plegmosphaera</i> sp.	86,42	D/N	ALL
	<i>Spongosphaera streptacantha</i>	93,29	D/N	ALL
Family Litheliidae	<i>Discopyle</i> sp.	194,63	D/N	ALL
	<i>Larcopyle buetschlii</i>	53,19	D/N	2010/2014
	<i>Lithelius minor</i>	1,99	N	2014
	<i>Lithelius</i> spp.	3,32	D	2014
Family Pyloniidae	<i>Octopyle</i> sp.	23,02	D/N	2014
	<i>Octopyle stenozona</i>	6,64	D/N	ALL
	<i>Phorticium clevei</i>	46,44	D	2014
	<i>Phorticium</i> sp.	3,97	D/N	ALL
	<i>Pylolena</i> sp.	30,20	D/N	2014
	<i>Pylonidae</i>	6,23	D/N	ALL
	<i>Tetrapyle octacantha</i>	3,65	D/N	2014
Family Spongodiscidae	<i>Dictyocoryne profunda</i>	92,87	D/N	ALL
	<i>Dictyocoryne</i> sp.	17,98	D/N	ALL
	<i>Dictyocoryne truncatum</i>	646,69	D/N	2014
	<i>Euchitonnia elegans-furcata</i>	1,39	D	2014
	<i>Spongaster tetras</i>	166,12	D/N	ALL
	<i>Spongodiscus resurgens</i>	150,45	D/N	2010/2014
	<i>Spongotrochus</i> sp.	133,23	D/N	ALL
	<i>Spongurus pylomaticus</i>	8,30	D/N	2014
TOTAL DENSITY		2807,23		

196

* Unidentified organisms.

197 The order Spumellaria, despite having lower richness, showed higher density
 198 (1217.02 org.m⁻³). Most of the families of this order presented density greater than 200
 199 org.m⁻³. Spongodiscidae more specifically the species *Dictyocoryne truncatum* was the
 200 most representative with 646.69 org.m⁻³, and it occurred only in the year 2014 and was
 201 registered in the day and night periods. The Family Actinommidae showed the highest
 202 richness within this order (12) and 83% of them occurred only in the year 2014 (Table 1
 203 and Figure 2).

204 The families of lower representativeness were Artostrobiidae, Cannobotryidae,
 205 Carpocaniidae, with less than 14 org.m⁻³, the three are part of the order Nassellaria (Table
 206 1 and Figure 2).



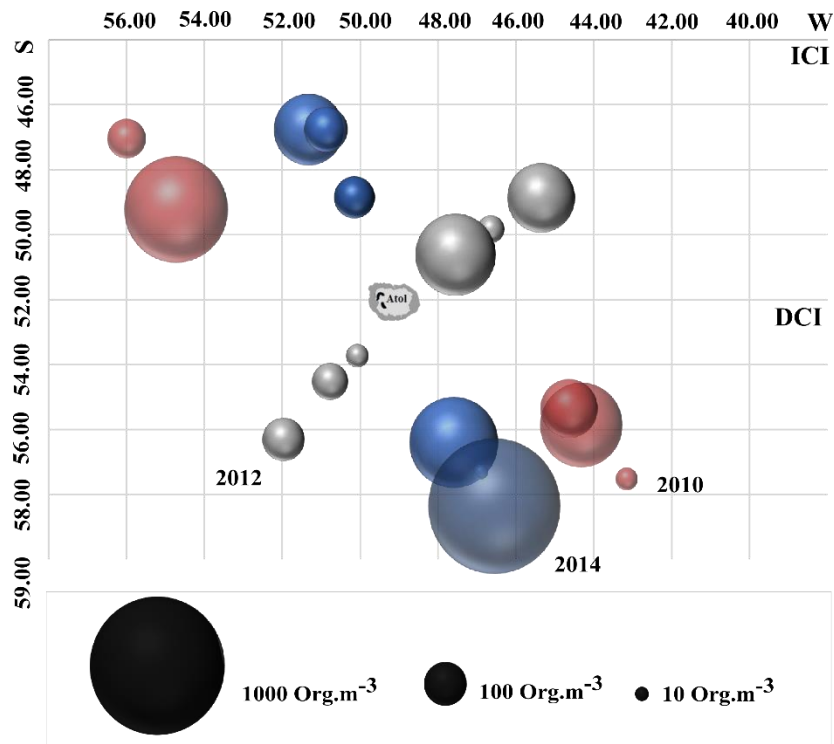
207

208 Figure 2 - Density of Polycystine (Radiozoa) by order (Nassellaria and Spumellaria) and
 209 families in the vicinity of the Rocas Atoll (Brazil). Legend families: ART –
 210 Artostrobiidae, CAN- Cannobotryidae, CAR – Carpocaniidae, COL – Collozoidae, PLA
 211 – Plagiocanthidae, PTE – Pterocorythidae, THE - Theoperidae, TRI – Trissocyklidae,
 212 ACT – Actinommidae, LIT – Litheliidae, PYL – Pyloniidae and SPO – Spongodiscidae.

213 The year in which the highest total density was observed was 2014 with 1871.3
 214 org.m⁻³, followed by 2012 (1256.1 org.m⁻³) and 2010 (841.0 org.m⁻³). In 2014 the
 215 densities were higher in the area of direct incidence of the current (1404.8 org.m⁻³) and
 216 the day period (1127.9 org.m⁻³) had higher densities than night (743.3 org.m⁻³). This year
 217 was different from what was observed in 2010 and 2012, when the densities in the area
 218 of indirect incidence and the night period were higher than those of the day, 273.3 org.m⁻³
 219 (day); 982.7 org.m⁻³ (night), and 191.4 org.m⁻³ (day) and 649.5 org.m⁻³ (night),
 220 respectively (Figure 3).

221 The similarity analysis (ANOSIM) indicated significant difference in density only in
 222 relation to the year (2010; 2012; 2014) R= 0.1884, p = 0.001, but not for the period
 223 (day/night) R=-0.04862, p = 0.956.

224

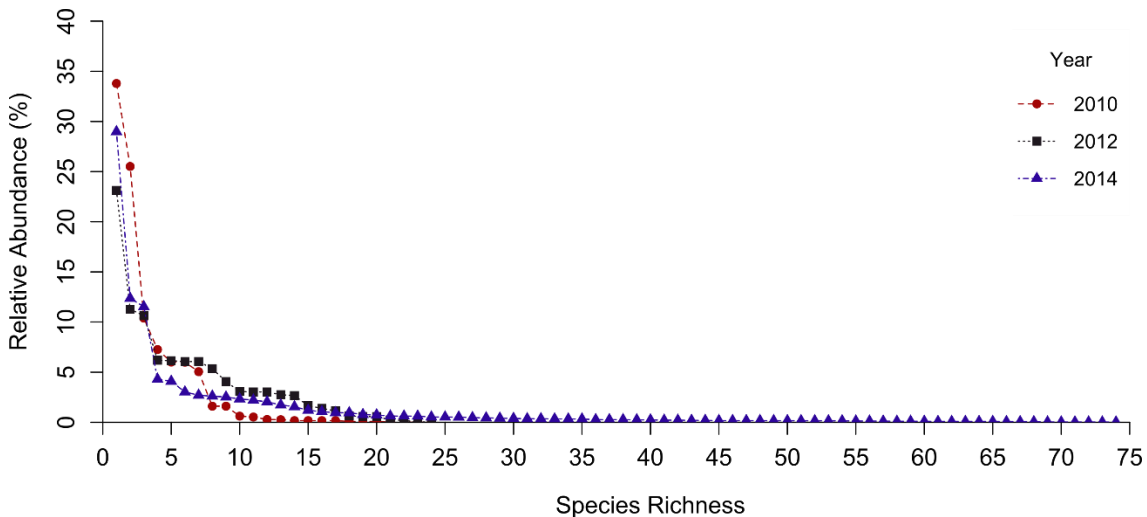


225

226 Figure 3 - Total density (org.m^{-3}) per site and year of the taxa Polycystina (Radiozoa) in
227 Rocas Atoll (Brazil).

228

229 With the analysis of the Whittaker diagram (Figure 4), the superiority of richness
230 presented in the year 2014 is clear. It is also possible to visualize that few species were
231 highlighted in terms of relative abundance in the three years. In 2010, *Dictyocoryne* sp.,
232 *Spongodiscus resurgens*, *Discopyle* sp. and *Zygocircus productus* were the most
233 abundant. In 2012, outranked *Dictyocoryne* sp., *Discopyle* sp., *Carpocanistrum* sp. and
234 *Plegmosphaera* sp.; and, in 2014 *Dictyocoryne* sp., *Lophophphaena hispida*, *Spongotrochus*
235 sp. and *Dictyocoryne profunda* were dominant. In 2014, the distribution pattern of
236 individuals among species was intermediated concerning 2012 which was higher and
237 2010 which was lower. That is, the relative abundance percentages were better distributed
238 in 2012, while 2014 had a high number of rare species, see Figure 4.

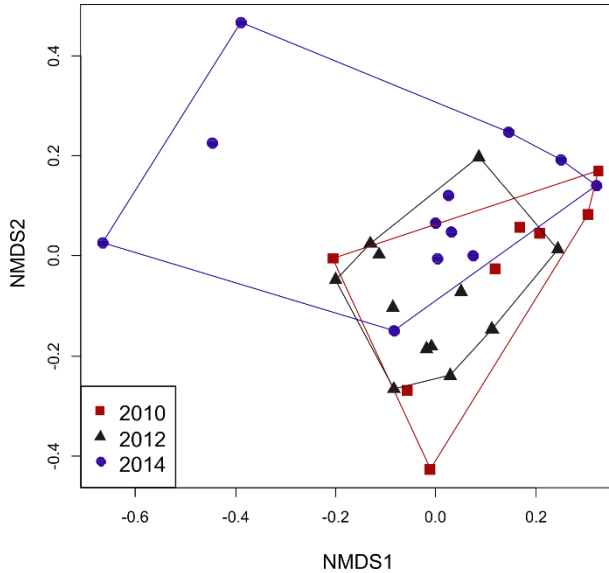


239

240 Figure 4. Whittaker diagram showing the relative abundance of the species (Y axis) of
 241 Polycystine (Radiozoa) by species richness, ordered in the abscissa in descending
 242 sequence of importance for the three years of collection in the vicinity of the Rocas Atoll
 243 (Brazil).

244

245 With the construction of the nMDS we can observe 3 groupings of points based
 246 on the density difference of the organisms in the stations between the years, the distance
 247 between the points of 2014 and 2010 is greater comparatively than any other association.
 248 This means that these were the least similar years. It can be observed that all points
 249 referring to 2012 are superimposed on those of 2010 or 2014, showing that this year is
 250 statistically like the other two years sampled. 2014 shows greater variation between their
 251 points, while in 2012 the points are closer, suggesting that the variation of Radiozoa
 252 density of the stations was lower than in the other years (Figure 5).



253

254 Figure 5. Non-metric multidimensional scaling (nMDS) showing groupings based on
 255 Polycystine density difference between the years in the Rocas Atoll (Brazil).

256

257 Table 3 shows the average variation of the environmental parameters between the
 258 years compared to the average density of Radiozoa Polycystine. The average density of
 259 the order was higher in the year 2014, and in this year the nutrients NO₃, PO₄ and SiO₂
 260 also had the largest medias, mainly SiO₂ that ranged from 1.04 µM in 2010 to 3.76 µM in
 261 2014. The parameters temperature and fluorescence were higher in the year 2010, as well
 262 as the highest chlorophyll-a value (0.68 mg.m⁻³) (Table 3).

263 Table 2. Environmental parameters (mean ± SD) and Total Radiolaria Polycystine in the
 264 vicinity of the Rocas Atoll (Brazil).

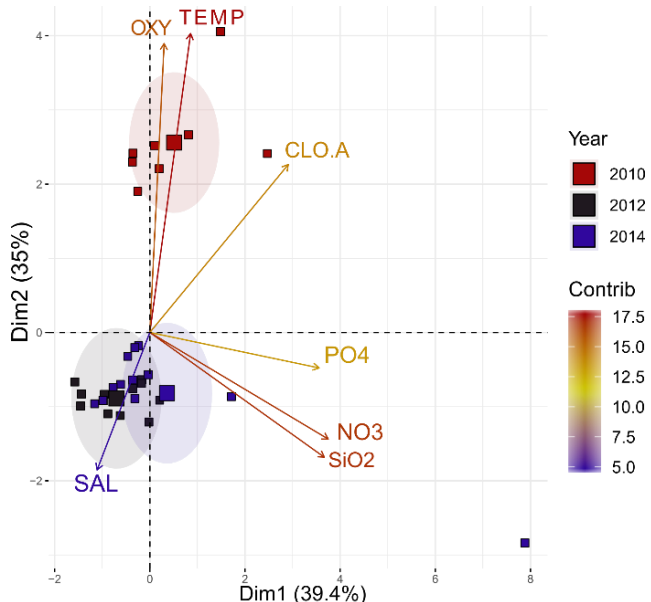
Factors	2010	2012	2014
Temperature (C°)	27.87±0.12	26.28±0.05	26.50±0.03
Fluorescence	0.59±0.18	0.23±0.08	0.19±0.03
Salinity (PSU)	36.04±0.31	36.20±0.01	36.12±0.24
Oxygen (ml.L ⁻¹)	4,82±0.33	4,10±0.02	3,86±0.03
NO ₃ (µM)	1.14±0.36	1.57±0.083	2.06±3.73
PO ₄ (µM)	0.11±0.09	0.09±0.05	0.12±0.08
SiO ₂ (µM)	1.04±0.59	1.34±0.63	3.76±5.51
Chlorophyll a (mg.m ⁻³)	0.68±0.18	0.19±0.11	0.49±0.24
Radiolaria Polycystina total (org.m ⁻³)	139.57	70.08	155.94

265

266

267

268 The Principal Component Analysis shows the grouping of the stations according
 269 to the discrepancy between the values of the environmental variables. We can observe
 270 therefore that, the confidence intervals of 95% in relation to the mean of the years 2012
 271 and 2014, represented by the circles, are overlapping, suggesting that these years are
 272 statistically similar and different from 2010 (Figure 6).



273
 274 Figure 6. Principal component Analysis (PCA) of environmental parameters between the
 275 years in the Rocas Atoll (Brazil).
 276

277 Main component 1 explains 35% of the variation of the data, and in this axis the
 278 parameter that best explains this variation is the temperature, which showed greater
 279 difference between the years and the highest values were observed in 2010. Other
 280 important parameters were oxygen and chlorophyll- α , with higher values in 2010 than in
 281 the other years. Salinity was slightly higher in 2012 and 2014, but its importance was low
 282 in relation to the others, that is, its value does not vary widely between the points and
 283 years studied. 2012 and 2014, are better distributed in the lower quadrant. This shows that
 284 the values of SiO₂, NO₃ and PO₄ were higher in these years and mainly in 2014 (Figure
 285 6).

286 The analysis of the indicator value (IndVal) showed that from the 76 species
 287 analyzed less than 10% showed significant indication levels. Five of these were exclusive
 288 of 2014, and the species *Lophophæna hispida* (indval = 71.6%) was the one that
 289 presented the highest indicator value of this year and was indicative of higher levels of

290 nutrients. Only the species *Spongodiscus resurgens* was related to the year 2010, with
 291 75.3% of indicative value of higher temperatures and chlorophyll-a, and no species was
 292 related to the year 2012. *Zygomircus productus* (indval = 77.5%) was simultaneously
 293 related to the years 2010 and 2014 (Table 3).

294 Table 3 - Individual indication value (IndVal) of Polycystine (Radiozoa) from the
 295 surroundings of the Rocas Atoll (Brazil), in the years 2010, 2012 and 2014.

Year	Taxa	A	B	Stat	p.value
2010	<i>Spongodiscus resurgens</i>	0.9076	0.6250	0.753	0.009
2014	<i>Lophophaeina hispida</i>	1	0.5833	0.764	0.002
	<i>Acanthodesmia viniculata</i>	1	0.5000	0.707	0.002
	<i>Dictyophimus</i> sp.	1	0.5000	0.707	0.002
	<i>Amphispyris toxarium</i>	1	0.4167	0.645	0.017
	<i>Tholospyris</i> sp.	1	0.3333	0.577	0.025
2010+2014	<i>Zygomircus productus</i>	1	0.6	0.775	0.011

296

297 **4 Discussion**

298 The phylum Radiozoa is very representative within the Microzooplankton and
 299 important in terms of density and abundance (SHERR; SHERR; PAFFENHÖFER, 1986).
 300 The species found in this study were collected in the vicinity of the Rocas Atoll, in the
 301 superficial and sub superficial section of the water column. According to Dennett et al.
 302 (2002), the greatest abundance and diversity of the phylum Radiozoa, which may present
 303 up to 20.000 colonies m⁻³ of the order Polycystine is concentrated in this layer
 304 (CAMACHO; FUNDACIÓN DE HISTORIA NATURAL FÉLIX DE AZARA, 2008). It
 305 is also in this layer that we find the greatest complexity in the distribution structure of the
 306 species (KLING, 1979), even though some studies also show that they may be more
 307 abundant below 200 meters deep (KRŠINIĆ, 1998; KRŠINIĆ e GRBEC, 2002). In
 308 Polycystine we find a wide range in the vertical distribution, which can occur in greater
 309 abundance from 50 to 400 m deep (BOLTOVSKOY, 1998, 1999; ZASKO; RUSANOV,
 310 2005).

311 In spite of this, the observed richness (76) was low compared to other studies
 312 carried out around the world, including the ones made in nearby areas, also located in the
 313 Atlantic Oligotrophic region, such as the archipelago of São Pedro and São Paulo, where
 314 it was recorded 72 taxa close to the archipelago (COSTA; SANTANA; NEUMANN-

315 LEITÃO, 2018). Boltovskoy and Riedel (1980) observed 98 taxa in the Southwestern
316 Atlantic. In the current of California, Boltovskoy and Riedel (1987) found 158 species
317 and Kling and Boltovskoy (1995) registered 136 species. Boltovskoy (2017) in a broad
318 review between 30° N and 30° S in the global oceans quoted 151 taxa. Welling et al.
319 (1996) found 109 taxa in Tropical Pacific, while McMillen and Casey (1978) in a study
320 conducted in the Gulf of Mexico and Caribbean Sea identified 92 taxa. For the Adriatic
321 Sea, Kršinić and Kršinić (2012) recorded 78 species.

322 In this study, the Polycystine class was represented by two orders, Nassellaria and
323 Spumellaria, commonly found in Radiolaria studies. Different from that observed by
324 Vergara *et al.* (2008) and Zapata and Olivares (2005), the order that presented the greatest
325 richness was Nassellaria. This order presents two forms of feeding, the active form
326 (SUGIYAMA *et al.*, 2008) and symbiotic associations, especially dinoflagellates
327 (ZHANG *et al.*, 2018). Therefore its distribution is related to this behavior, concentrating
328 its greatest abundance and diversity in tropical surface waters (BOLTOVSKOY;
329 CORREA, 2016; BOLTOVSKOY, 2017) where light availability favors the development
330 of symbionts. In Nassellaria, the family that presented the highest number of taxa was
331 Theoperidae, however, the most representative family in density was Plagiocanthidae
332 with prominence of the species *Lophophphaena hispida*. This species was an indicator for
333 the year 2014 (high nutrients), and it is characterized by having wide distribution in
334 tropical oceanic areas (BENSON, 1966).

335 The order Spumellaria, on the other hand, presented higher density having high
336 adaptive capacity in various environmental conditions (ISHITANI *et al.*, 2012). In the
337 North Pacific, for example, it keeps on the order of 400 cel.m⁻³ (ISHITANI;
338 TAKAHASHI, 2007). It is a highly diverse order (DE WEVER *et al.*, 2003), that presents
339 specific geographic provinces in tropical regions and is distributed in vertical layers that
340 can be from the surface to very deep regions (YAMASHITA; TAKAHASHI; FUJITANI,
341 2002; ISHITANI *et al.*, 2008). Studies show that this order is subdivided into two groups
342 based on temperature and habitat; a portion occupies superficial waters (upper surface 0–
343 40 m and lower surface 40–200 m) at high latitudes and are submerged in low latitudes
344 and the other occupies tropical and subtropical surface waters (ISHITANI *et al.*, 2012).
345 In this order, two families were highlighted, Actinommidae that presented the largest

346 number of species, with 83% of them occurring exclusively in 2014; and the
347 Spongodiscidae family with the highest density within the order, where the species
348 *Dictyocoryne truncatum* represented more than 50% of this value and occurred
349 exclusively in the year 2014. Most species of this family occur in tropical surface waters,
350 however, *Spongodiscus resurgens*, that presented high density in this study, resides in
351 subtropical surface waters (KLING, 1979; BOLTOVSKOY; RIEDEL, 1987; KLING;
352 BOLTOVSKOY, 1995).

353 The total density variation of Polycystine was not statistically significant in
354 relation to the day and night periods but was in relation to the years. The individual
355 indication value (IndVal) of Polycystine (Radiozoa) for the years showed seven indicator
356 species, with five of them from the year 2014, one from 2010 and one from 2010 and
357 2014. The indicator species of 2014, *Lophophaena hispida* is widely distributed in
358 tropical seas with preference for oceanic waters (BENSON, 1966); *Acanthodesmia*
359 *viniculata* is cosmopolitan and its highest frequency was observed in a resurgence region,
360 besides having greater affinity for oceanic waters and was not reported in high latitudes
361 (BENSON, 1966). *Amphispyris toxarium* is tropical and may vary in temperate regions
362 of all seas and has not been reported in polar latitudes (BENSON, 1966). In 2010, the
363 indicator species was *Spongodiscus resurgens*, a species cited as cosmopolitan
364 (HAECKEL, 1887; BOLTOVSKOY; RIEDEL, 1980; BOLTOVSKOY, 1998). The
365 indicator species from the years 2010 and 2014 was the *Zygocircus productus*, it is very
366 rare in the northern third of the Gulf of California (BENSON, 1966). This species is
367 considered cosmopolitan, occurring in surface waters in the Atlantic and Pacific Oceans,
368 as well as in the Mediterranean Sea; and, it was not reported at high latitudes (HAECKEL,
369 1887).

370 The year 2014 showed the highest values of density and richness, still, the
371 distribution pattern of individuals among species was intermediated concerning 2012,
372 which was higher and 2010, which was lower. Boltovskoy (1999) declares that there is a
373 high degree of homogeneity of the distribution of organisms among the species close to
374 the tropics. In general, the distribution of phylum is inversely linked to the environmental
375 stability of temperature and salinity.

376 In this study, both the density, species richness and the environmental parameters
377 analyzed showed remarkable differences between the years, mainly between 2010 and
378 2014. The year 2012 was intermediate to the other years, and, in relation to the variation
379 of the environmental parameters indicated in the principal component analysis, it was
380 more like 2014. In this analysis, the temperature was the most explanatory parameter for
381 this temporal discrepancy, with 2010 presenting the highest values. This difference
382 interferes directly in the pattern of distribution of species between the years, since, the
383 influence of physical and biological factors in the phylum Radiozoa acts similarly to most
384 zooplankton groups. For the order Polycystina, factors such as temperature, salinity and
385 primary production are considered the most important ones (CAMACHO; FUNDACIÓN
386 DE HISTORIA NATURAL FÉLIX DE AZARA, 2008).

387 Therefore, the greatest diversities observed for the group occur in medium-low
388 latitudes, decreasing slightly towards the equator and drastically towards the poles
389 (BOLTOVSKOY; RIEDEL, 1987; BOLTOVSKOY, 1999), achieving maximum
390 diversity in tropical waters (CAMPBELL; HOLM, 1957), where the incidence of solar
391 rays is more direct and the surface temperatures of seawater can overcome the 30°C.

392 During the study period, we observed a variation of 1.59°C in the average
393 temperature of the surface layer of water between the years 2010 and 2012, 1.37°C
394 between 2010 and 2014 and 0.22°C between 2012 and 2014. This variation, in the average
395 temperature is common in the face of El Niño-South Oscillation phenomena (ENSO). In
396 this period of time it was recorded a phenomenon of positive anomalies (El Niño) that
397 began in 2009 and lasted until 2010, with moderate intensity, that is, the temperature
398 variation on the surface of the Sea (TSM) is in the range of 1.5 and 1°C. After this
399 occurrence, a phenomenon of negative anomalies (La Niña) was also moderate, with a
400 variation of TSM higher than -1.5°C but lower than -1.0°C, which lasted until the
401 beginning of 2012 (DAHLMAN, 2019); 2014 was a neutral year, however, preceded a
402 strong-intensity El Niño event. Jales et al. (2015) observed, in the same area, in the year
403 2010, a greater rupture of the thermohaline structure. These variations were probably
404 determinant in the population dynamics of Polycystine, since even moderate temperature
405 variations exert an effect on abundances and composition of the microplankton
406 community (CARON; HUTCHINS, 2013).

407 Other characteristics that differentiated the years and possibly influenced the
408 variability in density and richness were the values of chlorophyll- α and dissolved oxygen
409 that was higher in 2010 and of the nutrients NO₃, PO₄ and SiO₂, higher in 2014. One of
410 the most important nutrients for radiolarians is silica. This component has structural
411 function and is one of the factors that makes this group an important source of
412 oceanographic, biostratigraphy and paleoenvironmental knowledge (VERGARA;
413 MARCHANT S. M; GIGLIO, 2008). Silica is used in the formation of the skeleton of
414 these organisms and is taken directly from the water (KOCHHANN, 2015). Therefore, it
415 is expected that the availability of this resource is conducive to the development of this
416 group. In this sense, the high density and diversity observed in 2014 may be directly
417 related to the highest silica values during this year. According to Abelmann and Gowing
418 (1997), the variability of temperature, silica and other macronutrients can dictate the
419 variation of abundance in the Radiolaria communities, which makes them possible
420 indicators of paleoproductivity (KOCHHANN, 2015).

421 Although some factors made 2010 favorable to the development of
422 microzooplankton, attested by the high density observed this year (Basílio-Dantas et al.,
423 in press), the Radiozoa did not develop as expected; and, similar discrepancy was also
424 observed by Costa et al. (2018) in the Archipelago of São Pedro and São Paulo. One of
425 the factors that may have influenced this response, in addition to the lower availability of
426 silica, was possibly the competition of these with diatomaceous by the same resources
427 (RACKI, 1999).

428 The presence of Rocas Atoll, as already seen, interferes locally in the structure of
429 currents, which consequently reflects on the availability of resources and increment of
430 chlorophyll- α (SAMPAIO DE SOUZA et al., 2013). This region is bathed by waters of
431 low nutrient concentration, the South Atlantic Central water (SACW) that is transported
432 by the South Equatorial current (SEC) (STRAMMA; SCHOTT, 1999). Jales et al. (2015)
433 observed, for the year 2010, disturbance due to turbulent processes generated by the
434 passage of the current in the Rocas Atoll, despite not having found evidence of resurgence
435 of nutrient-rich waters. In this year, as well as in 2014, the velocity of the SEC was
436 maximal. This fact may have favored the greater nutritional contribution, not by the
437 resurgence, but by the vortices formed on the opposite side of the atoll and by the entrance

438 of the current and greater washing of the submerged areas close to the atoll (NEUMANN-
 439 LEITÃO et al., 1999; MORATO et al., 2010; MACEDO-SOARES; CARVALHO;
 440 FREIRE, 2011). These areas are rich in nutrients from animal residues abundantly
 441 produced in the coralline reefs and surroundings (GOVE et al., 2016), generating an
 442 environment favorable to increased productivity. Radiozoa presents greater abundance in
 443 oceanic areas rich in nutrients and resurgence (BOLTOVSKOY, 2005). Furthermore,
 444 Radiozoa groups have already been described in oligotrophic waters, in associations with
 445 water masses that differed in temperature and nutrients (BJØRKLUND et al., 1998;
 446 BOLTOVSKOY, 1998, 1999). Thus, fossil debris from Radiolaria can also provide
 447 valuable clues to the ecological sceneries (SANDOVAL, 2018).

448 Observing the values of richness and density presented we can deduce that the
 449 Polycystine class was more successful in the year 2014. Intrinsic characteristics of this
 450 year, as high values of available nutrients contributed positively to the abundance of this
 451 class. Moreover, it is important to emphasize that some characteristics of each species
 452 (such as morphological, mechanical and physiological properties) may be more sensitive
 453 to nutrient availability than to other environmental parameters, such as salinity and/or
 454 temperature.

455 References

- 456 ABELMANN, A.; GOWING, M. M. Spatial Distribution Pattern of Living Polycystine
 457 Radiolarian Taxa — Baseline Study for Paleoenvironmental Reconstructions in the
 458 Southern Ocean (Atlantic Sector). **Marine Micropaleontology**, v. 30, n. 1–3, p. 3–28,
 459 mar. 1997.
- 460 AFANASIEVA, M. S. et al. Radiolarians in the geological record. **Paleontological**
 461 **Journal c/c of Paleontologicheskii Zhurnal**, v. 39, 2005.
- 462 ANDERSON, O. R. **Radiolaria**. New York, NY: Springer New York, 1983.
- 463 BENSON, R. N. **Recent Radiolaria from the Gulf of California**. 1966. University of
 464 Minnesota, 1966.
- 465 BJØRKLUND, K. R. et al. Radiolarian Faunal Provinces in Surface Sediments of the
 466 Greenland, Iceland and Norwegian (GIN) Seas. **Marine Micropaleontology**, v. 35, n.
 467 1–2, p. 105–140, nov. 1998.
- 468 BOEHLERT, G. W.; GENIN, A. A review of the effects of seamounts on biological
 469 processes. In: KEATING, B. H. et al. (Ed.). **Seamounts Islands and Atolls**.
 470 Geophysical Monograph. [s.l: s.n.]p. 319–334.

- 471 BOLTOVSKOY, D. Classification and distribution of South Atlantic recent polycystine
472 Radiolaria. **Palaeontologia Electronica**, v. 1, n. 2, p. 116, 1998.
- 473 BOLTOVSKOY, D. Radiolaria Polycystina. In: BOLTOVSKOY, D. (Ed.). **South**
474 **Atlantic Zooplankto**. [s.l.] The Netherlands: Backhuys Publishers, 1999. p. 149–212.
- 475 BOLTOVSKOY, D. et al. First Record of a Brackish Radiolarian (Polycystina):
476 Lophophena Rioplatensis n. Sp. in the Rio de La Plata Estuary. **Journal of Plankton**
477 **Research**, v. 25, n. 12, p. 1551–1559, 1 dez. 2003.
- 478 BOLTOVSKOY, D. **Zooplankton of the South Atlantic ocean : a taxonomic**
479 **reference work with identification guides and spatial distribution patterns**.
480 Amsterdam: ETI Bioinformatics, 2005.
- 481 BOLTOVSKOY, D. et al. World atlas of distribution of living radiolaria.
482 **Palaeontologia Electronica**, v. 13, n. 3, p. 1–230, 2010.
- 483 BOLTOVSKOY, D. Vertical Distribution Patterns of Radiolaria Polycystina (Protista)
484 in the World Ocean: Living Ranges, Isothermal Submersion and Settling Shells.
485 **Journal of Plankton Research**, v. 39, n. 2, p. 330–349, 1 mar. 2017.
- 486 BOLTOVSKOY, D.; ALDER, V. A.; ABELMANN, A. Annual Flux of Radiolaria and
487 Other Shelled Plankters in the Eastern Equatorial Atlantic at 853 m: Seasonal Variations
488 and Polycystine Species-Specific Responses. **Deep Sea Research Part I:**
489 **Oceanographic Research Papers**, v. 40, n. 9, p. 1863–1895, set. 1993.
- 490 BOLTOVSKOY, D.; CORREA, N. Biogeography of Radiolaria Polycystina (Protista)
491 in the World Ocean. **Progress in Oceanography**, v. 149, p. 82–105, dez. 2016.
- 492 BOLTOVSKOY, D.; RIEDEL, W. R. Polycystine Radiolaria from the southwestern
493 Atlantic Ocean plankton. **Rev. Esp. Micropaleontol**, v. 12, n. 9, 1980.
- 494 BOLTOVSKOY, D.; RIEDEL, W. R. Polycystine Radiolaria of the California Current
495 Region: Seasonal and Geographic Patterns. **Marine Micropaleontology**, v. 12, p. 65–
496 104, jan. 1987.
- 497 BRASIL; MMA. **Plano de Manejo para a Reserva Biológica do Atol das Rocas.**
498 Brasília. 1. ed. Brasília, DF: Instituto Chico Mendes de Conservação da
499 Biodiversidade, 2007. v. 1
- 500 BRAUN, A. et al. First Early Cambrian Radiolaria. **Geological Society, London,**
501 **Special Publications**, v. 286, n. 1, p. 143–149, 2007.
- 502 CAMACHO, H. H.; FUNDACIÓN DE HISTORIA NATURAL FÉLIX DE AZARA
503 (ed.). **Los invertebrados fósiles. T. 1: ...** 1. ed. Buenos Aires: FHN [u.a.], 2008.
- 504 CAMPBELL, A. S.; HOLM, E. A. Radiolaria. In: **Geological Society of America**
505 **Memoirs**. [s.l.] Geological Society of America, 1957. 67V2p. 737–744.

- 506 CARON, D. A.; HUTCHINS, D. A. The Effects of Changing Climate on
 507 Microzooplankton Grazing and Community Structure: Drivers, Predictions and
 508 Knowledge Gaps. **Journal of Plankton Research**, v. 35, n. 2, p. 235–252, 1 mar. 2013.
- 509 CHEW, L.-L. et al. Vertical Migration and Positioning Behavior of Copepods in a
 510 Mangrove Estuary: Interactions between Tidal, Diel Light and Lunar Cycles.
 511 **Estuarine, Coastal and Shelf Science**, v. 152, p. 142–152, jan. 2015.
- 512 CHUVASHOV, B. I. et al. Radiolarians in the Polyfacies Late Paleozoic Formations of
 513 the Fore Urals Marginal Foredeep, Stratigr. **Geol. Korrelaytsiya**, v. 7, n. 6, p. 41–55,
 514 1999.
- 515 COSTA, A. E. S. F. D.; SANTANA, J. R. D.; NEUMANN-LEITÃO, S. Changes in
 516 microplanktonic protists assemblages promoted by the thermocline induced
 517 stratification around an oceanic archipelago. **Anais da Academia Brasileira de**
 518 **Ciências**, v. 90, n. 2 suppl 1, p. 2249–2266, ago. 2018.
- 519 DAHLMAN, L. **News & Features | NOAA Climate.gov**. Disponível em:
 520 <<https://www.climate.gov/news-features/understanding-climate/climate-variability-oceanic>>. Acesso em: 8 out. 2019.
- 522 DE WEVER, P. et al. Diversity of Radiolarian Families through Time. **Bulletin de la**
 523 **Societe Geologique de France**, v. 174, n. 5, p. 453–469, set. 2003.
- 524 DENNETT, M. R. Video plankton recorder reveals high abundances of colonial
 525 Radiolaria in surface waters of the central North Pacific. **Journal of Plankton**
 526 **Research**, v. 24, n. 8, p. 797–805, 1 ago. 2002.
- 527 DOTY, M. S.; OGURI, M. The Island Mass Effect. **ICES Journal of Marine Science**,
 528 v. 22, n. 1, p. 33–37, 1 out. 1956.
- 529 GENIN, A. Bio-Physical Coupling in the Formation of Zooplankton and Fish
 530 Aggregations over Abrupt Topographies. **Journal of Marine Systems**, 14 maio 2004.
 531 Disponível em: <<https://linkinghub.elsevier.com/retrieve/pii/S0924796304001150>>. Acesso em: 7 out. 2019.
- 533 GOES, C. A. **Análise da dispersão de larvas de lagostas no Atlântico Tropical a**
 534 **partir de correntes geostróficas superficiais derivadas por satélites**. 2006. Instituto
 535 Nacional de Pesquisas Espaciais, São José dos Campos, 2006.
- 536 GONZÁLEZ-QUIRÓS, R. et al. Ichthyoplankton Distribution and Plankton Production
 537 Related to the Shelf Break Front at the Avilés Canyon. **ICES Journal of Marine**
 538 **Science**, v. 60, n. 2, p. 198–210, 1 jan. 2003.
- 539 GOVE, J. M. et al. Near-Island Biological Hotspots in Barren Ocean Basins. **Nature**
 540 **Communications**, v. 7, n. 1, p. 10581, abr. 2016.
- 541 HAECKEL, E. H. P. A. **Report on the Radiolaria collected by H.M.S. Challenger**
 542 **during the years 1873-76**. [Edinburgh : Eyre & Spottiswoode, 1887.]

- 543 ISHITANI, Y. et al. Vertical and Geographic Distribution of selected Radiolarian
 544 Species in the North Pacific. ***Micropaleontology***, v. 54, n. 1, p. 27–39, 2008.
- 545 ISHITANI, Y. et al. Two Distinct Lineages in the Radiolarian Order Spumellaria
 546 Having Different Ecological Preferences. ***Deep Sea Research Part II: Topical Studies***
 547 in ***Oceanography***, v. 61–64, p. 172–178, fev. 2012.
- 548 ISHITANI, Y.; TAKAHASHI, K. The Vertical Distribution of Radiolaria in the Waters
 549 Surrounding Japan. ***Marine Micropaleontology***, v. 65, n. 3–4, p. 113–136, dez. 2007.
- 550 ITAKI, T.; BJORKLUND, K. R. Conjoined Radiolarian Skeletons (Actinommidae)
 551 from the Japan Sea Sediments. ***Micropaleontology***, v. 53, n. 5, p. 371–389, 1 set. 2007.
- 552 JALES, M. C. et al. Phytoplankton biomass dynamics and environmental variables
 553 around the Rocas Atoll Biological Reserve, South Atlantic. ***Brazilian Journal of***
 554 ***Oceanography***, v. 63, n. 4, p. 443–454, dez. 2015.
- 555 KIKUCHI, R. K. P. Atol das Rocas, Litoral do Nordeste do Brasil - Único atol do
 556 Atlântico Sul Equatorial Ocidental. In: SCHOBENHAUS, C. et al. (Ed.). ***Sítios***
 557 ***Geológicos e Paleontológicos do Brasil***. 1. ed. Brasilia: DNPM/CPRM - Comissão
 558 Brasileira de Sítios Geológicos e Paleobiológicos (SIGEP), 2002. 1p. 379–390.
- 559 KLING, S. A. Vertical Distribution of Polycystine Radiolarians in the Central North
 560 Pacific. ***Marine Micropaleontology***, v. 4, p. 295–318, jan. 1979.
- 561 KLING, S. A.; BOLTOVSKOY, D. Radiolarian Vertical Distribution Patterns across
 562 the Southern California Current. ***Deep Sea Research Part I: Oceanographic Research***
 563 ***Papers***, v. 42, n. 2, p. 191–231, fev. 1995.
- 564 KOCHHANN, K. G. D. Radiolários: estado do conhecimento e aplicações às
 565 geociências. ***Terrae Didatica***, v. 7, n. 1, p. 18, 29 jun. 2015.
- 566 KRŠINIĆ, F. Vertical Distribution of Protozoan and Microcopepod Communities in the
 567 South Adriatic Pit. ***Journal of Plankton Research***, v. 20, n. 6, p. 1033–1060, 1998.
- 568 KRŠINIĆ, F.; GRBEC, B. Some distributional characteristics of small zooplankton at
 569 two stations in the Otranto Strait (Eastern Mediterranean). ***Hydrobiologia***, v. 482, n.
 570 1/3, p. 119–136, 2002.
- 571 KRŠINIĆ, F.; KRŠINIĆ, A. Radiolarians in the Adriatic Sea plankton (Eastern
 572 Mediterranean). ***Acta Adriatica : International journal of Marine Sciences***, v. 53, n.
 573 2, p. 189–211, 2012.
- 574 LAZARUS, D. et al. An evaluated list of Cenozoic-Recent radiolarian species names
 575 (Polycystinea), based on those used in the DSDP, ODP and IODP deep-sea drilling
 576 programs. ***Zootaxa***, v. 3999, n. 3, p. 301, 11 ago. 2015.
- 577 LONGHURST, A. R.; PAULY, D. ***Ecologia de oceanos tropicais***. 1. ed. [s.l: s.n.]
- 578 MACEDO-SOARES, L. C. P.; CARVALHO, M.; FREIRE, A. S. Variabilidade
 579 temporal e espacial da temperatura superficial do mar e da clorofila-a no entorno do

- 580 Arquipélago São Pedro e São Paulo e seus efeitos na comunidade ictioplanctônica. In:
 581 Anais XV Simpósio Brasileiro de Sensoriamento Remoto, **Anais...** In: XV. 2011.
- 582 MCMILLEN, K. J.; CASEY, R. E. Distribution of Living Polycystine Radiolarians in
 583 the Gulf of Mexico and Caribbean Sea, and Comparison with the Sedimentary Record.
 584 **Marine Micropaleontology**, v. 3, n. 2, p. 121–145, jun. 1978.
- 585 MEDEIROS, C. et al. Hydrography and phytoplankton biomass and abundance of
 586 North-East Brazilian waters. **Archive of Fishery and Marine Research**, v. 47, n. 2–3,
 587 p. 133–151, 1999.
- 588 MORATO, T. et al. Seamounts Are Hotspots of Pelagic Biodiversity in the Open
 589 Ocean. **Proceedings of the National Academy of Sciences**, v. 107, n. 21, p. 9707–
 590 9711, 25 maio 2010.
- 591 MUNK, P. et al. Larval and Small Juvenile Cod *Gadus Morhua* Concentrated in the
 592 Highly Productive Areas of a Shelf Break Front. **Marine Ecology Progress Series**, v.
 593 125, p. 21–30, 1995.
- 594 NAZAROV, B. B.; PETRUSHEVSKAYA, M. G. Class Radiolaria (Radiolarians). In:
 595 **Manual on Micropaleontology**. [s.l: s.n.]p. 111–158.
- 596 NEUMANN-LEITÃO, S. et al. Mesozooplankton biomass and diversity in coastal and
 597 oceanic waters off North-Eastern Brazil. **Archive of fishery and marine research**, v.
 598 47, n. 2–3, p. 153–165, 1999.
- 599 PINTO, N. C. T.; MAFALDA, P.; SANTOS, A. T. Caracterização do Zooplâncton da
 600 Reserva Biológica do Atol das Rocas, na Campanha de Março-1991 (Verão). **Tropical
 601 Oceanography**, v. 25, n. 1, 30 jun. 1997.
- 602 RACKI, G. Silica-Secreting Biota and Mass Extinctions: Survival Patterns and
 603 Processes. **Palaeogeography, Palaeoclimatology, Palaeoecology**, v. 154, n. 1–2, p.
 604 107–132, out. 1999.
- 605 ROGERS, A. D. The Biology of Seamounts. In: **Advances in Marine Biology**. [s.l.]
 606 Elsevier, 1994. 30p. 305–350.
- 607 SAMPAIO DE SOUZA, C. et al. Chlorophyll a and Nutrient Distribution around
 608 Seamounts and Islands of the Tropical South-Western Atlantic. **Marine and
 609 Freshwater Research**, v. 64, n. 2, p. 168, 2013.
- 610 SANDIN, M. M. et al. Time Calibrated Morpho-Molecular Classification of Nassellaria
 611 (Radiolaria). **Protist**, v. 170, n. 2, p. 187–208, abr. 2019.
- 612 SANDOVAL, M. I. Miocene to Recent Radiolarians from Southern Pacific Coast of
 613 Costa Rica. **Revista Geológica de América Central**, v. 58, 17 abr. 2018. Disponível
 614 em: <<https://revistas.ucr.ac.cr/index.php/geologica/article/view/32846>>. Acesso em: 8
 615 out. 2019.

- 616 SHERR, E. B.; SHERR, E. B.; PAFFENHÖFER, G.-A. Phagotrophic protozoa as food
617 for metazoans: a «missing» trophic link in marine pelagic food webs? **Marine**
618 **Microbial Food webs**, v. 1, n. 2, p. 61–80, 1986.
- 619 SIOKOU-FRANGOU, I. et al. Plankton in the Open Mediterranean Sea: A Review.
620 **Biogeosciences**, v. 7, n. 5, p. 1543–1586, 18 maio 2010.
- 621 SOARES, M. de O.; LEMOS, V. B.; KIKUCHI, R. K. P. de. Atol das Rocas, Atlântico
622 Sul Equatorial: considerações sobre a classificação do recife biogênico. **Revista**
623 **Brasileira de Geociências**, v. 39, n. 2, p. 238–243, 1 jun. 2009.
- 624 STRAMMA, L.; SCHOTT, F. The mean flow field of the tropical Atlantic Ocean.
625 **Deep-Sea Research II**, v. 49, p. 279–303, 1999.
- 626 STRICKLAND, J. D. H.; PARSONS, T. R. **A Practical Handbook of Seawater**
627 **Analysis**. 2nd edition ed. [s.l.] Fisheries Research Board of Canada, 1972.
- 628 SUGIYAMA, K. et al. Pseudopodial Features and Feeding Behavior of Living
629 Nassellarians Eucyrtidium Hexagonatum Haeckel, Pterocorys Zancleus (Müller) and
630 Dictyocodon Prometheus Haeckel. **Paleontological Research**, v. 12, n. 3, p. 209–222,
631 set. 2008.
- 632 SUZUKI, N.; NOT, F. Biology and Ecology of Radiolaria. In: OHTSUKA, S. et al.
633 (Ed.). **Marine Protists**. Tokyo: Springer Japan, 2015. p. 179–222.
- 634 SUZUKI, N.; OBA, M. Oldest Fossil Records of Marine Protists and the Geologic
635 History Toward the Establishment of the Modern-Type Marine Protist World. In:
636 OHTSUKA, S. et al. (Ed.). **Marine Protists**. Tokyo: Springer Japan, 2015. p. 359–394.
- 637 SWANBERG, N. R.; CARON, D. A. Patterns of Sarcodine Feeding in Epipelagic
638 Oceanic Plankton. **Journal of Plankton Research**, v. 13, n. 2, p. 287–312, 1991.
- 639 VERGARA, O.; MARCHANT S. M, M.; GIGLIO, S. Radiolarios Polycystina
640 (Protozoa: Nassellaria y Spumellaria) Sedimentados En La Zona Centro-Sur de Chile
641 (36°- 43° S). **Gayana (Concepción)**, v. 72, n. 1, jun. 2008.
- 642 WELLING, L. A. et al. Distribution of Polycystine Radiolaria and Their Relation to the
643 Physical Environment during the 1992 El Niño and Following Cold Event. **Deep Sea**
644 **Research Part II: Topical Studies in Oceanography**, v. 43, n. 4–6, p. 1413–1434, jan.
645 1996.
- 646 WEVER, P. D.; FRANCE, S. G. de (ed.). **Radiolarians in the sedimentary record**.
647 Amsterdam: Gordon and Breach Science Publ, 2001.
- 648 WORMS EDITORIAL BOARD. **World Register of Marine Species**. Disponível em:
649 <<http://www.marinespecies.org>>. Acesso em: 8 out. 2019.
- 650 YAMASHITA, H.; TAKAHASHI, K.; FUJITANI, N. Zonal and Vertical Distribution
651 of Radiolarians in the Western and Central Equatorial Pacific in January 1999. **Deep**
652 **Sea Research Part II: Topical Studies in Oceanography**, v. 49, n. 13–14, p. 2823–
653 2862, jan. 2002.

- 654 ZAPATA, J.; OLIVARES, J. RADIOLARIOS (PROTOZOA, ACTINOPODA)
655 SEDIMENTADOS EN EL PUERTO DE CALDERA (27°04' S; 70°51' W), CHILE.
656 **Gayana (Concepción)**, v. 69, n. 1, 2005. Disponível em:
657 <[http://www.scielo.cl/scielo.php?script=sci_arttext&pid=S0717-
658 65382005000100009&lng=en&nrm=iso&tlang=en](http://www.scielo.cl/scielo.php?script=sci_arttext&pid=S0717-65382005000100009&lng=en&nrm=iso&tlang=en)>. Acesso em: 8 out. 2019.
- 659 ZASKO, D. N.; RUSANOV, I. I. Vertical Distribution of Radiolarians and Their Role
660 in Epipelagic Communities of the East Pacific Rise and the Gulf of California. **Biology**
661 **Bulletin**, v. 32, n. 3, p. 279–287, maio 2005.
- 662 ZHANG, L. et al. Modern Shallow Water Radiolarians with Photosynthetic Microbiota
663 in the Western North Pacific. **Marine Micropaleontology**, v. 139, p. 1–27, mar. 2018.

6 ARTIGO 3

INFLUÊNCIA DOS PARÂMETROS AMBIENTAIS NA DISTRIBUIÇÃO DE DINOFLAGELLATA - ATOL DAS ROCAS, BRASIL

Destaques

- Esse trabalho é a primeira contribuição sobre a diversidade de Dinoflagellata para o Atol das Rocas, único no Atlântico tropical ocidental
- Variação de fatores relacionados aos ENOS (El Niño – la Niña) foram atuantes na dinâmica temporal da comunidade de Dinoflagellata, fazendo destes potenciais indicadores de variações climáticas globais
- A ordem Gonyaulacales foi a mais representativa, com alta diversidade
- A presença de grande número de espécies mixotróficas favorecem o sucesso desse grupo no Atol das Rocas

Influência dos parâmetros ambientais na distribuição de Dinoflagellata - Atol das Rocas, Brasil

ARTICLE INFO

Keywords:

Dinophyceae
Oceano Atlântico
Variação temporal
Diversidade
2010 MSC: 86-00

Resumo

Dinoflagelados dominam regiões tropicais e podem se beneficiar de estruturas topográficas distintas. Este trabalho objetivou investigar a dinâmica espaço-temporal dos dinoflagelados no Atol das Rocas. Foram realizadas coletas nos períodos diurno e noturno com arrasto oblíquo (rede 64 µm) nos anos de 2010, 2012 e 2014. Foram identificados 90 taxas. A ordem Gonyaulacales apresentou a maior riqueza com 34 espécies do gênero *Tripos* e 6 do *Ceratium*. Verificou-se diferenças significativas entre anos e períodos. As maiores riqueza, equitabilidade e diversidade foram em 2014 e em 2010 a maior densidade, destacando-se Ceratiaceae. A equitabilidade da noite foi menor e a riqueza maior (79 noite/ 69 dia). 14 espécies foram associadas a 2010, 3 para 2014, nenhuma para 2012, 2 para dia e 5 para noite. Verificou-se variação significativa dos parâmetros ambientais por ano, exceto para nitrato e fosfato. Concluímos que a variação temporal apresentada pelos Dinoflagellata pode estar relacionada às mudanças climáticas, o que os torna potenciais indicadores destes eventos.

1. Introdução

Os Dinoflagellata representam um grupo de grande destaque ecológico no ambiente marinho (Sherr and Sherr, 2007), esse grupo de protozoários planctônicos é caracterizado por possuir célula com dois flagelos diferentes em algum estágio do seu ciclo de vida e/ou um tipo especial de núcleo (dinocarion). É composto por organismos com dimensões que variam entre 5 e 100 µm de diâmetro, ainda que alguns poucos possam ultrapassar 2 mm (Souza et al., 2015). Podem ocorrer em formas unicelulares, multicelulares e coloniais, com células envoltas por placas celulósicas (tecados ou couraçados) ou sem placas (atecados) (Sousa et al., 1999; Foissner and Hawksworth, 2009).

Podem ser encontrados em alta diversidade nas regiões tropicais, principalmente as espécies do gênero *Ceratium* (Taylor et al., 2007). Em Dinoflagellata o termo morfoespécie é comumente utilizado, isso porque várias espécies diferentes possuem morfologia externa semelhante e indivíduos da mesma espécie apresentam diversas variações morfológicas. Taxonomicamente, essa alta plasticidade genotípica a nível genérico e fenotípica a níveis específicos resultou em uma grande quantidade de sinônimas, que quando desconsideradas, dificulta a identificação correta dos indivíduos (Dolan et al., 2006; Taylor et al., 2007). Análises moleculares mostram que um grande número de dinoflagelados simbionte e pertencente ao picoplâncton ainda não foram registradas (Vargas et al., 2015). Diante disto, o número de espécies descritas está em constante modificação, estima-se, portanto, a existência de cerca de 4.500 espécies, entre vivas e fósseis, agrupadas em mais de 550 gêneros, (Saldarriaga and Taylor, 2017). Das 2400 espécies vivas, mais de 80% são marinhas, com domínio das ordens Peridiniales e Gonyaulacales (Taylor et al., 2007; Gómez, 2012).

Uma das características que condiciona a distribuição e sobrevivência dos Dinoflagellata é o uso de diferentes estratégias tróficas que os capacitam a modificar o seu papel ambiental de acordo com a disponibilidade de alimento. Esse grupo engloba uma ampla variedade de espécies e apresentam modos nutricionais diversos, além da heterotrofia e fotoautotrofia, existem espécies que apresentam comportamentos de endosimbiose, fagotrofia, "cleptofototropias", mixotrofia e parasitismo (Taylor, 1987; Gaines and Elbrächter, 1987; Schnepf and Elbrächter, 1992; Taylor et al., 2007; Saldarriaga and Taylor, 2017). Destas, as espécies que realizam a fotossíntese representam cerca da metade dos dinoflagelados (Gómez, 2012), elas são responsáveis por uma enorme produtividade primária, atuando como suporte na base

ORCID(s):

da cadeia alimentar nos oceanos. Além disso, muitas espécies, fotossintéticas ou não, são predadoras importantes do bacteriplâncton, fitoplâncton, protozooplâncton e microcrustáceos (Yang et al., 2004). Outra característica marcante é a capacidade de realizar migrações diurnas entre as camadas d'água dentro da zona eufótica; essa habilidade permite que esses organismos regulem a profundidade em que estão, com o intuito de maximizar a sua capacidade fotossintética (Souza et al., 2015). Neste sentido, este grupo se torna um dos principais componentes na ciclagem de energia da alça microbiana, transferido o que, possivelmente, seria perdido em fonte nutricional nas teias tróficas planctônicas marinhas (Falkowski et al., 2008; Saldarriaga and Taylor, 2017).

A distribuição dos Dinoflagellata está ligada intimamente às variações de temperatura da água (Taylor et al., 2007) e pode ser denominada de cosmopolitismo latitudinal modificado onde as mesmas morfoespécies ocorrem em zonas climáticas similares em ambos os hemisférios (Taylor, 2004). Muitos trabalhos mostram que além das diferentes estratégias tróficas e variações da temperatura, as florações, composição e sucessão de espécies de Dinoflagellata ocorrem sobre a influência direta de fatores ambientais, como a incidência luminosa, salinidade e principalmente concentrações de nitrogênio (N) e de fósforo (P) (Song, 2010; Abdenadher et al., 2012; Somsap et al., 2015). Em oceanos oligotróficos, esse conjunto de fatores se torna mais evidente no entorno de estruturas topográficas diferenciadas, como a plataforma continental, montes submarinos, ilhas e atóis, isso ocorre porque essas estruturas atuam como obstáculo para a passagem de ventos e correntes, gerando um fluxo de recirculação e ressurgência, que leva ao abastecimento nutricional de regiões iluminadas, elevando a produtividade local (Fonteneau, 1991; Neumann-Leitão et al., 1999; González-Quirós et al., 2003; Lessa et al., 1999; Morato et al., 2010).

No Atlântico Sul equatorial encontra-se uma área de grande importância dentro deste contexto, o Atol das Rocas, atualmente formado por uma camada de calcário biogênico (Kikuchi, 2002), compõe uma das partes expostas das montanhas subaquáticas da cadeia de Fernando de Noronha (Gorini and Bryan, 1974; Villaça and Jensen, 2006; Soares et al., 2009). Estudos recentes vêm mostrando que o Atol é uma área rica em processos de microescala hidrográfica, ocorrendo zonas de turbulência que promovem a mistura vertical da camada d'água (Cordeiro et al., 2013; Tchamabi et al., 2017; Jales, 2015), que mesmo não atingindo a superfície do mar, influencia a estrutura da rede alimentar, favorecendo os pulsos de nutrientes e gerando aumento da produtividade local (Neumann-Leitão et al., 1999; Becker, 2001; Tchamabi et al., 2017).

Dessa forma, o Atol das Rocas, além de ser o único no Atlântico Sul, representa uma área em potencial para o desenvolvimento das comunidades de Dinoflagellata e de outros grupos microscópicos que são a base da teia alimentar marinha, o que o torna um importante foco para estudos ecológicos. Para tanto, o presente trabalho objetivou investigar a influência dos parâmetros ambientais na dinâmica espacial e temporal dos dinoflagelados assim como a sua diversidade no entorno do Atol das Rocas, Nordeste do Brasil.

2. Material e Métodos

2.1. Área de estudo

O Atol das Rocas, o único atol do oceano Atlântico, é uma área de importância geológica, paleontológica e ecológica, oferecendo suporte e proteção para uma incontável variedade de seres vivos (Kikuchi, 2002), situa-se a aproximadamente 148 km a oeste do Arquipélago de Fernando de Noronha ($3^{\circ}52' S$; $33^{\circ}49' W$) (Figura 1). Está localizado no topo de uma cadeia subaquática de montanhas com base à 4000 m de profundidade. O Atol tem formato elíptico, aproximadamente circular, e é coberto por recife algálico ocupando 5.5 km^2 , com abertura conectando sua lagoa central ao mar aberto: seu eixo mais comprido (E-W) mede aproximadamente 3.7 km e o mais curto (N-S) 2.5 km (Soares et al., 2009). Um clima equatorial quente prevalece na área de estudo, com ventos alísios mais frios vindos do sudoeste. A temperatura média anual varia entre 28 a 32 °C (Pinto et al., 1997) e a temperatura média da superfície de água é

27.7 °C. A estação chuvosa acontece entre Março e Julho, com precipitação média mensal de 860 mm (Soares et al., 2009). A umidade relativa do ar é considerada elevada durante todo o ano (normalmente acima de 80%).

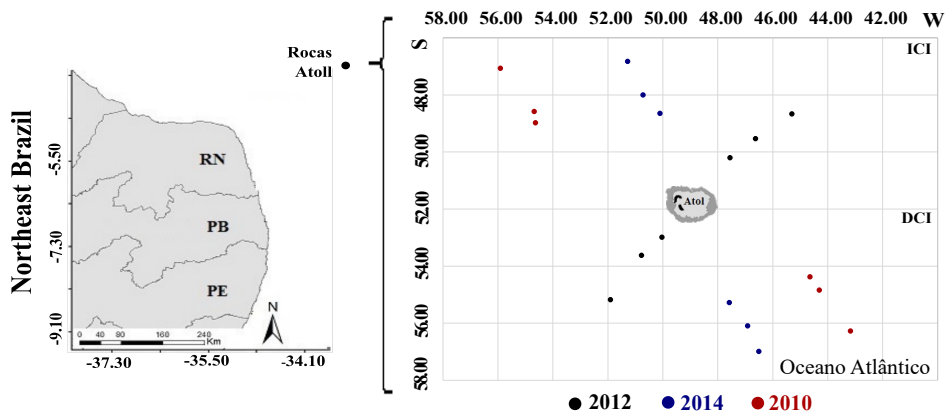
A área de estudo está localizada dentro da Reserva do Atol das Rocas, a primeira área de proteção ambiental marinha criada por lei federal, em 1977 (BRASIL, 2007), atualmente gerenciada pelo Instituto Brasileiro do Meio Ambiente e dos Recursos Naturais Renováveis (IBAMA)

As águas que circundam o Atol das Rocas são caracterizadas pela baixa concentração nutricional, com fluorescência raramente excedendo 50 mg⁻³ (Medeiros et al., 1999). A corrente sul equatorial (CSE), que possui velocidade média de 30 cm s⁻¹, influencia o Atol e apresenta um sentido constante Leste-Oeste (Goes, 2006). Entre junho e setembro, período de inverno no hemisfério sul, ventos de sudeste são mais frequentes e variam em velocidade entre 11 e 15 m s⁻¹ (Kikuchi, 2002).

2.2. Dados ambientais

Três campanhas oceanográficas a bordo do Navio oceanográfico Cruzeiro do Sul, da marinha do Brasil foram realizadas no entorno do Atol das Rocas (Julho e Agosto de 2010, Setembro e Outubro de 2012 e Julho a Setembro de 2014), no período diurno e noturno, totalizando 32 amostras. Dois transectos, com três pontos cada, foram amostrados por ano, um na incidência direta da corrente(DCI) e outro na incidência indireta da corrente (ICI), ambos com coletas noturnas e diurnas (Figura 1).

Figura 1: Área de estudo com os três transectos no Atol das Rocas (Brasil), equatorial Atlântico tropical ocidental. DCI=Influência direta da corrente; ICI- Influência indireta da corrente



Com o auxílio de um perfilador CTD foram obtidos dados da concentração de oxigênio dissolvido (mg L⁻¹), salinidade (PSU), fluorescência e da temperatura (°C). Para análise dos nutrientes dissolvidos — fosfato (PO₄³⁻), nitrito (NO₃⁻), silicato (SiO₂⁻) e clorofila (mg m⁻³) — as amostras de água coletadas foram armazenadas em garrafas de 300 mL e imediatamente congeladas. Posteriormente foram transportadas para o laboratório de oceanografia química do departamento de oceanografia da UFPE, onde foram analisadas de acordo com a metodologia descrita por Strickland and Parsons (1972) e Grasshoff and Ehrhardt (1983).

2.3. Dinoflagellata

A amostragem biológica foi realizada através de arrastos oblíquos (em forma de "V") utilizando rede de plâncton com abertura de malha de 64 µm e 30 cm de abertura de boca. Os arrastos se estenderam até 80% da profundidade local, ou até 200 m, o que fosse menor. Após a coleta, as amostras foram transferidas para garrafas plásticas e fixadas com solução tamponada de formaldeído a 4%.

93 Para as análises quali-quantitativas dos organismos, cada amostra foi diluída de acordo com a densidade dos orga-
94 nismos. Uma alíquota de 1 mL foi separada em câmara de "Sedgwick-Rafter" para posterior análise em microscópio
95 óptico. Foram analisadas três alíquotas como esta por cada amostra. A identificação foi realizada até a menor categoria
96 taxonômica possível.

97 2.4. Análise dos dados

98 A densidade (ind m^{-3}) foi calculada para todas as espécies identificadas. Frequência de ocorrência (**FO**) (**VF** -
99 Muito frequente ($\geq 70\%$); **F** - frequente (7030%); **IF** - pouco frequente (3010%); e **S** - esporádico ($\leq 10\%$)). Abundância
100 relativa (**AR**) (**D** - Dominante ($\geq 70\%$); **A** - Abundante (7040%); **LA** - Pouco abundante (4010%); **R** - Raro ($\leq 10\%$)).
101 A estrutura da comunidade foi descrita usando diagramas de Whittaker (ou curvas de k-abundância), que relaciona a
102 abundância relativa com a riqueza de espécies, a partir das quais é possível inferir a homogeneidade.

103 A análise de similaridade (ANOSIM) foi utilizada para testar as diferenças estatísticas da densidade de espécies
104 entre o período (Dia ou Noite) e os anos de coleta (2010, 2012 e 2014). Essas análises foram graficamente representadas
105 com o uso de escalonamento multi dimensional não métrico (nMDS). A análise de valor de indicação (IndVal), que
106 computa uma valor para cada espécie e é realizado com base na fidelidade e especificidade das espécies com relação
107 aos grupos (Ano, Período) (Chew et al., 2015). Esta análise tem sido utilizada para identificar e mostrar a importância
108 de cada espécies como indicadora e caracterizadora de comunidades. A variação dos dados ambientais foi analisada
109 com o auxílio do teste e Kruskal-Wallis, e visualizadas com boxplots.

110 Uma análise de correspondência canônica (CCA) foi realizada afim de verificar a relação entre variáveis ambientais
111 (temperatura, fluorescência, oxigênio dissolvido e salinidade), fatores espaço-temporais (anos, direção da corrente e
112 período), nutrientes (fosfato (PO_4^{3-}), nitrato (NO_3^-), silicato (SiO_2^-) e clorofila (mg m^{-3})) fatores espaço-temporais
113 (anos, direção da corrente e período), e os padrões apresentados pela comunidade de Dinoflagellata. A comunidade foi
114 representada apenas pelas espécies com mais de 50% de FO (17 espécies). O fator de inflação da variância (VIF) foi
115 calculado com o objetivo de identificar aquelas variáveis redundantes. O limite utilizado para o VIF foi de 10. Todas
116 as variáveis consideradas redundantes foram excluídas da análise final.

117 Todas as análises aqui descritas foram realizadas com a linguagem R (R Core Team 2019), utilizando o software
118 RStudio 1.2.1335 (RStudio Team 2019)

119 3. Resultados

120 Foi identificado um total de 90 taxa, distribuídos em seis Ordens: Gonyaulacales, Dinophysiales, Prorocentrales,
121 Peridiniales, Pyrocystales e Noctilucales. Gonyaulacales foi a ordem que apresentou maior riqueza (43 espécies), cons-
122 tituída por três famílias, destas, Ceratiaceae foi a mais representativa, com 34 espécies do gênero *Tripos* e 6 espécies
123 do gênero *Ceratium*. Dinophysiales foi a segunda ordem com maior riqueza, com Dinophysiaceae apresentando 12
124 espécies distribuídas em três gêneros (*Ornithocercus*, *Dinophysis* e *Histioneis*) (Tabela 1).

125 O ano no qual foi observada a maior riqueza de espécies foi 2014 (69), seguido por 2010 (66) e 2012 (44) (Tabela 1).
126 Foi no ano de 2010 onde ocorreu o maior número de espécies consideradas muito frequentes, 12 de Ceratiaceae, uma de
127 Ceratocoryaceae e duas de Dinophysiaceae. Em 2014, oito espécies ocorreram em mais de 70% das estações coletadas,
128 sendo, cinco de Ceratiaceae, uma de Ceratocoryaceae, duas de Dinophysiaceae; e em 2012 apenas quatro espécies, três
129 de Ceratiaceae e uma de Protoperidiniaceae. Não foi observada dominância de nenhuma espécie nos anos estudados,
130 pode-se registrar apenas que a maioria foi classificada como rara (Tabela 1).

131 O ano de 2010 foi o que apresentou maior densidade total ($19\,125.17 \text{ ind m}^{-3}$) (Tabela 1). As espécies que se
132 destacaram com densidades médias superiores a 100 ind m^{-3} foram, *Tripos declinatus* (388.75), *Tripos pentagonus*

(219.92 ind m⁻³), *Tripos contortus* (181.27 ind m⁻³) *Ceratium tripos* var. *tripos* (178.05 ind m⁻³), *Ceratium horridum* var. *buceros* (137.14 ind m⁻³), *Ceratium* sp. (110.28 ind m⁻³) e *Tripos candelabrum* (109.24 ind m⁻³) pertencentes a Ceratiaceae e *Ornithocercus quadratus* (112.59 ind m⁻³) pertencente a Dinophysiaceae, reforçando a importância destas famílias. Em 2012, apenas *Tripos fusus* (50 ind m⁻³) apresentou densidades médias superiores a 14 ind m⁻³, já em 2014 a densidade média mais alta foi de 39.69 ind m⁻³ da espécie *Tripos macroceros*.

O período que apresentou a maior densidade total foi a noite com 17 672.44 ind m⁻³, enquanto no dia a densidade total foi de 6669.19 ind m⁻³.

Tabela 1: Densidade média (ind m⁻³) (**DM**) dos taxas identificados no atol das Rocas por ano. Frequência de ocorrência (**FO**) (**VF** - Muito frequente ($\geq 70\%$); **F** - frequente (70-30%); **IF** - pouco frequente (30-10%); e **S** - esporádico ($\leq 10\%$)). Abundância relativa (**AR**) (**D** - Dominante ($\geq 70\%$); **A** - Abundante (70-40%); **LA** - Pouco abundante (40-10%); **R** - Raro ($\leq 10\%$)). NO - sem ocorrência. *Nomenclatura baseada no WoRMS Editorial Board (2019)

TÁXONS*	2010			2012			2014		
	DM	FO	AR	DM	FO	AR	DM	FO	AR
GONYAULACALES									
Ceratiaceae									
<i>Tripos angustocornis</i>	13	F	R	0	NO	NO	0.61	IF	R
<i>Tripos arietinus</i>	2.81	IF	R	0	NO	NO	0.97	IF	R
<i>Tripos azoricus</i>	0	NO	NO	0	NO	NO	0.82	IF	R
<i>Tripos brevis</i>	43.13	F	R	0	NO	NO	0.22	IF	R
<i>Tripos candelabrum</i>	109.24	VF	R	0.54	IF	R	4.49	F	R
<i>Tripos carriensis</i>	3.19	IF	R	0	NO	NO	11.19	F	R
<i>Tripos contortus</i>	181.27	VF	R	1.29	F	R	16.94	VF	R
<i>Tripos contrarius</i>	0	NO	NO	0	NO	NO	1.91	F	R
<i>Tripos declinatus</i>	388.75	VF	LA	4.34	F	R	3.36	F	R
<i>Tripos euarcuatus</i>	0	NO	NO	1.1	IF	R	4.05	IF	R
<i>Tripos fusus</i>	76.39	VF	R	55.62	VF	LA	12.17	F	R
<i>Tripos gibberus</i>	1.07	IF	R	0.49	IF	R	5.08	IF	R
<i>Tripos gibberus</i> var. <i>dispar</i>	21.97	VF	R	0	NO	NO	3.88	F	R
<i>Tripos gravidus</i> var. <i>praeolongum</i>	0	NO	NO	0	NO	NO	0.05	S	R
<i>Tripos gravidus</i>	0	NO	NO	0.68	S	R	0.06	S	R
<i>Tripos gallicus</i>	4.75	IF	R	0	NO	NO	23.82	F	R
<i>Tripos inflatus</i>	0	NO	NO	0	NO	NO	0.2	IF	R
<i>Tripos karstenii</i>	0	F	R	0.68	NO	NO	0	IF	R
<i>Tripos kofoidii</i>	12.18	NO	NO	0	S	R	0.54	NO	NO
<i>Tripos lineatus</i>	0.46	IF	R	0	NO	NO	0	NO	NO
<i>Tripos longissimus</i>	0.61	IF	R	0	NO	NO	0.42	IF	R
<i>Tripos lunula</i>	0	NO	NO	0	NO	NO	0.06	S	R

Table 1 - Continued from previous page

TÁXONS*	2010			2012			2014		
	DM	FO	AR	DM	FO	AR	DM	FO	AR
<i>Tripos macroceros</i>	16.77	VF	R	13.82	VF	R	33.69	F	LA
<i>Tripos massiliensis</i>	1.7	F	R	0	NO	NO	4	F	R
<i>Tripos muelleri</i>	93.78	F	R	0	NO	NO	3.05	F	R
<i>Tripos paradoxides</i>	0	NO	NO	0	NO	NO	0.12	S	R
<i>Tripos platycornis</i>	0.12	IF	R	0	NO	NO	0.24	IF	R
<i>Tripos pentagonus</i>	219.92	VF	LA	7.8	VF	R	6.56	VF	R
<i>Tripos pulchellus</i>	0.34	IF	R	0	NO	NO	0	NO	NO
<i>Tripos ranipes</i>	0	NO	NO	0	NO	NO	1.61	IF	R
<i>Tripos reflexus</i>	0.74	IF	R	0.13	S	R	1.35	IF	R
<i>Tripos teres</i>	60.76	VF	R	6.91	F	R	7.48	F	R
<i>Tripos trichoceros</i>	0.34	IF	R	0	NO	NO	0.14	S	R
<i>Tripos vultur</i>	11.63	VF	R	1.48	IF	R	0.97	F	R
<i>Ceratium extensum</i>	14.36	IF	R	0	NO	NO	7.23	F	R
<i>Ceratium hexacanthum</i>	17.55	F	R	0	NO	NO	12.52	VF	R
<i>Ceratium horridum</i> var. <i>buceros</i>	137.14	VF	R	4.04	F	R	25.72	VF	R
<i>Ceratium symmetricum</i>	0	NO	NO	0	NO	NO	0.45	IF	R
<i>Ceratium tripos</i> var. <i>tripos</i>	178.05	VF	R	4.69	F	R	2.49	F	R
<i>Ceratium</i> sp.	110.28	VF	R	4.8	F	R	11.5	VF	R
<i>Ceratocoryaceae</i>									
<i>Ceratocorys horrida</i>	83.71	VF	R	1.26	IF	R	16.27	VF	R
<i>Ceratocorys</i> sp.	6.91	F	R	1.03	IF	R	4.48	S	R
<i>Cladopyxidaceae</i>									
<i>Cladopyxis</i> sp.	0.06	IF	R	0.26	S	R	0.33	S	R
DINOPHYSIALES									
<i>Dinophysiaceae</i>									
<i>Ornithocercus heteroporus</i>	0.06	IF	R	0	NO	NO	0	NO	NO
<i>Ornithocercus magnificus</i>	1.07	IF	R	2.35	IF	R	0	NO	NO
<i>Ornithocercus quadratus</i>	112.59	VF	R	3.24	F	R	10.13	F	R
<i>Ornithocercus skogsbergii</i>	0.37	IF	R	0	NO	NO	0	NO	NO
<i>Ornithocercus steinii</i>	12	F	R	2.97	IF	R	6.89	VF	R
<i>Ornithocercus thumii</i>	45.18	VF	R	0.68	S	R	2.39	F	R
<i>Ornithocercus</i> sp.	11.25	F	R	1	F	R	2.91	F	R
<i>Dinophysis argus</i>	0.12	IF	R	0	NO	NO	0	NO	NO
<i>Dinophysis biastata</i>	0.74	IF	R	0	NO	NO	0.55	IF	R
<i>Dinophysis</i> sp.	0.86	IF	R	0.19	S	R	0.22	IF	R
<i>Histioneis milneri</i>	0.51	IF	R	0	NO	NO	0	NO	NO
<i>Histioneis</i> sp.	0	NO	NO	0	NO	NO	0.38	S	R
<i>Amphisoleniaceae</i>									

Table 1 - Continued from previous page

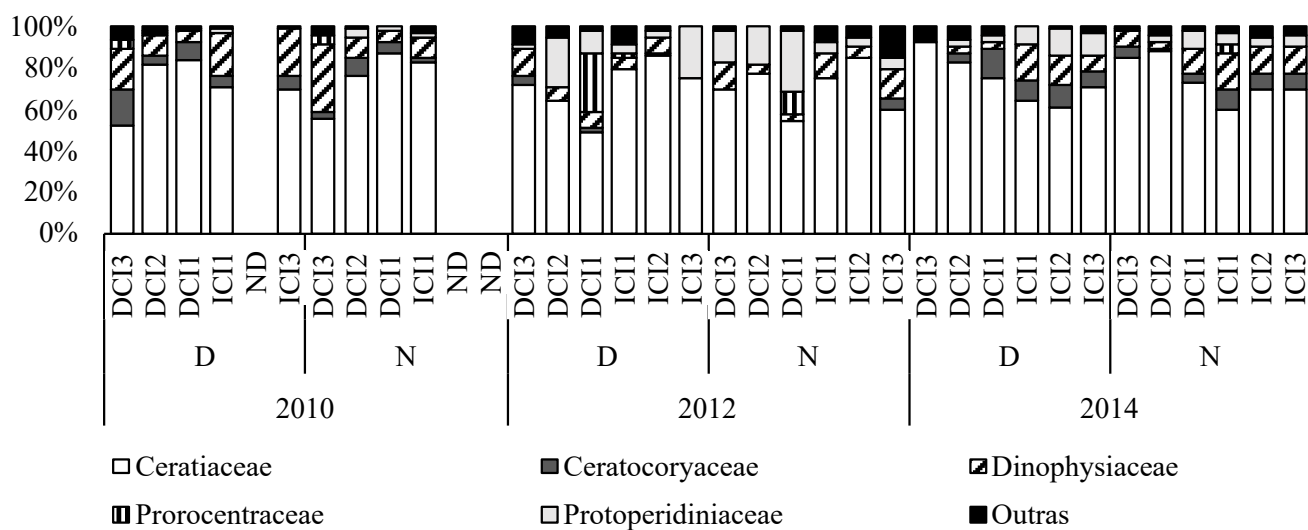
TÁXONS*	2010			2012			2014		
	DM	FO	AR	DM	FO	AR	DM	FO	AR
<i>Amphisolenia bidentata</i>	0	NO	NO	0.43	IF	R	0.73	S	R
<i>Amphisolenia globifera</i>	0.36	IF	R	0	NO	NO	0	NO	NO
<i>Amphisolenia</i> sp.	0	NO	NO	0.35	S	R	0.44	IF	R
Oxyphysaceae									
<i>Phalacroma circumcinctum</i>	0.37	IF	R	0	NO	NO	0	NO	NO
<i>Phalacroma cuneus</i>	12.32	F	R	1.43	F	R	1.27	IF	R
<i>Phalacroma doryphorum</i>	0.36	IF	R	0.34	IF	R	0.05	S	R
<i>Phalacroma rapa</i>	15.7	IF	R	0	NO	NO	0	NO	NO
<i>Phalacroma rotundatum</i>	0	NO	NO	0.35	S	R	0	NO	NO
<i>Phalocroma</i> sp.	0.62	IF	R	0.32	IF	R	0.16	S	R
PROROCENTRALES									
Prorocentraceae									
<i>Prorocentrum conicum</i>	0.03	IF	R	0	NO	NO	0	NO	NO
<i>Prorocentrum gracile</i>	9.45	F	R	0	NO	R	0.16	S	R
<i>Prorocentrum</i> sp.	0.36	IF	R	7.24	IF	R	0.93	S	R
PERIDINIALES									
Protoperidiniaceae									
<i>Protoperidinium abei</i>	2.25	IF	R	0	NO	NO	0	NO	NO
<i>Protoperidinium bipes</i>	0	NO	NO	0	NO	NO	0.1	S	R
<i>Protoperidinium crassipes</i>	8.41	IF	R	0	NO	NO	6.52	F	R
<i>Protoperidinium depressum</i>	14.36	IF	R	3.45	F	R	1.29	IF	R
<i>Protoperidinium divergens</i>	10.71	F	R	0	NO	NO	1.62	IF	R
<i>Protoperidinium obtusum</i>	0.37	IF	R	0	NO	NO	0	NO	NO
<i>Protoperidinium oceanicum</i>	0	NO	NO	0	NO	NO	0.22	IF	R
<i>Protoperidinium oviforme</i>	0	NO	NO	0	NO	NO	0.16	S	R
<i>Protoperidinium thorianum</i>	0.34	IF	R	0	NO	NO	0	NO	NO
<i>Protoperidinium</i> sp.	10.52	F	R	12.32	VF	R	4.75	VF	R
Podolampadaceae									
<i>Podolampas elegans</i>	13.99	IF	R	0	NO	NO	0.65	IF	R
<i>Podolampas palmipes</i>	9.27	IF	R	1.41	IF	R	0.33	IF	R
<i>Podolampas spinifer</i>	0	NO	NO	0.49	IF	R	0	NO	NO
<i>Podolampas</i> sp.	0	NO	NO	0	NO	NO	0.17	S	R
Oxytoxaceae									
<i>Corythodinium tessellatum</i>	0	NO	NO	0.17	S	R	0	NO	NO
<i>Corythodinium</i> sp.	0.49	IF	R	0	NO	NO	0.17	S	R
<i>Oxytoxum sceptrum</i>	0	NO	NO	1	S	R	0	NO	NO
<i>Oxytoxum scolopax</i>	0	NO	NO	0.17	S	R	0	NO	NO
<i>Oxytoxum</i> sp.	0	NO	NO	0.3	S	R	0	NO	NO

Table 1 - Continued from previous page

TÁXONS*	2010			2012			2014		
	DM	FO	AR	DM	FO	AR	DM	FO	AR
PYROCYSTALES									
Pyrocystaceae									
<i>Pyrocystis fusiformis</i>	0	NO	NO	0.92	IF	R	0	NO	NO
<i>Pyrocystis robusta</i>	0.73	IF	R	0.97	IF	R	0	NO	NO
<i>Pyrocystis</i> sp.	8.28	F	R	0	NO	NO	2.7	F	R
NOCTILUCALES									
Noctilucaceae									
<i>Noctiluca</i> sp.	0	NO	NO	1.43	IF	R	2.35	IF	R
TOTAL DENSITY (ind m⁻³)	19125.17			1855.32			3361.13		

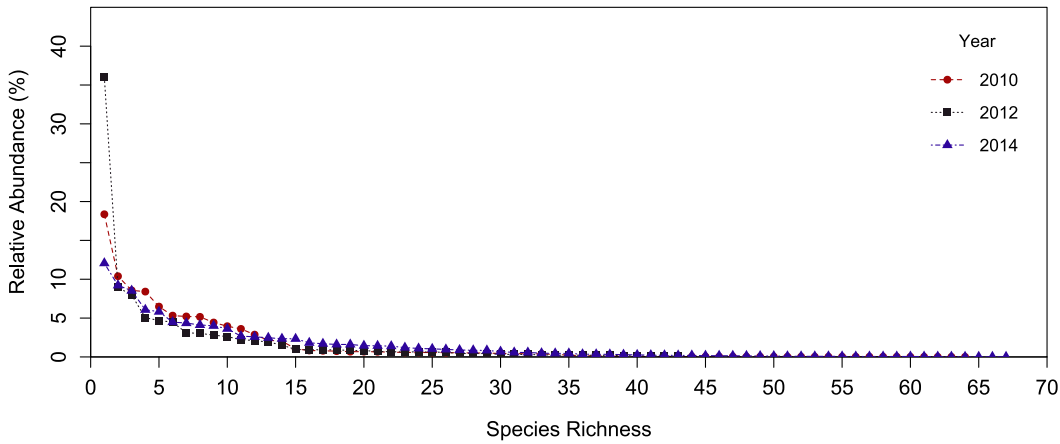
140 De modo geral, é possível observar que, dentre as principais famílias encontradas, Ceratiaceae foi a mais abundante
 141 de uma maneira geral. Outras famílias em destaque de abundância foram Dinophysiaceae e Ceratocoryaceae em 2010
 142 e 2014, sugerindo maior semelhança entre estes anos e Prorocentraceae e Protoperidiniaceae em 2012. A variação dia
 143 e noite na abundância das famílias não foi marcante (Figura 2).

Figura 2: Abundância relativa da principal família de Dinoflagellata nas estações e anos do Atol de Rocas. DCI=Influência direta da corrente; ICI- Influência indireta da corrente; ND - sem dados



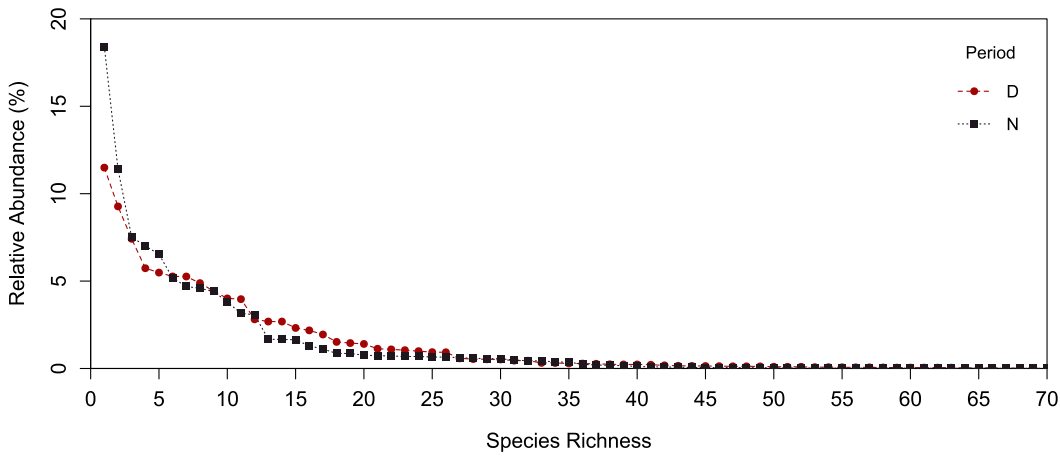
144 O diagrama de Whittaker para os anos mostra a superioridade em riqueza apresentada em 2014, a maioria das
 145 espécies apresentaram o valor da abundância mais semelhante que os outros anos, ou seja, o padrão de distribuição de
 146 indivíduos entre as espécies foi mais homogêneo (maior equitabilidade), dessa forma, podemos inferir que 2014 foi
 147 o ano que apresentou maior diversidade. Neste ano, as espécies mais abundantes foram *Tripos macroceros*, *Ceratium*
 148 *horridum* var. *buceros*, *Tripos gallicus*, *Tripos contortus* e *Ceratocorys horrida*, com abundância relativa entre 5% e
 149 13%. Já, o início mais íngreme da curva do ano de 2012, com *Tripos fusus* representando mais de 35% da abundância
 150 a uma riqueza inferior, indica que este ano foi o de menor equitabilidade e diversidade (Figura 3).

Figura 3: Diagrama de Whittaker mostrando a abundância relativa de espécies (eixo Y) Dinoflagellata por riqueza de espécies, ordenadas nas abscissas em ordem decrescente de importância para os três anos de coleta nos arredores do atol das Rocas (Brasil)



151 Para os períodos, o diagrama mostrou uma curva inicialmente mais íngreme para a noite, sugerindo menor equita-
 152 bilidade. As espécies que apresentaram maior valor de abundância relativa foram *Tripos declinatus*, *Tripos pentagonus*,
 153 *Ceratium tripos* var. *tripos*, *Tripos contortus* e *Tripos fusus* com porcentagem entre 6% e 18%. A riqueza específica
 154 para este período foi superior ao observado para o dia (79 taxa noite/ 69 taxa dia) (Figura 4).

Figura 4: Diagrama de Whittaker mostrando a abundância relativa das espécies (eixo Y) de Dinoflagellata por riqueza de espécies, ordenadas nas abscissas em ordem decrescente de importância para os três períodos (dia; noite) de coleta nas proximidades do atol de Rocas (Brasil)



155 A análise de similaridade (ANOSIM) indicou diferença significativa da densidade apenas em relação aos anos
 156 (2010, 2012 e 2014) $R = 0.335, p = 0.001$ e período (dia e noite) $R = 0.1032, p = 0.015$, mas não para distâncias
 157 $R = -0.03165, p = 0.788$ e corrente $R : -0.009866, p = 0.559$.

158 A análise do valor do indicador (IndVal) mostrou que, dos 90 taxa identificados, 30% apresentaram níveis signifi-
 159 cativos de indicação para anos e aproximadamente 8% para períodos. No ano de 2010 foram observadas 14 espécies

160 com valores indicativos, dessas, as mais relevantes (indval > 90%) foram *Tripos declinatus*, *Ceratium tripos* var. *tripos*,
 161 *Tripos candelabrum*, *Ornithocercus thumii* e *Ceratium* sp. Para o ano de 2014 o valor não passou de 70%, apenas
 162 três espécies foram consideradas indicativas deste ano, *Tripos gallicus*, *Tripos carriensis*, *Tripos contrarius*. Nenhuma
 163 espécie foi relacionada ao ano de 2012. *Tripos fusus* (indval = 91%) foi relacionado simultaneamente aos anos de 2010
 164 e 2012. Também simultaneamente entre 2010 e 2014 foram observadas 9 espécies, dessas, *Tripos contortus*, *Cera-*
 165 *tocorys horrida*, *Ceratium horridum* var. *buceros* e *Ceratium hexacanthum* apresentaram os valores indicativos mais
 166 altos (indval > 90%) (Tabela 2).

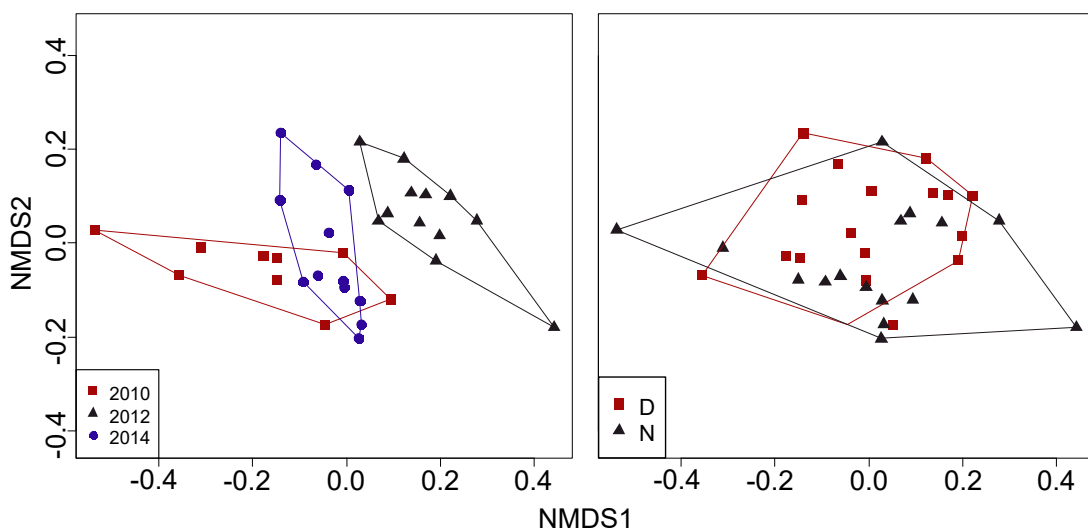
167 Em relação aos períodos, duas espécies foram indicativas do dia *Tripos euarcuatus* (indval = 64,2%) 0.642 e
 168 *Tripos giberus* (indval = 57,9 %) e 5 espécies indicadora da noite *Tripos pentagonus*, *Ceratium tripos* var. *tripos*,
 169 *Ornithocercus quadratus*, *Ceratium macroceros* var. *gallicum* e *Ceratium extensum*, sendo a primeira a que apresentou
 170 o maior valor (indval = 93,7%) (Tabela 2).

Tabela 2: Valor de indicação individual (IndVal) de Dinoflagellata dos arredores do atol de Rocas (Brasil), nos anos (2010; 2012; 2014) e período (dia; noite)

Fator	Taxa	A	B	Stat	p value
2010	<i>Tripos declinatus</i>	0.9806	1	0.99	0.001
	<i>Ceratium tripos</i> var. <i>tripos</i>	0.9612	1	0.98	0.001
	<i>Tripos candelabrum</i>	0.956	1	0.978	0.001
	<i>Ornithocercus thumii</i>	0.9364	1	0.968	0.001
	<i>Ceratium</i> sp.	0.8713	1	0.933	0.005
	<i>Ornithocercus quadratus</i>	0.8939	0.8889	0.891	0.031
	<i>Tripos vultur</i>	0.8262	0.8889	0.857	0.001
	<i>Tripos brevis</i>	0.9949	0.6667	0.814	0.001
	<i>Tripos muelleri</i>	0.9685	0.6667	0.804	0.003
	<i>Prorocentrum gracile</i>	0.9831	0.5556	0.739	0.001
	<i>Tripos karstenii</i>	0.9573	0.4444	0.652	0.012
	<i>Tripos angustocornis</i>	0.9554	0.4444	0.652	0.012
2014	<i>Protoperidinium divergens</i>	0.8685	0.4444	0.621	0.038
	<i>Phalacroma rapa</i>	1	0.3333	0.577	0.02
	<i>Tripos gallicus</i>	0.8339	0.5833	0.697	0.003
2010+2012	<i>Tripos carriensis</i>	0.778	0.5833	0.674	0.034
	<i>Tripos contrarius</i>	1	0.4167	0.645	0.02
2010+2012	<i>Tripos fusus</i>	0.9156	0.9048	0.91	0.048

	<i>Tripos contortus</i>	0.9935	1	0.997	0.001
	<i>Ceratocorys horrida</i>	0.9876	0.9524	0.97	0.001
	<i>Ceratium horridum var. buceros</i>	0.9758	0.9048	0.94	0.004
	<i>Ceratium hexacanthum</i>	1	0.8571	0.926	0.001
2010+2014	<i>Tripos gibberus var. dispar</i>	1	0.6667	0.816	0.002
	<i>Ornithocercus steinii</i>	0.8642	0.7143	0.786	0.048
	<i>Pyrocystis</i> sp.	1	0.4762	0.69	0.035
	<i>Tripos massiliensis</i>	1	0.4286	0.655	0.035
	<i>Protoperidinium crassipes</i>	1	0.4286	0.655	0.026
DAY	<i>Tripos euarcuatus</i>	1	0.4118	0.642	0.011
	<i>Tripos giberus</i>	0.95	0.3529	0.579	0.037
	<i>Tripos pentagonus</i>	0.9363	0.9375	0.937	0.016
	<i>Ceratium tripos var. tripos</i>	0.7938	0.9375	0.863	0.024
NIGHT	<i>Ornithocercus quadratus</i>	0.7854	0.9375	0.858	0.042
	<i>Tripos gallicus</i>	0.8969	0.5	0.67	0.005
	<i>Ceratium extensum</i>	0.9157	0.4375	0.633	0.038

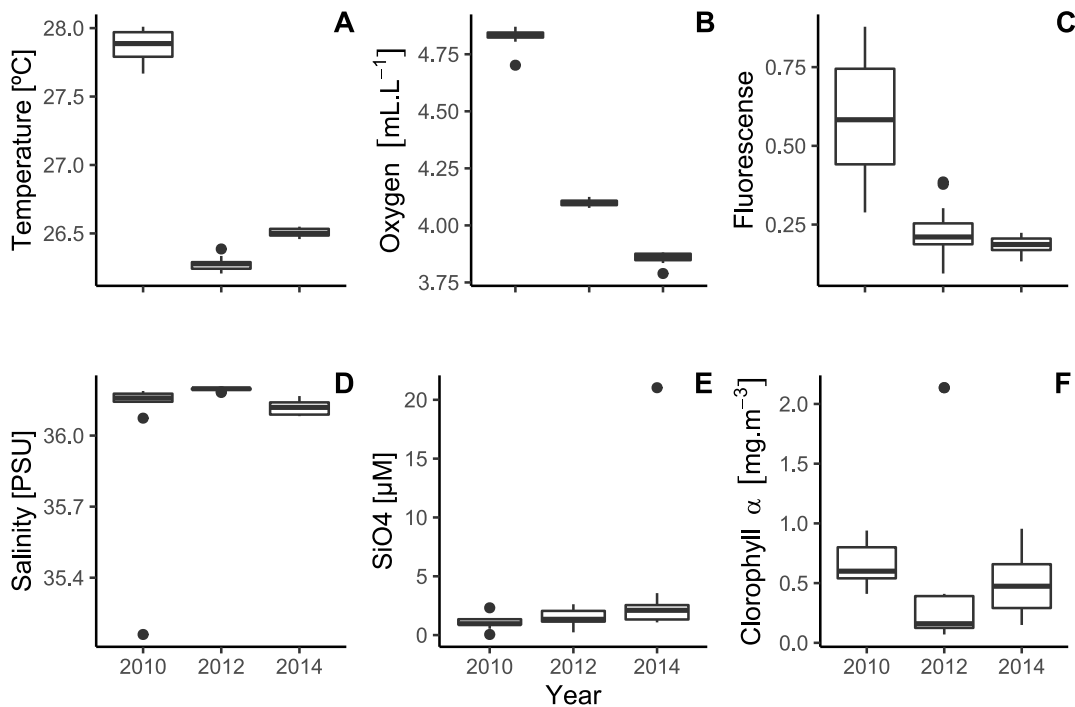
Figura 5: Escala multidimensional não métrica (nMDS) mostrando agrupamentos baseados na diferença de densidade de Dinoflagellata entre os anos no Atol de Rocas (Brasil)



171 O teste Kruskal-Wallis foi aplicado para avaliar quais parâmetros ambientais apresentavam variação entre os anos
 172 e períodos. Os resultados mostraram que nenhum parâmetro apresentou diferenças estatisticamente significativas entre
 173 os períodos. Entretanto, a diferença entre os anos foi significativa em relação à temperatura, fluorescência, salinidade,
 174 oxigênio, sílica e clorofila *a*. Os valores de temperatura e oxigênio foram consideravelmente mais altos no ano de 2010
 175 em comparação com os demais anos, neste ano também se observou maior valor para fluorescência e clorofila *a*. A salini-
 176 dade e a sílica, apesar de apresentar uma diferença menos acentuada, foram maiores em 2012 e 2014, respectivamente
 177 (page 12).

178 As variáveis explicativas utilizadas para a elaboração da CCA foram ano, corrente, período, fluorescência, salini-

Figura 6: Box-Plot (\pm média) dos parâmetros ambientais entre os anos no entorno do Atol das Rocas (Brasil). Kruskal-Wallis (KW) ($p<0,05$). Pontos pretos (Outliers)



179 dade, fosfato, sílica e clorofila a, selecionadas após cálculo do VIF. As maiores pontuações na ordenação das espécies
 180 no eixo 1 foram os anos de 2012 e 2014, fluorescência e o período dia. Para o segundo eixo foram, também, os anos
 181 de 2012 e 2014 e o período dia (Tabela 3, Figura 7).

182 O eixo 1, com 32,9 % de valor explicativo, mostra oposição entre 2010, DCI e noite (eixo1 <0) e 2014, 2012,
 183 ICI e dia (eixo1> 0), este eixo está negativamente correlacionado com a concentração de fluorescência, clorofila a
 184 e positivamente com sílica e salinidade. Para o eixo 1 o fosfato possui valor explicativo baixo. As espécies *Cera-*
 185 *tium tripos* var. *tripos*, *Ornithocercus quadratus*, *Tripos candelabrum*, *Tripos declinatus* e *Ornithocercus thumii* foram
 186 mais bem relacionadas ao eixo 1 e valores positivos de fluorescência e clorofila a, sendo, *Ceratium tripos* var. *tripos*,
 187 *Ornithocercus quadratus* mais fortemente relacionadas. Quatro dessas cinco espécies, exceto a *T. declinatus*, foram
 188 relacionadas como espécies indicativas do ano de 2010. Já as espécies *Tripos macroceros*, *Tripos fusus*, *Ornithocercus*
 189 *steinii*, *Ornithocercus* sp. e *Protoperidinium* sp. se relacionaram melhor à alta concentração de sílica (Figura 7).

190 O eixo 2, com 21,3% de valor explicativo, evidencia oposição entre 2012, DCI e noite (eixo1 <0) e 2014, ICI e
 191 dia (eixo 1 > 0), neste eixo, 2010 possui um valor explicativo muito baixo (eixo 2 ≈ 0). O eixo 2 está negativamente
 192 correlacionado com a concentração de clorofila a e salinidade e positivamente com sílica e fosfato, enquanto a fluo-
 193 rescência possui valor explicativo baixo. Neste eixo as espécies *Tripos contortus*, *Ceratium hexacanthum*, *Ceratium*
 194 *horridum* var. *buceros*, *Ceratium* sp., *Ceratocorys horrida* estiveram melhor relacionadas a concentrações altas de fosfato,
 195 principalmente as três últimas (Figura 7).

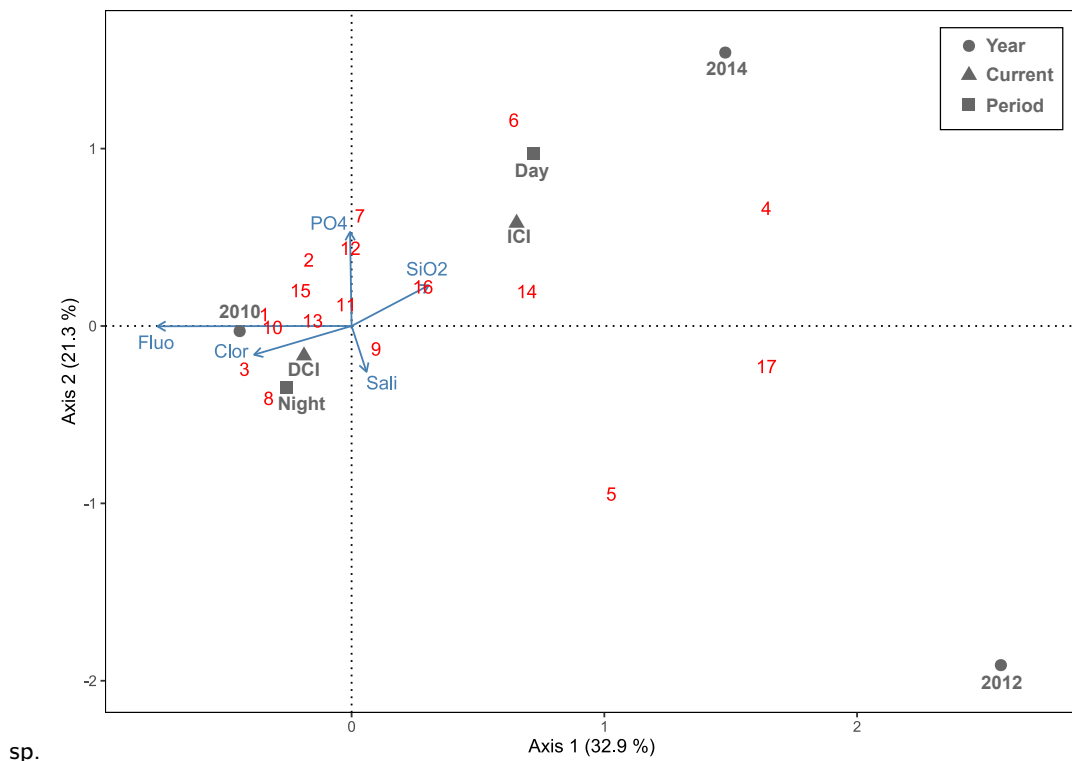
196 *Tripos declinatus* e *Tripos pentagonus* estiveram mais bem relacionadas ao período noturno, à DCI e à maior
 197 quantidade de clorofila a. Como já observado, elas foram as mais abundantes nesse período e *T. declinatus* foi indicativa
 198 do mesmo. Já as espécies *Tripos macroceros*, *Ceratium hexacanthum*, *Ornithocercus steinii* e *Ornithocercus* sp. foram
 199 as que melhor se relacionaram com o período diurno, o ICI e as maiores quantidades de sílica (Figura 7).

Tabela 3

Escores biplot para as variáveis explicativas do parcimonioso - CCA

	Exploratory Variable	Axis 1	Axis 2
Year	2010	-0.443	-0.029
	2012	2,569	-1,912
	2014	1,479	1,541
Current	DCI	-0.188	-0.167
	ICI	0.653	0.58
Period	Day	0.722	0.975
	Night	-0.256	-0.346
Environment factors	Fluorescence	-0.769	-0.002
	Salinity (PSU)	0.059	.
	PO4	-0.006	0.53
	SiO2	0.306	0.229
	Chlorophyll a	-0.386	-0.162

Figura 7: Ordenação CCA das espécies (números vermelhos) que ocorrem em mais de 50% das amostras. Os centróides das variáveis espaço-temporais são apresentados pelos círculos (ano), triângulos (influência atual) e quadrados (período dia-noite). As setas azuis representam as variáveis ambientais. 1 - *Tripos candelabrum*; 2 - *Tripos contortus*; 3 - *Tripos declinatus*; 4 - *Tripos macroceros*; 5 - *Tripos fusus*; 6 - *Ceratium hexacanthum*; 7 - *Ceratium horridum* var. *buceros*; 8 - *Tripos pentagonus*; 9 - *Tripos teres*; 10 - *Ceratium tripos* var. *tripos*; 11 - *Ceratium* sp.; 12 - *Ceratocorys horrida*; 13 - *Ornithocercus quadratus*; 14 - *Ornithocercus steinii*; 15 - *Ornithocercus thumii*; 16 - *Ornithocercus* sp.; 17 - *Protoperidinium*



4. Discussão

Foi observado uma alta diversidade de taxa de Dinoflagellata no Atol das Rocas (90 taxa), esse sucesso adaptativo possivelmente está ligado às estratégias migratórias verticais do grupo (Ji and Franks, 2007), com migrações diárias

entre as camadas d'água dentro da zona eufótica, o que maximiza a capacidade fotossintética (Sousa et al., 1999). Como apontado por Susini-Ribeiro et al. (2013) a dominância e diversidade de Dinoflagellata está associada à estabilidade vertical da água, essa característica é marcante nas águas que cercam o Atol (Medeiros et al., 2009). Segundo Margalef (1978), ambientes estáveis garantem maior grau de organização e complexidade em teias tróficas, aumentando a diversidade de nichos e, consequentemente, de espécies.

Além da estratificação Fehling et al. (2012) sugerem que, em águas oligotróficas, os Dinoflagellata aparecem comumente em maior abundância, além disso, Brandini and Fernandes (1996) citam que a representatividade dos dinoflagelados dentro da comunidade fitoplanctônica é proporcional à distância da costa, caracterizadas que se aplicam ao Atol das Rocas que é banhado por uma massa de água superficial tropical com baixos níveis de nutrientes inorgânicos dissolvidos (Sampaio, 1998) e é controlado sobretudo pelo impacto das águas oligotróficas da corrente sul equatorial e suas derivadas (Ekau and Knoppers, 1999).

Não há registros de ressurgências no entorno do Atol das Rocas (Tchamabi et al., 2017), entretanto, já foram identificadas zonas de turbulência, em microescala hidrográfica, que promovem a mistura vertical da camada d'água (Cordeiro et al., 2013; Jales, 2015; Tchamabi et al., 2017). Essas zonas são determinantes para o sucesso do grupo, pois geram pulsos de nutrientes que elevam a produtividade local (Neumann-Leitão et al., 1999; Becker, 2001; Tchamabi et al., 2017; Campelo et al., 2019).

A diversidade de Dinoflagellata no Atol das Rocas já havia sido avaliada por Jales (2015) através de coleta com rede de 20 µm. Outros estudos, apesar de não terem sido realizados nessa mesma área, também mostram o predomínio desse grupo em detrimento de outros grupos fitoplancônicos, como mencionado por Susini-Ribeiro et al. (2013) no arquipélago dos Abrolhos-Bahia, Tenenbaum (2006) no arquipélago Trindade Martin Vaz-Espirito Santo, Queiroz et al. (2014, 2015), Tiburcio et al. (2011) e Correia (2014) no Arquipélago de São Pedro e São Paulo.

Das ordens encontradas neste levantamento Peridiniales e Gonyaulacales, Segundo Foissner and Hawksworth (2009), são dominantes entre os taxonômicos viventes. Dentro dessa ordem, Ceratiaceae se destacou como a família com maior abundância relativa, riqueza e densidade. A dominância dessa família também foi verificada em trabalhos pretéritos realizados no Atol das Rocas (Jales, 2015) e, no Arquipélago de São Pedro e São Paulo (Koening and Macêdo, 1999; Tiburcio et al., 2011), na plataforma continental de regiões tropicais (Passavante, 1979; Koening and Macêdo, 1999; Medeiros et al., 1999; Eskinazi-Leça et al., 2002; Koening and Lira, 2005).

Segundo Tiburcio et al. (2011), esta família possui ampla abrangência biogeográfica, podendo ser encontrada em todos os oceanos desde regiões tropicais até as polares. Algumas de suas características explicam essa predominância, por exemplo, Granéli and Hansen (2006) sugerem que algumas espécies do gênero *Ceratium* poderiam inibir o desenvolvimento de outras algas por alelopatia. Relatos de Baek et al. (2008) mostram que os representantes desse gênero apresentam um vacúolo que armazena compostos inorgânicos e orgânicos utilizados em condições de escassez nutricional, garantindo o crescimento da população. Também já foi documentado que algumas espécies modificam sua morfologia entre os períodos diurnos e noturnos, a fim de modificar a velocidade de afundamento (Kofoid, 1908), dispersão e/ou estratégias de fuga contra predadores noturnos maiores (Pizay et al., 2009).

São reconhecidos uma gama de variações de ritmos circadianos entre os Dinoflagellata, tanto fisiológicos quanto comportamentais (Sournia, 1975), principalmente de migração diurna através da coluna d'água (Garcés et al., 1998; Baek et al., 2009). O presente estudo mostrou variação significativa entre os períodos diurnos e noturnos. No período noturno identificou-se maior densidade, riqueza e abundância, corroborando o que foi observado por Correia (2014) no arquipélago de São Pedro e São Paulo.

As espécies indicadoras da noite foram *Tripos pentagonus*, *Ceratium tripos* var. *tripos*, *Ornithocercus quadratus*, *Tripos gallicus* e *Ceratium extensem*. Trabalhos mostram que esses gêneros são predominantemente heterotróficos

(Mouritsen, 2003; Haraguchi and Odebrecht, 2010). Segundo Flynn et al. (2012), entretanto, para Dinoflagellata essa classificação deve ser vista como um contínuo, com espécies de várias linhagens planctônicas entre os dois extremos tróficos, isso porque uma característica ecológica marcante dos Dinoflagellata é a mixotrofia, ou seja, capacidade de adquirir carbono tanto da autotrofia quanto da heterotrofia (Faure et al., 2019). Portanto, a predominância do grupo no período noturno e correlação do mesmo com baixas concentrações de nutrientes (fosfato e sílica) pode significar o melhor emprego da capacidade alimentar dessas espécies. Tendo em vista que a mixotrofia permite a alimentação dos organismos mesmo em concentrações baixa de nutrientes vitais (Weiler, 1980; Smalley et al., 2003), o que também justifica o seu predomínio em regiões oligotróficas (Pearman et al., 2016), como o Atol das Rocas.

A comunidade de Dinoflagellata do Atol das Rocas apresentou variação significativa entre os anos estudados. Essa variação já era esperada, visto que comunidades planctônicas respondem rapidamente às alterações nos sistemas de temperatura e corrente, refletido em mudanças na abundância, biomassa e diversidade (Edwards and Richardson, 2004; Hays et al., 2005; Mackas et al., 2012). Os parâmetros ambientais que se diferenciaram estatisticamente entre os anos foram temperatura, fluorescência, salinidade, oxigênio, sílica e clorofila a. Basílio-Dantas et al. (no prelo) mostraram que a temperatura apresentou maior valor explicativo na diferença entre os anos de 2010, 2012 e 2014.

A temperatura superficial da água é um fator importante dentro da dinâmica geral das camadas d'água, pois podem gerar estratificações fortes e limitar a disponibilidade de nutrientes, influenciando o crescimento do fitoplâncton e impulsionando o processo de bottom-up em toda a cadeia alimentar pelágica (Richardson and McKee, 1984). Estudos mostram que o padrão de distribuição dos organismos é um indicador particularmente sensível das variações na temperatura (Hughes, 2000). Mesmo variações discretas, exercem um efeito significativo sobre a abundância e composição da comunidade microplanctônica.

Neste trabalho foi verificado que o ano de 2010 apresentou os maiores valores de temperaturas, com média de 27.87 °C e apresentou também a maior densidade total de dinoflagelados por metros cúbicos ($19\,125.17\text{ ind m}^{-3}$), superior aos demais anos. Basílio-Dantas et al. (no prelo) observaram o mesmo resultado para o microzooplâncton total, enquanto para Radiozoa, Basílio-Dantas et al. (nor prelo) verificaram menores densidades para este ano. De acordo com dados do Oceanic Niño Index (ONI), 2010 foi um ano de El Niño moderado, diferente de 2012 que apresentou meses de La Niña e 2014 que foi um ano neutro. Segundo Basílio-Dantas et al. (no prelo) os anos de 2010 e 2012, foram mais semelhantes, em relação aos parâmetros ambientais do que 2010.

A influência dos ENOS (El Niño Oscilação Sul) pode ser ainda mais clara sobre a comunidade dependendo de sua intensidade. Já são fortes a evidências da ação das variações climáticas na estrutura trófica das teias oceânicas, atualmente estão sendo identificadas mudanças na sincronia dos ciclos biológicos dos grupos tróficos, principalmente os de base de cadeia, esses fatos podem refletir graves implicações dentro do fluxo energético dos oceanos (Stenseth and Mysterud, 2002; Edwards and Richardson, 2004). Um exemplo disso foi o dessincronismo observado entre *Tripos muelieri* e seu potencial predador *Calanus finmarchicus*, que atingiram picos reprodutivos em períodos diferentes (Scheffer and Carpenter, 2003; Edwards and Richardson, 2004). Outro exemplo foi o decréscimo de florações de fitoplâncton que afetou a comunidade de Krill e reduziu em mais de uma ordem de magnitude a comunidade de baleias nos últimos 25 anos (Atkinson et al., 2004).

Apesar da temperatura de ter sido significativa na diferenciação dos anos e de sua conhecida importância sobre o fitoplancton, como descrito acima, para o Dinoflagellata do Atol das Rocas, ela não foi o parâmetro que melhor explicou a distribuição da comunidade, como pôde ser observado na CCA. As variáveis explicativas significativas mais parcimoniosas para a distribuição deste grupo foram fluorescência, salinidade, fosfato, sílica e clorofila a, sendo a fluorescência a de maior valor explicativo. Ela esteve relacionada positivamente ao período noite, ao ano de 2010 e à DCI. As espécies melhores relacionadas a estes fatores foram *Ceratium tripos* var. *tripos*, *Ornithocercus quadratus*,

287 *Tripos candelabros*, *Tripos declinatus*, *Ornithocercus thumii* e *Tripos pentagonus*.

288 A fluorescência apresentou correlação inversa com a sílica e correlação muito baixa com o fosfato. Apesar disso,
289 alguns trabalhos registram forte correlação entre a fluorescência e a presença de outros nutrientes, como o ferro (Beh-
290 renfeld et al., 2009), atestando que locais com alta concentração deste nutriente são normalmente relacionados com
291 baixas taxas de fluorescência. Por fim, alguns fatores como o estresse causado pelo excesso de luz podem ser deter-
292 minantes para a diminuição da fluorescência na região mais superficial dos oceanos (Bruce and Vasil'ev, 2004), esse
293 processo é conhecido como "branqueamento fotoquímico" (Chen and Bada, 1992) e é o principal fator degenerativo
294 da fluorescência. Isto, em conjunto com a existência da síntese proteica noturna do fitoplâncton (Collos et al., 1989),
295 principalmente em regiões de estresse fotoquímico diurno e com anos de maior incidência solar, como 2010, pode
296 explicar os maiores valores de fluorescência encontrados no período da noite.

297 O segundo parâmetro de maior força explicativa na distribuição das espécies foi a clorofila a, que esteve fortemente
298 correlacionada à fluorescência, um resultado esperado, visto que, muitas vezes o teor de clorofila a, assim como a
299 atividade fotossintética podem ser estimados com base em análise de fluorescência (Falkowski and Kiefer, 1985; Kiefer
300 and Reynolds, 1992; Falkowski and Kolber, 1995). Neste sentido, as conclusões geradas para fluorescência nesse
301 trabalho podem ser, de certo modo, extrapoladas para a clorofila a e vice-versa.

302 A clorofila também foi um parâmetro importante na diferenciação dos anos (Basílio-Dantas et al., no prelo). A va-
303 riação da concentração de clorofila a observadas neste estudo foi semelhante ao observado por outros autores (Feitosa
304 and Passavante, 2004; Misic et al., 2012; Souza et al., 2013; Jales, 2015). A maior média entre os anos, observado
305 neste trabalho, foi $0.68 \pm 0.18 \text{ mg m}^{-3}$ em 2010, esse valor é considerado baixo e pode indicar baixa produtividade
306 fitoplanctônica (Jales, 2015). Isso sugere que, para esta área, existem fontes extra de nutrientes, provavelmente pro-
307 venientes das comunidades bentônicas formadoras do próprio Atol (Nogueira and Sassi, 2011) e/ou pode ser reflexo
308 do "branqueamento fotoquímico" já citado. Apesar dos indícios de baixa produtividade, os Dinoflagellata foram bem-
309 sucedidos no Atol, provando que a mixotrofia é uma característica importante do grupo, fazendo que eles se sobre-
310 saiam em regiões de menor incremento nutricional, o que valoriza ainda mais sua função dentro das teias tróficas em
311 ambiente oligotróficos. Outra evidência desse sucesso é a maior abundância dos dinoflagelados em áreas mais distante
312 do Atol, ao contrário das diatomáceas como apontado por Jales (2015).

313 Neste trabalho, a clorofila-a correlacionou-se positivamente com a DCI, entretanto essa relação não foi apoiada pela
314 análise estatística. Outros trabalho em Fernando de Noronha e no Atol das Rocas que mostraram os maiores valores
315 de clorofila-a à jusante das ilhas (ICI), assim como outros nutrientes seria reflexo do efeito da massa insular (Cordeiro
316 et al., 2013; Jales, 2015; Tchamabi et al., 2017).

317 Em relação aos nutrientes, encontrou-se o fosfato e a sílica com os maiores valores explicativos na distribuição
318 dos Dinoflagellata. Eles possuem correlação direta com o dia, ICI e o ano de 2014. De acordo Basílio-Dantas (no
319 prelo), fosfato, nitrato e sílica apresentaram correlação inversa à temperatura e à clorofila a na diferenciação dos anos,
320 com os nutrientes mais bem relacionados aos anos de 2012 e, principalmente, 2014. No ano de 2014, foi encontrada
321 maior riqueza ecológica e maior diversidade de espécies. Também em 2014, foi observada correlação negativa com
322 a clorofila a e com a salinidade e positiva com a sílica e com o fosfato. Estudo com riqueza ou unidade taxonômica
323 operacional (OTU) mostrou correlação positiva com a salinidade e negativa com a temperatura, nutrientes e clorofila
324 a (Du et al., 2017). O trabalho de Sahu et al. (2014) com microscopia óptica, obteve resultado semelhante ao de Du
325 et al. (2017) para a abundância dos Dinoflagellata. Jales (2015) e Tchamabi et al. (2017) também encontraram relação
326 inversa entre temperatura e a concentração de nutrientes.

327 As espécies que melhor se relacionaram com o fosfato foram *Tripos contortus*, *Ceratium horridum* var. *buceros*,
328 *Ceratium* sp. e *Ceratocorys horrida*. As espécies *Tripos contortus* e *Ceratocorys horrida* foram citadas como típicas de

regiões oceânicas, indicadoras da corrente do Brasil e frequentes no Arquipélago de São Pedro e São Paulo (Queiroz, 2011). Já as espécies que melhor se relacionaram com a sílica foram *Ornithocercus steinii* e *Ornithocercus* sp. O gênero *Ornithocercus* é citado como indicador da Corrente do Brasil (Tiburcio et al., 2011), da camada superficial de mistura (Correia, 2014; Costa et al., 2019) e ocupando as camadas mais rasas durante o dia. Ele também foi relacionado ao ano de 2014, que, segundo Basílio-Dantas et al. (no prelo), foi o ano de maior abundância e diversidade de Radiozoa, que tem seu esqueleto formado por sílica e são presas em potencial dos Dinoflagellata (Jacobson and Anderson, 1986; Hansen, 1991).

Os anos de 2012 e 2014, apesar de semelhantes em relação aos parâmetros ambientais (Basílio-Dantas, no prelo) apresentaram grande diferença em relação a comunidade de Dinoflagellata. Um fator importante que pode ter favorecido a diferença de riqueza e diversidade encontrada é a influência das correntes. Em 2014, foi observado a desestabilização da termoclina, possivelmente provocada pela passagem da Subcorrente Sul Equatorial em seu período de velocidade máxima e ventos alísios de sudeste, que se fortalecem entre julho e agosto (Tchamabi et al., 2017). Já em 2012, a ramo central da Corrente Sul Equatorial atingiu o seu mínimo de velocidade, enquanto a Subcorrente Sul Equatorial ainda se encontrava em período de velocidade máxima o que pode ter proporcionado a redução da profundidade da camada superficial (Richardson and McKee, 1984; Arnault, 1987; Kikuchi, 2002; Tchamabi et al., 2017). Ventos mais fortes provocam maior mistura nas camadas mais superficiais, promovem maior lavagem de áreas submersas, além de maior ação das turbulências geradas pela passagem das correntes pelo Atol, disponibilizando mais nutrientes (Fonteneau, 1991; Neumann-Leitão et al., 1999; Lessa et al., 1999; Morato et al., 2010).

A salinidade foi o parâmetro que apresentou o menor valor explicativo e esteve mais bem relacionado ao ano de 2012, este foi o ano com menor diversidade, riqueza e abundância de Dinoflagellata. Esse resultado não corroborou o encontrado em outros estudos, onde a salinidade foi correlacionada positivamente com a abundância, proliferação do grupo e sua heterogeneidade (Taylor, 1973; Joseph and Pillai, 1975; Taylor, 1976; Sahu et al., 2014; Du et al., 2017), isso pode sugerir que o parâmetro salinidade por si só não apresenta influência direta na abundância dos Dinoflagellata. É preciso observar ainda, que a variação da salinidade encontrada entre os anos, apesar de significativa, foi baixa, diferente da elevada variação dos valores encontrados em ambientes costeiros, como os trabalhos acima mencionados. Duas espécies estiveram positivamente relacionadas com a salinidade, estas foram *Tripos fusus* e *Ceratium teres*, destas *Tripos fusus* representou 35% da abundância de 2012.

Entre as espécies indicadoras, nenhuma foi específica de 2012, apenas *Tripos fusus* foi relacionado simultaneamente aos anos de 2010 e 2012. Essa espécie apresenta altas densidades, mesmo em baixas concentrações de nutrientes e suas taxas de crescimento específicas aumentam rapidamente em condições favoráveis de nutrientes N:P, além de possuir armazenamento celular excessivo; essas características lhe conferem vantagem competitiva sobre outras espécies em ambientes com valores limitados de fósforo (Baek et al., 2008).

O ano de 2010 apresentou 14 espécies indicadoras, destas *Tripos declinatus*, *Tripos muelleri*, *Tripos candelabrum*, *Ornithocercus thumii* e *Ceratium* sp. apresentaram valor indicativo maior que 90%. É possível perceber que estas espécies são capazes de sobreviver em ambientes com concentrações mais baixas de nutrientes (fosfato, nitrato e silicato), além de estarem mais relacionadas a temperaturas mais altas, já que se sobressaíram em ano de El Niño moderado, mas estudos posteriores devem ser realizados para confirmar essas relações. Esses gêneros são reconhecidamente mixotróficos (Smalley et al., 2003; Tarangkoon et al., 2010), além disso, estudos mostraram que algumas espécies do gênero *Tripos* são tidas como potenciais indicadores de aquecimento dos oceanos (Tunin-Ley and Lemée, 2013).

Três espécies foram indicadoras para 2014, *Tripos gallicus*, *Tripos carriensis* e *Tripos contrarius*, sendo possível sugerir que essas espécies são beneficiadas em condições favoráveis de concentração de nutrientes e temperaturas mais amenas, visto que, elas se sobressaíram em ano neutro de El Niño (ENOS), também podendo indicar ampla

371 plasticidade adaptativa das espécies desse gênero. Entretanto, são poucos os trabalhos específicos sobre a ecologia das
372 espécies desse gênero, que possam melhor embasar os resultados aqui obtidos sobre as espécies indicadoras. Outra
373 questão importante é a quantidade de sinônimos encontrados (Gómez, 2013), dificultando a pesquisa.

374 De modo geral os Dinoflagellata parecem ter sucesso nas áreas próximas ao Atol das Rocas, mostrado pela riqueza
375 e densidade observadas, isso pode ser reflexo do grande número de espécies mixotróficas encontradas. Devido a loca-
376 lização e por estar em uma área de proteção ambiental, o Atol da Rocas não passa por impactos antropogênicos diretos
377 que possam justificar a variação apresentada na comunidade entre os anos estudados, por isso podemos sugerir que a
378 dinâmica observada seja reflexo de variações climáticas globais, como os eventos de El Niño e/ou La Niña.

379 O ano de El Niño moderado (2010), apresentou menor quantidade de nutrientes e temperaturas mais elevadas, neste
380 ano, identificamos maior densidade e baixa equitabilidade. Isso indica uma relativa instabilidade da comunidade. O
381 ano de 2012 foi considerado de La Niña moderada, nesse ano as concentrações de clorofila-a foram as mais baixas
382 assim como a temperatura e salinidades mais altas, neste ano a equitabilidade foi a menor apresentada, assim como
383 densidade, riqueza e diversidade, indicando que o grupo de características desse ano foi o menos favorável para os
384 Dinoflagellata. Já em 2014 o ambiente se mostrou mais favorável, com riqueza, diversidade e equitabilidade maiores,
385 indicando um ambiente mais equilibrado.

386 Diante do exposto podemos ver que a dinâmica da comunidade dos Dinoflagellata é impactada pela junção de
387 vários fatores relacionados as variações climáticas globais, o que os tornaria bons indicadores desses eventos. Entretanto
388 é necessário estudos mais completos em anos de ENOS fortes.

389 As conclusões tiradas nesse trabalho ampliam a importância de novos estudos, assim como reforça o uso desse
390 grupo no monitoramento dos efeitos das mudanças climáticas nos oceanos tropicais, isso porque variações na comu-
391 nidade de Dinoflagellata gerariam impactos gradativos em toda teia trófica, já que eles ocupam os primeiros níveis da
392 cadeia.

393 5. Agradecimentos

394 Este estudo faz parte dos Projetos Camadas Finas I, II e III financiada pelo Ministério da Ciência e Tecnologia -
395 MCT/CNPq (Brasil). A autora agradece à FACEPE a bolsa de doutorado.

396 Referências

- 397 Abdenadher, M., Hamza, A., Fekih, W., Hannachi, I., Bellaaj, A.Z., Bradai, M.N., Aleya, L., 2012. Factors determining the dynamics of toxic
398 blooms of *alexandrium minutum* during a 10-year study along the shallow southwestern mediterranean coasts. *Estuarine, Coastal and Shelf*
399 *Science* 106, 102–111. doi:10.1016/j.ecss.2012.04.029.
- 400 Arnault, S., 1987. Tropical atlantic geostrophic currents and ship drifts. *Journal of Geophysical Research* 92, 5076. doi:10.1029/
401 jc092ic05p05076.
- 402 Atkinson, A., Siegel, V., Pakhomov, E., Rothery, P., 2004. Long-term decline in krill stock and increase in salps within the southern ocean. *Nature*
403 432, 100–103. doi:10.1038/nature02996.
- 404 Baek, S.H., Shimode, S., Han, M.S., Kikuchi, T., 2008. Growth of dinoflagellates, and in sagami bay, japan: The role of nutrients. *Harmful Algae*
405 7, 729–739. doi:10.1016/j.hal.2008.02.007.
- 406 Baek, S.H., Shimode, S., Shin, K., Han, M.S., Kikuchi, T., 2009. Growth of dinoflagellates, and in sagami bay, japan: The role of vertical migration
407 and cell division. *Harmful Algae* 8, 843–856. doi:10.1016/j.hal.2009.04.001.
- 408 Becker, H., 2001. Hidrologia dos bancos e ilhas oceânicas do nordeste brasileiro. Uma contribuição ao Programa REVIZEE. phdthesis. Universidade
409 Federal de São Carlos. São Carlos.
- 410 Behrenfeld, M.J., Westberry, T.K., Boss, E.S., O'Malley, R.T., Siegel, D.A., Wiggert, J.D., Franz, B.A., McClain, C.R., Feldman, G.C., Doney, S.C.,
411 Moore, J.K., Dall'Olmo, G., Milligan, A.J., Lima, I., Mahowald, N., 2009. Satellite-detected fluorescence reveals global physiology of ocean
412 phytoplankton. *Biogeosciences* 6, 779–794. doi:10.5194/bg-6-779-2009.

- 413 Brandini, F.P., Fernandes, L.F., 1996. Microalgae of the continental shelf off Paraná state, southeastern Brazil: a review of studies. *Revista Brasileira*
414 de Oceanografia
- 415 BRASIL, 2007. Plano de Manejo para a Reserva Biológica do Atol das Rocas. 1 ed., Ministério do Meio Ambiente, Instituto Chico Mendes de
416 Conservação da Biodiversidade, Brasília. URL: http://www.icmbio.gov.br/portal/images/stories/imgs-unidadescoservacao/rebio_atol-das-rocas.pdf.
- 417 Bruce, D., Vasil'ev, S., 2004. Excess light stress: multiple dissipative processes of excess excitation, in: Papageorgiou, G.C., Govindjee (Eds.),
418 Chlorophyll a Fluorescence: A Signature of Photosynthesis. Advances in Photosynthesis and Respiration. Springer. volume 19, pp. 497–523.
- 419 Campelo, R.P.S., Bonou, F.K., Melo Júnior, M., Diaz, X.F.G., Bezerra, L.E.A., Neumann-Leitão, S., 2019. Zooplankton biomass around marine
420 protected islands in the tropical Atlantic ocean. *Journal of Sea Research* 154, 101810. doi:10.1016/j.seares.2019.101810.
- 421 Chen, R.F., Bada, J.L., 1992. The fluorescence of dissolved organic matter in seawater. *Marine Chemistry* 37, 191–221.
- 422 Chew, L.L., Chong, V.C., Ooi, A.L., Sasekumar, A., 2015. Vertical migration and positioning behavior of copepods in a mangrove estuary: Interac-
423 tions between tidal, diel light and lunar cycles. *Estuarine, Coastal and Shelf Science* 152, 142–152. doi:10.1016/j.ecss.2014.11.011.
- 424 Collos, Y., Maestrini, S.Y., Robert, J.M., 1989. Nocturnal synthesis and diurnal degradation of phytoplankton biomass in surface waters. *Marine
425 Biology* 101, 457–462. doi:10.1007/bf00541647.
- 426 Cordeiro, T.A., Brandini, F.P., Rosa, R.S., Sassi, R., 2013. Deep chlorophyll maximum in western equatorial Atlantic - how does it interact with
427 islands slopes and seamounts? *Marine Science* 3, 30–37. doi:10.5923/j.ms.20130301.03.
- 428 Correia, E.P., 2014. Migração vertical do microzooplâncton do Arquipélago de São Pedro e São Paulo. Dissertação de mestrado. Universidade
429 Federal de Pernambuco. Recife.
- 430 Costa, A.E.S.F., Santana, J.R., Melo, P.A.M.C., Neumann-Leitão, S., 2019. Polycystine radiolarians within oligotrophic waters: higher abundance
431 closer to tropical oceanic islands. *Tropical Ecology* 60, 261–270. doi:10.1007/s42965-019-00030-3.
- 432 Dolan, J.R., Lemée, R., Gasparini, S., Mousseau, L., Heyndrickx, C., 2006. Probing diversity in the plankton: using patterns in tintinnids (planktonic
433 marine ciliates) to identify mechanisms. *Hydrobiologia* 555, 143–157. doi:10.1007/s10750-005-1112-6.
- 434 Du, P., Jiang, Z.B., Wang, Y.M., Qian, P., Hu, H.J., Liao, Y.B., Zhou, K.L., Zeng, J.N., Chen, Q.Z., Shou, L., Zhang, D.M., 2017. Spatial heterogeneity
435 of the planktonic protistan community in a semi-closed eutrophic bay, China. *Journal of Plankton Research* 41, 223–239. doi:10.1093/plankt/fbz012.
- 436 Edwards, M., Richardson, A.J., 2004. The impact of climate change on the phenology of the plankton community and trophic mismatch. *Nature*
437 430, 881–884. doi:10.1038/nature02808.
- 438 Ekau, W., Knoppers, B.A., 1999. An introduction to the pelagic system of the north-east and east Brazilian shelf. *Archive of Fishery and Marine
439 Research* 47, 113–132.
- 440 Eskinazi-Leça, E., Moura, A., Silva-Cunha, M., Koenig, M., 2002. Microalgas marinhas do estado de Pernambuco: diagnóstico da biodiversidade
441 de pernambuco, in: Tabarelli, M., Silva, J.M.C. (Eds.), Diagnóstico da biodiversidade de Pernambuco. Secretaria de Ciência Tecnologia e Meio
442 Ambiente/Editora Massangana. volume 1, pp. 79–96.
- 443 Falkowski, P., Kiefer, D.A., 1985. Chlorophyll a fluorescence in phytoplankton: relationship to photosynthesis and biomass. *Journal of Plankton
444 Research* 7, 715–731. doi:10.1093/plankt/7.5.715.
- 445 Falkowski, P.G., Fenchel, T., Delong, E.F., 2008. The microbial engines that drive Earth's biogeochemical cycles. *Science* 320, 1034–1039. doi:10.
446 1126/science.1153213.
- 447 Falkowski, P.G., Kolber, Z., 1995. Variations in chlorophyll fluorescence yields in phytoplankton in the world oceans. *Functional Plant Biology* 22,
448 341. doi:10.1071/PP9950341.
- 449 Faure, E., Not, F., Benoiston, A.S., Labadie, K., Bittner, L., Ayata, S.D., 2019. Mixotrophic protists display contrasted biogeographies in the global
450 ocean. *The ISME Journal* 13, 1072–1083. doi:10.1038/s41396-018-0340-5.
- 451 Fehling, J., Davidson, K., Bolch, C.J.S., Brand, T.D., Narayanaswamy, B.E., 2012. The relationship between phytoplankton distribution and water
452 column characteristics in north west European shelf sea waters. *PLoS ONE* 7, e34098. doi:10.1371/journal.pone.0034098.
- 453 Feitosa, F.A.D.N., Passavante, J.Z.O., 2004. Produtividade fitoplanctônica e hidrologia do atol das Rocas (Brasil), in: Chellappa, N.T., Chellappa, S.,
454 PASSAVANTE, J.Z.O. (Eds.), Ecologia aquática tropical. ServGraf, pp. 143–156.
- 455 Flynn, K.J., Stoecker, D.K., Mitra, A., Raven, J.A., Glibert, P.M., Hansen, P.J., Granéli, E., Burkholder, J.M., 2012. Misuse of the phytoplankton-
456 zooplankton dichotomy: the need to assign organisms as mixotrophs within plankton functional types. *Journal of Plankton Research* 35, 3–11.
457 doi:10.1093/plankt/fbs062.
- 458 Foissner, W., Hawksworth, D.L., 2009. Protist Diversity and Geographical Distribution. Springer Netherlands. doi:10.1007/978-90-481-2801-3.
- 459 Fonteneau, A., 1991. Monts sous-marins et thons dans l'atlantique tropical est. *Aquatic Living Resources* 4, 13–25. doi:10.1051/alr:1991001.
- 460 Gaines, G., Elbrächter, M., 1987. Heterotrophic nutrition, in: Taylor, F.J.R. (Ed.), The biology of Dinoflagellates. Botanical Monographs. volume 21,

- 464 pp. 224–268.
- 465 Garcés, E., Delgado, M., Masó, M., Camp, J., 1998. Life history and growth rates of (dinophyceae, pyrrophyta). *Journal of Phycology* 34, 466 880–887. doi:10.1046/j.1529-8817.1998.340880.x.
- 467 Goes, C.A., 2006. Análise da dispersão de larvas de lagostas no Atlântico Tropical a partir de correntes geostróficas superficiais derivadas por 468 satélites. *mathesis. Instituto Nacional de Pesquisas Espaciais, INPE*. São Paulo. URL: <http://mtcm17.sid.inpe.br/rep/sid.inpe.br/MTC-m13080/2006/07.10.14.12>.
- 470 González-Quirós, R., Cabal, J., Álvarez Marqués, F., Isla, A., 2003. Ichthyoplankton distribution and plankton production related to the shelf break 471 front at the avilés canyon. *ICES Journal of Marine Science* 60, 198–210. doi:10.1016/s1054-3139(03)00009-2.
- 472 Gorini, M.A., Bryan, G.M., 1974. Semi-isolated basin off northeast brazilian margin. *Transactions American Geophysical Union* 55, 278–279.
- 473 Granéli, E., Hansen, P.J., 2006. Allelopathy in harmful algae: A mechanism to compete for resources?, in: Granéli, E., Turner, J.T. (Eds.), *Ecology 474 of Harmful Algae*. Springer, Amsterdam, pp. 125–146.
- 475 Grasshoff, K., Ehrhardt, M., 1983. Methods of seawater analysis. 3 ed., Verlag Chemie, Weinheim.
- 476 Gómez, F., 2012. A quantitative review of the lifestyle, habitat and trophic diversity of dinoflagellates (dinoflagellata, alveolata). *Systematics and 477 Biodiversity* 10, 267–275. doi:10.1080/14772000.2012.721021.
- 478 Gómez, F., 2013. Reinstatement of the dinoflagellate genus to replace , marine species of (dinophyceae, alveolata). *CICIMAR Oceánides* 28, 1–22.
- 479 Hansen, P.J., 1991. Quantitative importance and trophic role of heterotrophic dinoflagellates in a coastal pelagic food web. *Marine Ecology Progress Series* 73, 253–261. doi:10.3354/meps073253.
- 480 Haraguchi, L., Odebrecht, C., 2010. Dinophysiales (dinophyceae) no extremo sul do brasil (inverno de 2005, verão de 2007). *Biota Neotropica* 10, 481 101–114. doi:10.1590/s1676-06032010000300011.
- 482 Hays, G.C., Richardson, A.J., Robinson, C., 2005. Climate change and marine plankton. *Trends in ecology & evolution* 20, 337–344. doi:10.1016/j.tree.2005.03.004.
- 483 Hughes, L., 2000. Biological consequences of global warming: is the signal already apparent? *Trends in Ecology & Evolution* 15, 56–61. doi:10.1016/s0169-5347(99)01764-4.
- 484 Jacobson, D.M., Anderson, D.M., 1986. Thecate heterotrophic dinoflagellates: Feeding behavior and mechanisms. *Journal of Phycology* 22, 249–258. doi:10.1111/j.1529-8817.1986.tb00021.x.
- 485 Jales, M.C., 2015. Influência das condições oceanográficas sobre aestrutura da comunidade fitoplanctônica no Atol das Rocas, Atlântico Sul 486 Equatorial, Brasil. *mathesis. Universidade Federal de Pernambuco*. Recife.
- 487 Ji, R., Franks, P.J.S., 2007. Vertical migration of dinoflagellates: model analysis of strategies, growth, and vertical distribution patterns. *Marine 488 Ecology Progress Series* 344, 49–61. doi:10.3354/meps06952.
- 489 Joseph, K.J., Pillai, V.K., 1975. Seasonal and spatial distribution of phytoplankton in cochin backwaters. *Bulletin of the Department of Marine 490 Science University of Cochin* 7, 171–180.
- 491 Kiefer, D.A., Reynolds, R.A., 1992. Advances in understanding phytoplankton fluorescence and photosynthesis, in: Falkowski, P.G. (Ed.), *Primary 492 Productivity and Biogeochemical Cycles in the Sea*. Springer US, pp. 155–174. doi:10.1007/978-1-4899-0762-2_10.
- 493 Kikuchi, R.K.P.D., 2002. Atol das rocas, litoral do nordeste do brasil - Único atol do atlântico sul equatorial ocidental, in: Schobbenhaus, C., 494 Campos, D.A., Queiroz, E.T., Winge, M., Berbert-Born, M.L.C. (Eds.), *Sítios Geológicos e Paleontológicos do Brasil*. DNPM/CPRM, Brasilia, 495 pp. 379–390.
- 496 Koenig, M.L., Lira, C.G., 2005. O gênero ceratium schrank (dinophyta) na plataforma continental e águas oceânicas do estado de pernambuco, 497 brasil. *Acta Botanica Brasilica* 19, 391–397. doi:10.1590/s0102-33062005000200022.
- 498 Koenig, M.L., Macêdo, S.J., 1999. Hydrology and phytoplankton community structure at itamaracá-pernambuco (northeast brazil). *Brazilian 499 Archives of Biology and Technology* 42. doi:10.1590/s1516-89131999000400002.
- 500 Kofoid, C.A., 1908. Exuviation, autotomy and regeneration in Ceratium. *The University Press*. doi:10.5962/bhl.title.57672.
- 501 Lessa, R., Mafalda-Jr., P., Advíncula, R., Lucchesi, R., Bezerra-Jr., J., Vaske-Jr., T., Hellebrandt, D., 1999. Distribution and abundance of ichthyo- 502 neuston at seamounts and islands off north-eastern brazil. *Archive of Fishery and Marine Research* 47, 239–252.
- 503 Mackas, D.L., Pepin, P., Verheyen, H., 2012. Interannual variability of marine zooplankton and their environments: within- and between-region 504 comparisons. *Progress in Oceanography* 97-100, 1–14. doi:10.1016/j.pocean.2011.11.002.
- 505 Margalef, R., 1978. Life-forms of phytoplankton as survival alternatives in an unstable environment. *Oceanologica Acta* 1, 493–509.
- 506 Medeiros, C., Araújo, M., Freitas, I., Rollnic, M., 2009. Massas d'água da região oeste do atlântico tropical, in: Hazin, F.H.V. (Ed.), *Meteorologia e 507 Sensoriamento Remoto, Oceanografia Física, Oceanografia Química e Oceanografia Geológica*. Programa REVIZEE - Score Nordeste. Martins 508 & Cordeiro, pp. 56–69.
- 509 Medeiros, C., Macedo, S.J., Feitosa, F.A.N., Koenig, M.L., 1999. Hydrography and phytoplankton biomass and abundance of north-east brazilian 510 waters. *Archive of Fishery and Marine Research* 47, 133–151.

- 515 Misic, C., Bavestrello, G., Bo, M., Borghini, M., Castellano, M., Harriague, A.C., Massa, F., Spotorno, F., Povero, P., 2012. The "seamount effect" as
 516 revealed by organic matter dynamics around a shallow seamount in the tyrrhenian sea (vercelli seamount, western mediterranean). Deep Sea
 517 Research Part I: Oceanographic Research Papers 67, 1–11. doi:10.1016/j.dsr.2012.04.012.
- 518 Morato, T., Hoyle, S.D., Allain, V., Nicol, S.J., 2010. Seamounts are hotspots of pelagic biodiversity in the open ocean. Proceedings of the National
 519 Academy of Sciences 107, 9707–9711. doi:10.1073/pnas.0910290107.
- 520 Mouritsen, L.T., 2003. Vertical microscale patchiness innano- and microplankton distributions in a stratified estuary. Journal of Plankton Research
 521 25, 783–797. doi:10.1093/plankt/25.7.783.
- 522 Neumann-Leitão, S., Gusmão, L.M.O., Silva, T., Nascimento-Vieira, D.A., Silva, A.P., 1999. Mesozooplankton biomass and diversity in coastal
 523 and oceanic waters off north-eastern brazil. Archive of fishery and marine research 47, 153–165.
- 524 Nogueira, M.E.S., Sassi, R., 2011. Nychthemeral variations of tintinnina (ciliata, oligotrichida) near the rocas atoll (south atlantic) and relationships
 525 with other microzooplanktonic components. Arquivos de Ciências do Mar 44, 5–11.
- 526 Passavante, J.Z.O., 1979. Contribuição ao estudo dos dinoflagelados da plataforma continental de pernambuco-brasil. Trabalhos Oceanográficos
 527 da Universidade Federal de Pernambuco 14, 31–54.
- 528 Pearman, J.K., Kürten, S., Sarma, Y.V.B., Jones, B.H., Carvalho, S., 2016. Biodiversity patterns of plankton assemblages at the extremes of the red
 529 sea. FEMS Microbiology Ecology 92, fiw002. doi:10.1093/femsec/fiw002.
- 530 Pinto, N.C.T., Mafalda, P., Santos, A.T., 1997. Caracterização do zooplâncton da reserva biológica do atol das rocas, na campanha de março-1991
 531 (verão). Tropical Oceanography 25. doi:10.5914/tropocean.v25i1.2726.
- 532 Pizay, M.D., Lemée, R., Simon, N., Cras, A.L., Laugier, J.P., Dolan, J.R., 2009. Night and day morphologies in a planktonic dinoflagellate. Protist
 533 160, 565–575. doi:10.1016/j.protis.2009.04.003.
- 534 Queiroz, A.R., 2011. Estrutura do microfitoplâncton no arquipélago de São Pedro e São Paulo (Lat. 00°56'2" N e Long. 29°20'6" W): estimativa da
 535 biomassa em carbono através do biovolume celular. Dissertação de mestrado. Universidade Federal de Pernambuco. Recife.
- 536 Queiroz, A.R., Koenig, M.L., Gaspar, F.L., 2014. Cell biovolume and biomass in carbon of microphytoplankton species of oceanic regions,
 537 equatorial atlantic. Tropical Oceanography 42, 131–144. doi:10.5914/tropocean.v42i2.5809.
- 538 Queiroz, A.R., Montes, M.F., de Castro Melo, P.A.M., Silva, R.A., Koenig, M.L., 2015. Vertical and horizontal distribution of phytoplankton
 539 around an oceanic archipelago of the equatorial atlantic. Marine Biodiversity Records 8, e155. doi:10.1017/s175526721500130x.
- 540 Richardson, P.L., McKee, T.K., 1984. Average seasonal variation of the atlantic equatorial currents from historical ship drifts. Journal of Physical
 541 Oceanography 14, 1226–1238. doi:10.1175/1520-0485(1984)014<1226:asvota>2.0.co;2.
- 542 Sahu, G., Mohanty, A.K., Samantara, M.K., Satpathy, K.K., 2014. Seasonality in the distribution of dinoflagellates with special reference to
 543 harmful algal species in tropical coastal environment, bay of bengal. Environmental Monitoring and Assessment 186, 6627–6644. doi:10.
 544 1007/s10661-014-3878-3.
- 545 Saldarriaga, J.F., Taylor, F.J.R., 2017. Dinoflagellata, in: Taylor, F.J.R. (Ed.), Handbook of the Protists. Springer International Publishing, pp.
 546 625–678. doi:10.1007/978-3-319-28149-0_22.
- 547 Sampaio, J.A.A., 1998. Distribuição horizontal e vertical da clorofila a fitoplanctônica em águas da Zona Econômica Exclusiva do Nordeste
 548 Brasileiro. Technical reports, João Pessoa.
- 549 Scheffer, M., Carpenter, S.R., 2003. Catastrophic regime shifts in ecosystems: linking theory to observation. Trends in Ecology & Evolution 18,
 550 648–656. doi:10.1016/j.tree.2003.09.002.
- 551 Schnepf, E., Elbrächter, M., 1992. Nutritional strategies in dinoflagellates. review with emphasis on cell biological aspects. European Journal of
 552 Protistology 28, 3–24. doi:10.1016/s0932-4739(11)80315-9.
- 553 Sherr, E.B., Sherr, B.F., 2007. Heterotrophic dinoflagellates: a significant component of microzooplankton biomass and major grazers of diatoms
 554 in the sea. Marine Ecology Progress Series 352, 187–197. doi:10.3354/meps07161.
- 555 Smalley, G.W., Coats, D.W., Stoecker, D.K., 2003. Feeding in the mixotrophic dinoflagellate is influenced by intracellular nutrient concentrations.
 556 Marine Ecology Progress Series 262, 137–151. doi:10.3354/meps262137.
- 557 Soares, M.O., Lemos, V.B., Kikuchi, R.K.P.D., 2009. Sedimentos carbonáticos bioclásticos do atol das rocas, atlântico sul equatorial. Revista
 558 Brasileira de Geociências 39, 624–634. doi:10.25249/0375-7536.2009394624634.
- 559 Somsap, N., Gajaseni, N., Piumsomboon, A., 2015. Physico-chemical factors influencing blooms of *chaetoceros* spp. and *ceratium furca* in the inner
 560 gulf of thailand. Kasetsart Journal - Natural Science 49, 200–210.
- 561 Song, J., 2010. Biogeochemical Processes of Biogenic Elements in China Marginal Seas. Springer Berlin Heidelberg. doi:10.1007/
 562 978-3-642-04060-3.
- 563 Sournia, A., 1975. Circadian periodicities in natural populations of marine phytoplankton. Advances in Marine Biology 12, 325–389. doi:10.
 564 1016/s0065-2881(08)60460-5.
- 565 Sousa, L., Rivas-Carballo, M.R., Pais, J., 1999. Dinoflagelados. Nomenclatura portuguesa. 13, Centro de Estudos Geológicos, Dep. Ciências da

- 566 Terra, Faculdade de Ciências e Tecnologia (UNL), Caparica, Portugal.
- 567 Souza, C.A., Pecqueur, D., Floc'h, E.L., Mas, S., Roques, C., Mostajir, B., Vidussi, F., Velo-Suárez, L., Sourisseau, M., Fouilland, E., Guillou, L.,
568 2015. Significance of plankton community structure and nutrient availability for the control of dinoflagellate blooms by parasites: A modeling
569 approach. *PLoS ONE* 10, e0127623. doi:10.1371/journal.pone.0127623.
- 570 Souza, C.S., Luz, J.A.G., Macedo, S., Montes, M.J.F., Mafalda, P., 2013. Chlorophyll a and nutrient distribution around seamounts and islands of
571 the tropical south-western atlantic. *Marine and Freshwater Research* 64, 168. doi:10.1071/mf12075.
- 572 Stenseth, N.C., Mysterud, A., 2002. Climate, changing phenology, and other life history traits: Nonlinearity and match-mismatch to the environment.
573 *Proceedings of the National Academy of Sciences* 99, 13379–13381. doi:10.1073/pnas.212519399.
- 574 Strickland, J.D.H., Parsons, T.R., 1972. *A Practical Handbook of Seawater Analysis*. 2nd edition ed., Fisheries Research Board of Canada.
- 575 Susini-Ribeiro, S.M.M., Pompeu, M., Gaeta, S.A., Souza, J.S.D., Masuda, L.S.D., 2013. Topographical and hydrographical impacts on the structure
576 of microphytoplankton assemblages on the abrolhos bank region, brazil. *Continental Shelf Research* 70, 88–96. doi:10.1016/j.csr.2013.09.
577 023.
- 578 Tarangkoon, W., Hansen, G., Hansen, P.J., 2010. Spatial distribution of symbiont-bearing dinoflagellates in the indian ocean in relation to oceano-
579 graphic regimes. *Aquatic Microbial Ecology* 58, 197–213. doi:10.3354/ame01356.
- 580 Taylor, F.J.R., 1973. General features of dinoflagellate material collected by the "anton bruun" during the international indian ocean expedi-
581 tion, in: Zeitzschel, B. (Ed.), *The biology of the Indian Ocean: biological studies*. Springer Berlin Heidelberg, pp. 155–169. doi:10.1007/
582 978-3-642-65468-8_11.
- 583 Taylor, F.J.R., 1976. Dinoflagellates from the international indian ocean expedition. *Bibliotheca Botannica* 132, 1–222.
- 584 Taylor, F.J.R., 1987. *The Biology of Dinoflagellates*. 1 ed., Wiley-Blackwell.
- 585 Taylor, F.J.R., 2004. Harmful dinoflagellate species in space and time and the value of morphospecies, in: Steidinger, K.A., Landsberg, J.H., Tomas,
586 C.R. (Eds.), *Harmful algae*. UNESCO, pp. 555–559.
- 587 Taylor, F.J.R., Hoppenrath, M., Saldarriaga, J.F., 2007. Dinoflagellate diversity and distribution. *Biodiversity and Conservation* 17, 407–418.
588 doi:10.1007/s10531-007-9258-3.
- 589 Tchamabi, C.C., Araujo, M., Silva, M., Bourlès, B., 2017. A study of the brazilian fernando de noronha island and rocas atoll wakes in the tropical
590 atlantic. *Ocean Modelling* 111, 9–18. doi:10.1016/j.ocemod.2016.12.009.
- 591 Tenenbaum, D.R., 2006. *Dinoflagelados e tintínideos da região central da Zona Econômica Exclusiva brasileira: guia de identificação*. Museu
592 Nacional do Rio de Janeiro, Rio de Janeiro.
- 593 Tiburcio, A.S.X.S., Koenig, M.L., Macêdo, S.J., Melo, P.A.M.C., 2011. A comunidade microfitoplanctônica do arquipélago de são pedro e são
594 paulo (atlântico norte-equatorial): variação diurna e espacial. *Biota Neotropica* 11, 203–215. doi:10.1590/s1676-06032011000200021.
- 595 Tunin-Ley, A., Lemée, R., 2013. The genus *neoceratium* (planktonic dinoflagellates) as a potential indicator of ocean warming. *Microorganisms* 1,
596 58–70. doi:10.3390/microorganisms1010058.
- 597 Vargas, C., Audic, S., Henry, N., Decelle, J., Mahe, F., Logares, R., Lara, E., Berney, C., Bescot, N.L., Probert, I., Carmichael, M., Poulain, J.,
598 Romac, S., Colin, S., Aury, J.M., Bittner, L., Chaffron, S., Dunthorn, M., Engelen, S., Flegontova, O., Guidi, L., Horak, A., Jaillon, O., Lima-
599 Mendez, G., Luke, J., Malviya, S., Morard, R., Mulot, M., Scalco, E., Siano, R., Vincent, F., Zingone, A., Dimier, C., Picheral, M., Searson,
600 S., Kandels-Lewis, S., Acinas, S.G., Bork, P., Bowler, C., Gorsky, G., Grimsley, N., Hingamp, P., Judicone, D., Not, F., Ogata, H., Pesant, S.,
601 Raes, J., Sieracki, M.E., Speich, S., Stemmann, L., Sunagawa, S., Weissenbach, J., Wincker, P., Karsenti, E., Boss, E., Follows, M., Karp-Boss,
602 L., Krzic, U., Reynaud, E.G., Sardet, C., Sullivan, M.B., Velayoudon, D., 2015. Eukaryotic plankton diversity in the sunlit ocean. *Science* 348,
603 1261605–1261605. doi:10.1126/science.1261605.
- 604 Villaça, R., Jensen, V.K., 2006. taylor (phaeophyceae, dictyotales): nova ocorrência para o atol das rocas e primeira descrição para a costa brasileira.
605 Arquivos do Museu Nacional 64, 215–221.
- 606 Weiler, C.S., 1980. Population structure and in situ division rates of in oligotrophic waters of the north pacific central gyre. *Limnology and
607 Oceanography* 25, 610–619. doi:10.4319/lo.1980.25.4.0610.
- 608 Yang, J., Beyens, L., Shen, Y., Feng, W., 2004. Redescription of hu, shen, gu et gong, 1997 (protozoa: Rhizopoda: Arcellinida: Diffugidae) from
609 china. *Acta protozoologica* 43, 281–289.

7 CONSIDERAÇÕES FINAIS

Os resultados obtidos nesse estudo contribuíram com o conhecimento sobre o microplâncton do Atol das Rocas, único do Oceano Atlântico Sul. Foi possível identificar os grupos de maior diversidade nessa área, como Copepoda, Radiozoa, Tintinnina, Foraminífero e Dinoflagellata.

Entre os grupos do microzooplâncton encontramos alta abundância de Copepoda, mostrando que eles contribuem de maneira notável como elo na cadeia alimentar. As espécies indicadoras do Atol foram características de águas tropicais oligotróficas sob condições esporádicas de ressurgência, sugerindo que o Atol realmente atua como barreira física para as correntes, ocasionando possível instabilidade, elevando o fluxo de nutrientes e garantindo o aumento da diversidade local.

A classe Policistina, foi mais bem-sucedida no ano de 2014 entre os protistas, provavelmente devido as características intrínsecas deste ano, como maior concentração de nutrientes, o que contribuiu positivamente para a abundância dessa classe. Entretanto, também é importante enfatizar que características de cada espécie (como propriedades morfológicas, mecânicas e fisiológicas) podem ser mais sensíveis à disponibilidade de nutrientes do que a outros parâmetros ambientais.

A temperatura foi o fator que melhor explicou a diferença entre os anos, entretanto para a diferença da comunidade de Dinoflagellata ela não foi a mais explicativa. De modo geral eles parecem ter sucesso nas áreas próximas ao Atol das Rocas, mostrado pela riqueza e densidade observadas, o que pode ser reflexo do grande número de espécies mixotróficas encontradas lá.

Uma questão importante levantada com base em nossos resultados, foi a influência dos efeitos climáticos (El Niño - La Niña) sobre o microplâncton, principalmente sobre a diversidade de Radiozoa e Dinoflagellata.

Devido a localização e por estar em uma área de proteção ambiental o Atol das Rocas não passa por impactos antropogênicos diretos que possam justificar a variação apresentada nessas comunidades entre os anos estudados, podemos sugerir, portanto, que a dinâmica observada seja reflexo de variações climáticas.

As conclusões tiradas nesse trabalho ampliam a importância de novos estudos, assim

como a importância desses grupos no monitoramento dos efeitos das mudanças climáticas nos oceanos tropicais, isso porque variações nas comunidades gerariam impactos gradativos em toda teia trófica, já que eles ocuparem os primeiros níveis da cadeia.

REFERÊNCIAS

- ABDENADHER, M.; HAMZA, A.; FEKIH, W.; HANNACHI, I.; BELLAAJ, A. Z.; BRADAI, M. N.; ALEYA, L. Factors determining the dynamics of toxic blooms of *Alexandrium minutum* during a 10-year study along the shallow southwestern Mediterranean coasts. **Estuarine, Coastal and Shelf Science**, [s.l.], v. 106, p. 102–111, 2012.
- ALMEIDA, F. F. M. Ilhas oceânicas brasileiras e suas relações com a tectônica atlântica. **Terrae Didatica**, [s.l.], v. 2, n. 1, p. 3, 2015.
- ARAÚJO, M.; CINTRA, M. Modelagem matemática da circulação oceânica na região equatorial do Arquipélago de São Pedro e São Paulo. In: VIANA, D. L.; HAZIN, F. H. V.; SOUZA, M. A. C. **O arquipélago de São Pedro e São Paulo: 10 anos de estação científica**. Brasília: SECRIM, 2009. P. 106–113.
- ARNAULT, S. Tropical Atlantic geostrophic currents and ship drifts. **Journal of Geophysical Research**, [s.l.], v. 92, n. C5, p. 5076, 1987.
- ATKINSON, A.; SIEGEL, V.; PAKHOMOV, E.; ROTHERY, P. Long-term decline in krill stock and increase in salps within the Southern Ocean. **Nature**, [s.l.], v. 432, n. 7013, p. 100–103, 2004.
- BAEK, S. H.; SHIMODE, S.; HAN, M.-S.; KIKUCHI, T. Growth of dinoflagellates, *Ceratium furca* and *Ceratium fusus* in Sagami Bay, Japan: The role of nutrients. **Harmful Algae**, [s.l.], v. 7, n. 6, p. 729–739, out. 2008.
- BAEK, S. H.; SHIMODE, S.; SHIN, K.; HAN, M.-S.; KIKUCHI, T. Growth of dinoflagellates, *Ceratium furca* and *Ceratium fusus* in Sagami Bay, Japan: The role of vertical migration and cell division. **Harmful Algae**, [s.l.], v. 8, n. 6, p. 843–856, 2009.
- BEAUGRAND, G. Reorganization of North Atlantic marine copepod biodiversity and climate. **Science**, [s.l.], v. 296, n. 5573, p. 1692–1694, 2002.
- BECKER, H. **Hidrologia dos bancos e ilhas oceânicas do nordeste brasileiro. Uma contribuição ao Programa REVIZEE**. 2001. Tese (Doutorado) – Universidade Federal de São Carlos, São Carlos.
- BEERS, J. R. Determinación de la biomasa del zooplancton. In: BOLTOVSKOY, D. (Ed.). **Atlas del zooplancton del Atlántico Sudoccidental y métodos de trabajo com el zooplancton marino**. Mar del Plata: INIDEP, 1981. v. 2. P. 133–141.
- BEHRENFELD, M. J.; WESTBERRY, T. K.; BOSS, E. S.; O'MALLEY, R. T.; SIEGEL, D. A.; WIGGERT, J. D.; FRANZ, B. A.; MCCLAIN, C. R.; FELDMAN, G. C.; DONEY, S. C.; MOORE, J. K.; DALL'OLMO, G.; MILLIGAN, A. J.; LIMA, I.; MAHOWALD, N. Satellite-detected fluorescence reveals global physiology of ocean phytoplankton. **Biogeosciences**, [s.l.], v. 6, n. 5, p. 779–794, 2009.
- BERNARD, R.; BATTEEN, S.; BEAUGRAND, G.; BUCKLAND, C. Continuous plankton records: Plankton atlas of the North Atlantic Ocean (1958-1999). II. Biogeographical charts. **Marine Ecology Progress Series**, [s.l.], Supplement, p. 11–75, 2011.

BOEHLERT, G. W.; GENIN, A. A review of the effects of seamounts on biological processes. *in:* KEATING, B. H.; FRYER, P.; BATIZA, R.; BOEHLERT, G. W. (Ed.). **Seamounts Islands and Atolls**. Whashington: American Geophysical Union, 1987. (Geophysical Monograph, 43). P. 319–334.

BOLTOVSKOY, D. **Atlas del Zooplancton del Atlántico Sudoccidental y métodos de trabajo con el zooplancton marino**. 1. ed. Mar del Plata: Instituto Nacional de Investigacion y Desarrollo Pesquero, 1981.

_____. Radiolaria Polycystina. *in:* _____. **South Atlantic Zooplankto**. [S.l.]: The Netherlands: Backhuys Publishers, 1999. P. 149–212.

BOLTOVSKOY, D.; PUJANA, I. Radiozoa. *in:* CAMACHO, H. (Ed.). **Invertebrados Fósiles**. Buenos Aires: Universidad Buenos Aires Maimónides, 2007. P. 111–132.

BOURLÈS, B.; GOURIOU, Y.; CHUCHLA, R. On the circulation in the upper layer of the western equatorial Atlantic. **Journal of Geophysical Research: Oceans**, [s.l.], v. 104, n. C9, p. 21151–21170, 1999.

BRADFORD-GRIEVE, J.; MARKHASEVA, E.; ROCHA, C.; ABIAHY, B. Copepoda. *in:* BOLTOVSKOY, D. (Ed.). **South Atlantic Zooplankton**. [S.l.]: Backhuys Publishers, 1999. v. 2. P. 869–1098.

BRANDINI, F. P.; FERNANDES, L. F. Microalgae of the continental shelf off Paraná State, southeastern Brazil: a review of studies. **Revista Brasileira de Oceanografia**, [s.l.], v. 44, n. 1, p. 69–80, 1996.

BRASIL. **Plano de Manejo para a Reserva Biológica do Atol das Rocas**. 1. ed. Brasília: Ministério do Meio Ambiente, Instituto Chico Mendes de Conservação da Biodiversidade, 2007. Disponível em: http://www.icmbio.gov.br/portal/im%20ages/stories/imgs-unidadescoservacao/rebio_atol-das-rocas.pdf.

BRUCE, D.; VASIL'EV, S. Excess light stress: multiple dissipative processes of excess excitation. *in:* PAPAGEORGIOU, G. C.; GOVINDJEE (Ed.). **Chlorophyll a Fluorescence: A signature of Photosynthesis. Advances in Photosynthesis and Respiration**. [S.l.]: Springer, 2004. v. 19. P. 497–523.

BRUGGEMAN, J.; KOOIJMAN, S. A. L. M. A biodiversity-inspired approach to aquatic ecosystem modeling. **Limnology and Oceanography**, [s.l.], v. 52, n. 4, p. 1533–1544, 2007.

BURKILL, P. H.; EDWARDS, E. S.; JOHN, A. W. G.; SLEIGH, M. A. Microzooplankton and their herbivorous activity in the northeastern Atlantic Ocean. **Deep Sea Research Part II: Topical Studies in Oceanography**, [s.l.], v. 40, n. 1-2, p. 479–493, 1993.

CALBET, A.; LANDRY, M. R. Phytoplankton growth, microzooplankton grazing, and carbon cycling in marine systems. **Limnology and Oceanography**, [s.l.], v. 49, n. 1, p. 51–57, 2004.

CAMPBELL, A. S. Radiozoa. *in:* MOORE, R. C. (Ed.). **Treatise on Invertebrate Paleontology. Part D, Protista 3: Protozoa (chiefly Radiozoa and Tintinnina)**. Lawrence: Geological Society of America e University of Kansas Academic Press, 1954. P. 11–163.

- CAPRIULO, G.; CARPENTER, E. Abundance, species composition and feeding impact of Tintinnid micro-zooplankton in central long island sound. **Marine Ecology Progress Series**, [s.l.], v. 10, p. 277–288, 1983.
- CASTRO-FILHO, B.; BRANDINI, F.; PIRES-VANIN, A. M. S.; MIRANDA, L. B. Multidisciplinary Oceanographic Processes on the Western Atlantic Continental Shelf between 4°N and 34°S. *in:* THE Sea, Vol. 14A - The Global Coastal Ocean: Interdisciplinary Regional Studies and Syntheses. Cambridge: Harvard University Academic Press, 2006. P. 259–293.
- CHEN, R. F.; BADA, J. L. The fluorescence of dissolved organic matter in seawater. **Marine Chemistry**, [s.l.], v. 37, p. 191–221, 1992.
- CHEW, L.-L.; CHONG, V. C.; OOI, A. L.; SASEKUMAR, A. Vertical migration and positioning behavior of copepods in a mangrove estuary: Interactions between tidal, diel light and lunar cycles. **Estuarine, Coastal and Shelf Science**, [s.l.], v. 152, p. 142–152, 2015.
- CLAY, T. W.; BOLLENS, S. M.; BOCHDANSKY, A. B.; IGNOFFO, T. R. The effects of thin layers on the vertical distribution of larval Pacific herring, *Clupea pallasi*. **Journal of Experimental Marine Biology and Ecology**, [s.l.], v. 305, n. 2, p. 171–189, 2004.
- COHEN, J. H.; FORWARD, R. B. Diel vertical migration of the marine copepod *Calanopia americana*. **Marine Biology**, [s.l.], v. 147, n. 2, p. 399–410, 2005.
- COLLOS, Y.; MAESTRINI, S. Y.; ROBERT, J. M. Nocturnal synthesis and diurnal degradation of phytoplankton biomass in surface waters. **Marine Biology**, [s.l.], v. 101, n. 4, p. 457–462, 1989.
- CORDEIRO, T. A.; BRANDINI, F. P.; ROSA, R. S.; SASSI, R. Deep Chlorophyll Maximum in Western Equatorial Atlantic - How does it Interact with Islands Slopes and Seamounts? **Marine Science**, [s.l.], v. 3, n. 1, p. 30–37, 2013.
- CORREIA, E. P. **Migração vertical do microzooplâncton do Arquipélago de São Pedro e São Paulo**. 2014. Dissertação de Mestrado – Universidade Federal de Pernambuco, Recife.
- COSTA, A. E. S. F.; SANTANA, J. R.; MELO, P. A. M. C.; NEUMANN-LEITÃO, S. Polycystine radiolarians within oligotrophic waters: higher abundance closer to tropical oceanic islands. **Tropical Ecology**, [s.l.], v. 60, n. 2, p. 261–270, 2019.
- CREITZ, G. I.; RICHARDS, F. A. The estimation and characterization of the plankton populations by pigment analysis. III. A note of the use of Millipore membrane filters in the estimation of plankton pigments. **Jounal of Marine Research**, [s.l.], v. 14, n. 3, p. 211–216, 1955.
- DOLAN, J. R.; LEMÉE, R.; GASPARINI, S.; MOUSSEAU, L.; HEYNDRICKX, C. Probing diversity in the plankton: using patterns in Tintinnids (planktonic marine ciliates) to identify mechanisms. **Hydrobiologia**, [s.l.], v. 555, n. 1, p. 143–157, 2006.
- DOLAN, J. Tintinnid ciliate diversity in the Mediterranean Sea: longitudinal patterns related to water column structure in late spring-early summer. **Aquatic Microbial Ecology**, [s.l.], v. 22, p. 69–78, 2000.

- DOTY, M. S.; OGURI, M. The Island Mass Effect. **ICES Journal of Marine Science**, [s.l.], v. 22, n. 1, p. 33–37, 1956.
- DU, P.; JIANG, Z. B.; WANG, Y. M.; QIAN, P.; HU, H. J.; LIAO, Y. B.; ZHOU, K. L.; ZENG, J. N.; CHEN, Q. Z.; SHOU, L.; ZHANG, D. M. Spatial heterogeneity of the planktonic protistan community in a semi-closed eutrophic bay, China. **Journal of Plankton Research**, [s.l.], v. 41, n. 3, p. 223–239, 2017.
- DUFRÈNE, M.; LEGENDRE, P. Species assemblages and indicator species: The need for a flexible asymmetrical approach. **Ecological Monographs**, [s.l.], v. 67, n. 3, p. 345–366, 1997.
- EDWARDS, M.; BEAUGRAND, G.; REID, P. C.; ROWDEN, A. A.; JONES, M. B. Ocean climate anomalies and the ecology of the North Sea. **Marine Ecology Progress Series**, [s.l.], v. 239, p. 1–10, 2002.
- EDWARDS, M.; RICHARDSON, A. J. The impact of climate change on the phenology of the plankton community and trophic mismatch. **Nature**, [s.l.], v. 430, n. 7002, p. 881–884, 2004.
- EKAU, W.; KNOPPERS, B. A. An introduction to the pelagic system of the North-East and East Brazilian Shelf. **Archive of Fishery and Marine Research**, [s.l.], v. 47, n. 2, p. 113–132, 1999.
- ELANGOVAN, S.; ARUN KUMAR, M.; KARTHIK, R.; SIVA SANKAR, R.; JAYABARATHI, R.; PADMAVATI, G. Abundance, species composition of microzooplankton from the coastal waters of Port Blair, South Andaman Island. **Aquatic Biosystems**, [s.l.], v. 8, n. 1, p. 20, 2012.
- ESKINAZI-LEÇA, E.; MOURA, A.; SILVA-CUNHA, M.; KOENING, M. Microalgas marinhas do estado de Pernambuco: diagnóstico da biodiversidade de Pernambuco. In: TABARELLI, M.; SILVA, J. M. C. (Ed.). **Diagnóstico da biodiversidade de Pernambuco**. [S.l.]: Secretaria de Ciência Tecnologia e Meio Ambiente/Editora Massangana, 2002. v. 1. P. 79–96.
- FALKOWSKI, P. G.; FENCHEL, T.; DELONG, E. F. The Microbial Engines That Drive Earth's Biogeochemical Cycles. **Science**, [s.l.], v. 320, n. 5879, p. 1034–1039, 2008.
- FALKOWSKI, P. G.; KOLBER, Z. Variations in Chlorophyll Fluorescence Yields in Phytoplankton in the World Oceans. **Functional Plant Biology**, [s.l.], v. 22, n. 2, p. 341, 1995.
- FALKOWSKI, P.; KIEFER, D. A. Chlorophyll a fluorescence in phytoplankton: relationship to photosynthesis and biomass. **Journal of Plankton Research**, [s.l.], v. 7, n. 5, p. 715–731, 1985.
- FAURE, E.; NOT, F.; BENOISTON, A.-S.; LABADIE, K.; BITTNER, L.; AYATA, S.-D. Mixotrophic protists display contrasted biogeographies in the global ocean. **The ISME Journal**, [s.l.], v. 13, n. 4, p. 1072–1083, 2019.
- FEHLING, J.; DAVIDSON, K.; BOLCH, C. J. S.; BRAND, T. D.; NARAYANASWAMY, B. E. The Relationship between Phytoplankton Distribution and Water

Column Characteristics in North West European Shelf Sea Waters. **PLoS ONE**, [s.l.], v. 7, n. 3, e34098, 2012.

FEITOSA, F. A. D. N.; PASSAVANTE, J. Z. O. Produtividade fitoplanctônica e hidrologia do Atol das Rocas (Brasil). *in:* CHELLAPPA, N. T.; CHELLAPA, S.; PASSAVANTE, J. Z. O. (Ed.). **Ecología aquática tropical**. [S.l.]: ServGraf, 2004. P. 143–156.

FERNÁNDEZ, F. Efecto de la intensidad de luz natural en la actividad metabólica y en la alimentación de varias especies de copépodos planctónicos. **Investigación Pesquera**, [s.l.], v. 41, p. 575–602, 1977.

FLYNN, K. J.; STOECKER, D. K.; MITRA, A.; RAVEN, J. A.; GLIBERT, P. M.; HANSEN, P. J.; GRANÉLI, E.; BURKHOLDER, J. M. Misuse of the phytoplankton–zooplankton dichotomy: the need to assign organisms as mixotrophs within plankton functional types. **Journal of Plankton Research**, [s.l.], v. 35, n. 1, p. 3–11, 2012.

FOISSNER, W.; HAWKSWORTH, D. L. **Protist Diversity and Geographical Distribution**. [S.l.]: Springer Netherlands, 2009. DOI: 10.1007/978-90-481-2801-3.

FONTENEAU, A. Monts sous-marins et thons dans l'Atlantique tropical est. **Aquatic Living Resources**, [s.l.], v. 4, n. 1, p. 13–25, 1991.

FORWARD, R. B. J.; TANKERSLEY, R. A. Selective tidal stream transport of marine animals. Oceanography and Marine Biology: an annual Review. **Aberdeen University Press**, [s.l.], v. 39, p. 305–353, 2001.

FRANZÈ, G.; LAVRENTYEV, P. J. Microzooplankton Growth Rates Examined across a Temperature Gradient in the Barents Sea. **PLoS ONE**, [s.l.], v. 9, n. 1, e86429, 2014.

FUKAMI, K.; WATANABE, A.; FUJITA, S.; YAMAOKA, K.; NISHIJIMA, T. Predation on naked protozoan microzooplankton by fish larvae. **Marine Ecology Progress Series**, [s.l.], v. 185, p. 285–291, 1999.

GAINES, G.; ELBRÄCHTER, M. Heterotrophic nutrition. *in:* TAYLOR, F. J. R. (Ed.). **The biology of Dinoflagellates**. [S.l.]: Botanical monographs, 1987. v. 21. P. 224–268.

GARCÉS, E.; DELGADO, M.; MASÓ, M.; CAMP, J. Life history and growth rates of *Alexandrium taylori* (Dinophyceae, Pyrrhophyta). **Journal of Phycology**, [s.l.], v. 34, n. 5, p. 880–887, 1998.

GARRISON, T. **Fundamentos de Oceanografia**. São Paulo: Cengage Learning, 2010.

GAUNS, M.; MOHANRAJU, R.; MADHUPRATAP, M. Studies on the microzooplankton from the central and eastern Arabian Sea. **Current Science**, [s.l.], v. 71, p. 874–877, 1996.

GENIN, A. Bio-physical coupling in the formation of zooplankton and fish aggregations over abrupt topographies. **Journal of Marine Systems**, [s.l.], 2004.

GIFFORD, D. J. The protozoan-metazoan trophic link in pelagic ecosystems. **The Journal of Protozoology**, [s.l.], v. 38, n. 1, p. 81–86, 1991.

GODHANTARAMAN, N. Seasonal variations in species composition, abundance, biomass and estimated production rates of tintinnids at tropical estuarine and mangrove waters, Parangipettai, southeast coast of India. **Journal of Marine Systems**, [s.l.], v. 36, n. 3-4, p. 161–171, 2002.

_____. Seasonal variations in taxonomic composition, abundance and food web relationship of microzooplankton in estuarine and mangrove waters, Parangipettai region, southeast coast of India. **Indian Journal of Marine Sciences**, [s.l.], v. 30, p. 151–160, 2001.

GODHANTARAMAN, N.; UYE, S.-I. Geographical variations in abundance, biomass and trophic role of microzooplankton across an inshore - offshore gradient in the Inland Sea of Japan and adjacent Pacific Ocean. **Plankton Biology & Ecology**, [s.l.], v. 48, n. 1, p. 19–27, 2001.

GOES, C. A. **Análise Da Dispersão de Larvas de Lagostas No Atlântico Tropical a Partir de Correntes Geostróficas Superficiais Derivadas Por Satélites**. 2006. 93 f. Dissertação (Mestrado) – Instituto Nacional de Pesquisas Espaciais, São José dos Campos.

GÓMEZ, F. Reinstatement of the dinoflagellate genus *Tripos* to replace *Neoceratium*, marine species of *Ceratium* (Dinophyceae, Alveolata). **CICIMAR Oceánides**, [s.l.], v. 28, n. 1, p. 1–22, 2013.

GÓMEZ, F. A quantitative review of the lifestyle, habitat and trophic diversity of dinoflagellates (Dinoflagellata, Alveolata). **Systematics and Biodiversity**, [s.l.], v. 10, n. 3, p. 267–275, 2012.

GONZÁLEZ-QUIRÓS, R.; CABAL, J.; ÁLVAREZ-MARQUÉS, F.; ISLA, A. Ichthyoplankton distribution and plankton production related to the shelf break front at the Avilés Canyon. **ICES Journal of Marine Science**, [s.l.], v. 60, n. 2, p. 198–210, 2003.

GORINI, M. A.; BRYAN, G. M. Semi-isolated basin off Northeast Brazilian margin. **Transactions American Geophysical Union**, [s.l.], v. 55, n. 4, p. 278–279, 1974.

GOVE, J. M.; MCMANUS, M. A.; NEUHEIMER, A. B.; POLOVINA, J. J.; DRAZEN, J. C.; SMITH, C. R.; MERRIFIELD, M. A.; FRIEDLANDER, A. M.; EHSES, J. S.; YOUNG, C. W.; DILLON, A. K.; WILLIAMS, G. J. Near-Island Biological Hotspots in Barren Ocean Basins. **Nature Communications**, [s.l.], v. 7, n. 1, p. 10581, 2016.

GRANÉLI, E.; HANSEN, P. J. Allelopathy in harmful algae: A mechanism to compete for resources? *in:* GRANÉLI, E.; TURNER, J. T. (Ed.). **Ecology of Harmful Algae**. Amsterdam: Springer, 2006. P. 125–146.

GRASSHOFF, K.; EHRHARDT, M. **Methods of seawater analysis**. 3. ed. Weinheim: Verlag Chemie, 1983.

HANSEN, P. J. Quantitative importance and trophic role of heterotrophic dinoflagellates in a coastal pelagic food web. **Marine Ecology Progress Series**, [s.l.], v. 73, p. 253–261, 1991.

HARAGUCHI, L.; ODEBRECHT, C. Dinophysiales (Dinophyceae) no extremo Sul do Brasil (inverno de 2005, verão de 2007). **Biota Neotropica**, [s.l.], v. 10, n. 3, p. 101–114, 2010.

- HAYS, G. C.; RICHARDSON, A. J.; ROBINSON, C. Climate Change and Marine Plankton. **Trends in ecology & evolution**, [s.l.], v. 20, n. 6, p. 337–344, 2005.
- HEMLEBEN, C.; SPINDLER, M.; ANDERSON, O. R. **Modern Planktonic Foraminifera**. New York: Springer-Verlag, 1989.
- HERNÁNDEZ LEÓN, S.; ALMEIDA, C.; GÓMEZ, M.; TORRES, S.; MONTERO, I.; PORTILLO HAHNEFELD, A. Zooplankton biomass and indices of feeding and metabolism in island generated eddies around Gran Canaria. **Journal of Marine Systems**, [s.l.], v. 30, n. 1-2, p. 51–66, 2001.
- HERNÁNDEZ-LEÓN, S.; PUTZEYS, S.; ALMEIDA, C.; BÉCOGNÉE, P.; MARRERO-DÍAZ, A.; ARÍSTEGUI, J.; YEBRA, L. Carbon export through zooplankton active flux in the Canary Current. **Journal of Marine Systems**, [s.l.], v. 189, p. 12–21, 2019.
- HILLARY, R. M.; BEES, M. A. Plankton lattices and the role of chaos in plankton patchiness. **Physical Review E**, [s.l.], v. 69, n. 3, p. 1–11, 2004.
- HINDER, S. L.; MANNING, J. E.; GRAVENOR, M. B.; EDWARDS, M.; WALNE, A. W.; BURKILL, P. H.; HAYS, G. C. Long-term changes in abundance and distribution of microzooplankton in the NE Atlantic and North Sea. **Journal of Plankton Research**, [s.l.], v. 34, n. 1, p. 83–91, 2011.
- HOUGH, A. R.; NAYLOR, E. Endogenous rhythms of circatidal swimming activity in the estuarine copepod *Eurytemora affinis* (Poppe). **Journal of Experimental Marine Biology and Ecology**, [s.l.], v. 161, n. 1, p. 27–32, 1992.
- HUGHES, L. Biological consequences of global warming: is the signal already apparent? **Trends in Ecology & Evolution**, [s.l.], v. 15, n. 2, p. 56–61, 2000.
- HUNTER, M. D.; PRICE, P. W. Playing Chutes and Ladders: Heterogeneity and the Relative Roles of Bottom-up and Top-down Forces in Natural Communities. **Ecology**, [s.l.], v. 73, n. 3, p. 724–732, 1992.
- IRIGOIEN, X.; FLYNN, K. J.; HARRIS, R. P. Phytoplankton blooms: a ‘loophole’ in microzooplankton grazing impact? **Journal of Plankton Research**, [s.l.], v. 27, n. 4, p. 313–321, 2005.
- JACOBSON, D. M.; ANDERSON, D. M. Thecate heteroprophic dinoflagellates: Feeding behavior and mechanisms. **Journal of Phycology**, [s.l.], v. 22, n. 3, p. 249–258, 1986.
- JALES, M. C. **Influência das condições oceanográficas sobre a estrutura da comunidade fitoplanctônica no Atol das Rocas, Atlântico Sul Equatorial, Brasil**. 2015. F. 94. Diss. (Mestrado) – Universidade Federal de Pernambuco, Recife.
- JALES, M. C.; FEITOSA, F. A. d. N.; KOENING, M. L.; MONTES, M. d. J. F.; ARAÚJO FILHO, M. C. de; SILVA, R. A. da. Phytoplankton biomass dynamics and environmental variables around the Rocas Atoll Biological Reserve, South Atlantic. **Brazilian Journal of Oceanography**, [s.l.], v. 63, n. 4, p. 443–454, 2015.

- JI, R.; FRANKS, P. J. S. Vertical migration of dinoflagellates: model analysis of strategies, growth, and vertical distribution patterns. **Marine Ecology Progress Series**, [s.l.], v. 344, p. 49–61, 2007.
- JOSEPH, K. J.; PILLAI, V. K. Seasonal and spatial distribution of phytoplankton in Cochin backwaters. **Bulletin of the Department of Marine Science University of Cochin**, [s.l.], v. 7, p. 171–180, 1975.
- JYOTHIBABU, R.; MADHU, N.; JAYALAKSHMI, K.; BALACHANDRAN, K.; SHIYAS, C.; MARTIN, G.; NAIR, K. Impact of freshwater influx on microzooplankton mediated food web in a tropical estuary (Cochin backwaters – India). **Estuarine, Coastal and Shelf Science**, [s.l.], v. 69, n. 3-4, p. 505–518, 2006.
- KIEFER, D. A.; REYNOLDS, R. A. Advances in Understanding Phytoplankton Fluorescence and Photosynthesis. *in:* FALKOWSKI, P. G. (Ed.). **Primary Productivity and Biogeochemical Cycles in the Sea**. [S.l.]: Springer US, 1992. P. 155–174. DOI: 10.1007/978-1-4899-0762-2_10.
- KIKUCHI, R. K. P. D. Atol das Rocas, Litoral do Nordeste do Brasil - Único atol do Atlântico Sul Equatorial Ocidental. *in:* SCHOBENHAUS, C.; CAMPOS, D. A.; QUEIROZ, E. T.; WINGE, M.; BERBERT-BORN, M. L. C. (Ed.). **Sítios Geológicos e Paleontológicos do Brasil**. Brasilia: DNPM/CPRM, 2002. P. 379–390.
- _____ . Geomorfologia, Estratigrafia e Sedimentologia do Atol das Rocas (Rebio, IBAMA / RN). 1994. Diss. (Mestrado) – Universidade Federal da Bahia, Salvador.
- KOENING, M. L.; OLIVEIRA, M. S. Estrutura da comunidade fitoplanctônica. *in:* VIANA, D. L.; HAZIN, F. H. V.; SOUZA, M. A. C. (Ed.). **O arquipélago São Pedro e São Paulo: 10 anos de Estação científica**. 1. ed. Brasília: SECRIM, 2009. P. 117–128.
- KOENING, M. L.; LIRA, C. G. O gênero Ceratium Schrank (Dinophyta) na plataforma continental e águas oceânicas do Estado de Pernambuco, Brasil. **Acta Botanica Brasilica**, [s.l.], v. 19, n. 2, p. 391–397, 2005.
- KOENING, M. L.; MACÊDO, S. J. Hydrology and phytoplankton community structure at Itamaracá-Pernambuco (Northeast Brazil). **Brazilian Archives of Biology and Technology**, [s.l.], v. 42, n. 4, 1999.
- KOFOID, C. A. **Exuviation, autotomy and regeneration in Ceratium**. [S.l.]: The University Press, 1908. DOI: 10.5962/bhl.title.57672.
- KRSINIC, F.; GRBEC, B. Horizontal distribution of tintinnids in the open waters of the South Adriatic (Eastern Mediterranean). **Scientia Marina**, [s.l.], v. 70, n. 1, p. 77–88, 2006.
- LAVRENTYEV, P.; FRANZÈ, G.; PIERSON, J.; STOECKER, D. The effect of dissolved polyunsaturated aldehydes on microzooplankton growth rates in the Chesapeake Bay and Atlantic coastal waters. **Marine Drugs**, [s.l.], v. 13, n. 5, p. 2834–2856, 2015.
- LENZ, J. Introduction. *in:* HARRIS, R.; WIEBE, P.; LENZ, J.; SKOLJOLDAL, H. R.; HUNTLEY, M. **ICES zooplankton methodology manual**. [S.l.]: Elsevier, 2000. P. 193–221.

LESSA, R.; MAFALDA-JR., P.; ADVÍNCULA, R.; LUCCHESI, R.; BEZERRA-JR., J.; VASKE-JR., T.; HELLEBRANDT, D. Distribution and abundance of ichthyoneuston at seamounts and islands off north-eastern Brazil. **Archive of Fishery and Marine Research**, [s.l.], v. 47, n. 2/3, p. 239–252, 1999.

LIMA-MENDEZ, G.; FAUST, K.; HENRY, N.; DECELLE, J.; COLIN, S.; CARCILLO, F.; CHAFFRON, S.; IGNACIO-ESPINOSA, J. C.; ROUX, S.; VINCENT, F.; BITTNER, L.; DARZI, Y.; WANG, J.; AUDIC, S.; BERLINE, L.; BONTEMPI, G.; CABELLO, A. M.; COPPOLA, L.; CORNEJO-CASTILLO, F. M.; D'OIDIO, F.; MEESTER, L. D.; FERRERA, I.; GARET-DELMAS, M.-J.; GUIDI, L.; LARA, E.; PESANT, S.; ROYO-LLONCH, M.; SALAZAR, G.; SANCHEZ, P.; SEBASTIAN, M.; SOUFFREAU, C.; DIMIER, C.; PICHERAL, M.; SEARSON, S.; KANDELS-LEWIS, S.; GORSKY, G.; NOT, F.; OGATA, H.; SPEICH, S.; STEMMANN, L.; WEISSENBACH, J.; WINCKER, P.; ACINAS, S. G.; SUNAGAWA, S.; BORK, P.; SULLIVAN, M. B.; KARSENTI, E.; BOWLER, C.; VARGAS, C. de; RAES, J. Determinants of community structure in the global plankton interactome. **Science**, [s.l.], v. 348, n. 6237, p. 1262073–1262073, 2015.

LINLEY, E.; NEWELL, R.; LUCAS, M. Quantitative relationships between phytoplankton, bacteria and heterotrophic microflagellates in shelf waters. **Marine Ecology Progress Series**, [s.l.], v. 12, p. 77–89, 1983.

LONGHURST, A. R.; PAULY, D. **Ecologia de Oceanos Tropicais**. 1. ed. [S.l.: s.n.], 2007. 419 p.

MACKAS, D. L.; PEPIN, P.; VERHEYE, H. Interannual variability of marine zooplankton and their environments: within- and between-region comparisons. **Progress in Oceanography**, [s.l.], v. 97-100, p. 1–14, 2012.

MARGALEF, R. Life-Forms of Phytoplankton as Survival Alternatives in an Unstable Environment. Edição: Gauthier-Villars. **Oceanologica Acta**, [s.l.], v. 1, n. 4, p. 493–509, 1978.

MARSHALL, S. M. Respiration and Feeding in Copepods. *in:* ADVANCES in Marine Biology. [S.l.]: Elsevier, 1973. P. 57–120. DOI: 10.1016/s0065-2881(08)60268-0.

MCCLATCHIE, S. Time-series feeding rates of the euphausiid *Thysanoessa raschii* in a temporally patchy food environment. **Limnology and Oceanography**, [s.l.], v. 31, n. 3, p. 469–477, 1986.

MCKINNON, A. D.; RICHARDSON, A. J.; BURFORD, M. A.; FURNAS, M. J. Vulnerability of Great Barrier Reef plankton to climate change. *in:* JOHNSON, J. E.; MARSHALL, P. A. (Ed.). **Climate Change and the Great Barrier Reef**. [S.l.]: Great Barrier Reef Marine Park Authority, 2007. P. 121–152.

MCLAREN, I. A. Effects of temperature on growth of zooplankton, and the adaptive value of vertical migration. **Deep Sea Research and Oceanographic Abstracts**, [s.l.], v. 11, n. 3, p. 498, 1964.

MCMANUS, G. B.; EDERINGTON-CANTRELL, M. C. Phytoplankton pigments and growth rates, and microzooplankton grazing in a large temperate estuary. **Marine Ecology Progress Series**, [s.l.], v. 87, p. 77–85, 1992.

MEDEIROS, C.; ARAÚJO, M.; FREITAS, I.; ROLLNIC, M. Massas d'água da região oeste do Atlântico tropical. In: HAZIN, F. H. V. (Ed.). **Meteorologia e Sensoriamento Remoto, Oceanografia Física, Oceanografia Química e Oceanografia Geológica. Programa REVIZEE - Score Nordeste.** [S.l.]: Martins & Cordeiro, 2009. P. 56–69.

MEDEIROS, C.; MACEDO, S. J.; FEITOSA, F. A. N.; KOENING, M. L. Hydrography and Phytoplankton Biomass and Abundance of North-East Brazilian Waters. **Archive of Fishery and Marine Research**, [s.l.], v. 47, n. 2-3, p. 133–151, 1999.

MEDVINSKY, A. B.; TIKHONNOVA, I. A.; ALIEV, R. R.; LI, B.-L.; LIN, Z.-S.; MALCHOW, H. Patchy environment as a factor of complex plankton dynamics. **Physical Review E**, [s.l.], v. 64, n. 2, p. 1–7, 2001.

MELO, P. A. M. C. **Dinâmica em microescala do mesozooplâncton do Arquipélago de São Pedro e São Paulo – NE, (Brasil).** 2009. F. 64. Diss. (Mestrado) – Universidade Federal de Pernambuco.

MELO, P. A. M. C.; DIAZ, X. F. G.; MACEDO, S. J.; NEUMANN-LEITÃO, S. Diurnal and spatial variation of the mesozooplankton community in the Saint Peter and Saint Paul Archipelago, Equatorial Atlantic. **Marine Biodiversity Records**, [s.l.], v. 5, 2012.

MISIC, C.; BAVESTRELLO, G.; BO, M.; BORGHINI, M.; CASTELLANO, M.; HARRIAGUE, A. C.; MASSA, F.; SPOTORNO, F.; POVERO, P. The "seamount effect" as revealed by organic matter dynamics around a shallow seamount in the Tyrrhenian Sea (Vercelli Seamount, western Mediterranean). **Deep Sea Research Part I: Oceanographic Research Papers**, [s.l.], v. 67, p. 1–11, 2012.

MORATO, T.; HOYLE, S. D.; ALLAIN, V.; NICOL, S. J. Seamounts are hotspots of pelagic biodiversity in the open ocean. **Proceedings of the National Academy of Sciences**, [s.l.], v. 107, n. 21, p. 9707–9711, 2010.

MOURITSEN, L. T. Vertical microscale patchiness innano- and microplankton distributions in a stratified estuary. **Journal of Plankton Research**, [s.l.], v. 25, n. 7, p. 783–797, 2003.

MUNK, P.; LARSSON, P.; DANIELSEN, D.; MOKSNESS, E. Larval and small juvenile cod *Gadus morhua* concentrated in the highly productive areas of a shelf break front. **Marine Ecology Progress Series**, [s.l.], v. 125, p. 21–30, 1995.

NEUMANN-LEITÃO, S.; GUSMÃO, L. M. O.; SILVA, T.; NASCIMENTO-VIEIRA, D. A.; SILVA, A. P. Mesozooplankton Biomass and Diversity in Coastal and Oceanic Waters off North-Eastern Brazil. **Archive of fishery and marine research**, [s.l.], v. 47, n. 2-3, p. 153–165, 1999.

NOGUEIRA, E. M. S.; SASSI, R.; CORDEIRO, T. A. The Rhabdonellidae (Tintinnina, Oligotrichida) from Atol das Rocas and Fernando de Noronha Archipelago, southwestern Atlantic, Brazil. **Arquivos de Ciências do Mar**, [s.l.], v. 38, n. 1–2, p. 93–104, 2005.

NOGUEIRA, E. M. S.; SASSI, R.; CORDEIRO, T. A. Estrutura da comunidade dos Tintinnina na região do Atol das Rocas (Rio Grande do Norte) e Arquipélago de Fernando de Noronha (Pernambuco). **Biota Neotropica**, [s.l.], v. 8, n. 3, p. 135–140, 2008.

NOGUEIRA, M. E. S.; SASSI, R. Nychthemeral variations of Tintinnina (Ciliata, Oligotrichida) near the Rocas Atoll (South Atlantic) and relationships with other microzooplanktonic components. **Arquivos de Ciências do Mar**, [s.l.], v. 44, n. 1, p. 5–11, 2011.

NUNES, R. D. **Zooplâncton da plataforma continental de Santa Catarina. Ênfase em Copepoda e Cladocera e suas relações com os processos físicos costeiros.** 2010. F. 71. Diss. (Mestrado) – Universidade do Vale do Itajaí, Itajaí.

OMORI, M.; IKEDA, T. **Methods in marine zooplankton ecology.** 1. ed. New York: J. Wiley, 1984.

ORMOND, R. F.; GAGE, J. D.; ANGEL, M. V. Marine biodiversity: patterns and processes. **Oceanographic Literature Review**, [s.l.], v. 1, n. 45, p. 101, 1998.

PARMESAN, C.; YOHE, G. A globally coherent fingerprint of climate change impacts across natural systems. **Nature**, [s.l.], v. 421, n. 6918, p. 37–42, 2003.

PASSAVANTE, J. Z. O. Contribuição ao estudo dos dinoflagelados da Plataforma Continental de Pernambuco-Brasil. **Trabalhos Oceanográficos da Universidade Federal de Pernambuco**, [s.l.], v. 14, p. 31–54, 1979.

PEARMAN, J. K.; KÜRTEN, S.; SARMA, Y. V. B.; JONES, B. H.; CARVALHO, S. Biodiversity patterns of plankton assemblages at the extremes of the Red Sea. **FEMS Microbiology Ecology**, [s.l.], v. 92, n. 3, fiw002, 2016.

PEREIRA, N. S.; MANSO, V. A. V.; SILVA, A. M. C.; SILVA, M. B. Mapeamento geomorfológico e morfodinâmica do Atol das Rocas, Atlântico Sul. **Revista de Gestão Costeira Integrada**, [s.l.], v. 10, n. 3, p. 331–345, 2010.

PIERCE, R. W.; TURNER, J. T. Plankton studies in Buzzards Bay, Massachusetts, USA. IV. Tintinnids, 1987 to 1988. **Marine Ecology Progress Series**, [s.l.], v. 112, p. 235–240, 1994.

PINTO, N. C. T.; MAFALDA, P.; SANTOS, A. T. Caracterização do Zooplâncton da Reserva Biológica do Atol das Rocas, na Campanha de Março-1991 (Verão). **Tropical Oceanography**, [s.l.], v. 25, n. 1, 1997.

PIZAY, M.-D.; LEMÉE, R.; SIMON, N.; CRAS, A.-L.; LAUGIER, J.-P.; DOLAN, J. R. Night and Day Morphologies in a Planktonic Dinoflagellate. **Protist**, [s.l.], v. 160, n. 4, p. 565–575, 2009.

QUEIROZ, A. R. **Estrutura do microfitoplâncton no arquipélago de São Pedro e São Paulo (Lat. 00°56'2"N e Long. 29°20'6"W): estimativa da biomassa em carbono através do biovolume celular.** 2011. Dissertação de Mestrado – Universidade Federal de Pernambuco, Recife.

QUEIROZ, A. R.; KOENING, M. L.; GASPAR, F. L. Cell biovolume and biomass in carbon of microphytoplankton species of oceanic regions, Equatorial Atlantic. **Tropical Oceanography**, [s.l.], v. 42, n. 2, p. 131–144, 2014.

- QUEIROZ, A. R.; MONTES, M. F.; CASTRO MELO, P. A. M. de; SILVA, R. A.; KOENING, M. L. Vertical and horizontal distribution of phytoplankton around an oceanic archipelago of the Equatorial Atlantic. **Marine Biodiversity Records**, [s.l.], v. 8, e155, 2015.
- QUEVEDO, M. The protistan microzooplankton community in the oligotrophic north-eastern Atlantic: large- and mesoscale patterns. **Journal of Plankton Research**, [s.l.], v. 25, n. 5, p. 551–563, 2003.
- RACKI, G. Silica-secreting biota and mass extinctions: survival patterns and processes. **Palaeogeography, Palaeoclimatology, Palaeoecology**, [s.l.], v. 154, n. 1-2, p. 107–132, 1999.
- REISS, J.; FORSTER, J.; CÁSSIO, F.; PASCOAL, C.; STEWART, R.; HIRST, A. G. When Microscopic Organisms Inform General Ecological Theory. *in:* WOODWARD, G. (Ed.). **Integrative Ecology: From Molecules to Ecosystems**. [S.l.]: Elsevier, 2010. v. 43. P. 45–85. DOI: 10.1016/b978-0-12-385005-8.00002-2.
- RICHARDS, F. A.; THOMPSON, T. G. The estimation and characterization of plankton populations by pigments analysis II. A spectrophotometric method for the estimations of plankton pigments. **Journal of Marine Research**, [s.l.], v. 11, n. 2, p. 156–172, 1952.
- RICHARDSON, A. J. In hot water: zooplankton and climate change. **ICES Journal of Marine Science**, [s.l.], v. 65, n. 3, p. 279–295, 2008.
- RICHARDSON, P. L.; MCKEE, T. K. Average seasonal variation of the Atlantic equatorial currents from historical ship drifts. **Journal of Physical Oceanography**, [s.l.], v. 14, n. 7, p. 1226–1238, 1984.
- RINGELBERG, J. Changes in Light Intensity and Diel Vertical Migration: a Comparison of Marine and Freshwater Environments. **Journal of the Marine Biological Association of the United Kingdom**, [s.l.], v. 75, n. 1, p. 15–25, 1995.
- RODRIGUES, O. A. A. O Atol das Rocas. **Rev. Mar. Brasil.**, [s.l.], v. 59, n. 11-12, p. 1181–1228, 1940.
- ROGERS, A. D. The Biology of Seamounts. *in:* ADVANCES in Marine Biology. [S.l.]: Elsevier, 1994. v. 30. P. 305–350. ISBN 978-0-12-026130-7. DOI: 10.1016/S0065-2881(08)60065-6.
- SAHU, G.; MOHANTY, A. K.; SAMANTARA, M. K.; SATPATHY, K. K. Seasonality in the distribution of dinoflagellates with special reference to harmful algal species in tropical coastal environment, Bay of Bengal. **Environmental Monitoring and Assessment**, [s.l.], v. 186, n. 10, p. 6627–6644, 2014.
- SALDARRIAGA, J. F.; TAYLOR, F. J. R. Dinoflagellata. *in:* TAYLOR, F. J. R. (Ed.). **Handbook of the Protists**. [S.l.]: Springer International Publishing, 2017. P. 625–678. DOI: 10.1007/978-3-319-28149-0_22.
- SAMPAIO, J. A. A. **Distribuição horizontal e vertical da clorofila a fitoplanctônica em águas da Zona Econômica Exclusiva do Nordeste Brasileiro**. João Pessoa: Technical reports, 1998.

- SCHEFFER, M.; CARPENTER, S. R. Catastrophic regime shifts in ecosystems: linking theory to observation. **Trends in Ecology & Evolution**, [s.l.], v. 18, n. 12, p. 648–656, 2003.
- SCHNEPF, E.; ELBRÄCHTER, M. Nutritional strategies in dinoflagellates. review with emphasis on cell biological aspects. **European Journal of Protistology**, [s.l.], v. 28, n. 1, p. 3–24, 1992.
- SCHOTT, F. A.; FISCHER, J.; STRAMMA, L. Transports and pathways of the upper-layer circulation in the western tropical Atlantic. **Journal of Physical Oceanography**, [s.l.], v. 28, n. 10, p. 1904–1928, 1998.
- SHAHEEN, P. A.; MANDERSON, J. P.; FAHAY, M. P. Stage-specific spatial and temporal variability in the diets of larval winter flounder (*Pseudopleuronectes americanus*) in a northeastern U.S. estuarine nursery. **Estuaries**, [s.l.], v. 27, n. 6, p. 958–965, 2004.
- SHERR, E. B.; SHERR, B. F. Heterotrophic dinoflagellates: a significant component of microzooplankton biomass and major grazers of diatoms in the sea. **Marine Ecology Progress Series**, [s.l.], v. 352, p. 187–197, 2007.
- SHERR, E. B.; SHERR, B. F.; PAFFEENHOFER, G. A. Phagotrophic Protozoa as food for metazoans: a "missing" trophic link in marine pelagic food webs? **Marine Microbial Food Webs**, [s.l.], v. 1, n. 2, p. 61–80, 1986.
- SMALLEY, G. W.; COATS, D. W.; STOECKER, D. K. Feeding in the mixotrophic dinoflagellate *Ceratium furca* is influenced by intracellular nutrient concentrations. **Marine Ecology Progress Series**, [s.l.], v. 262, p. 137–151, 2003.
- SOARES, M. O.; LEMOS, V. B.; KIKUCHI, R. K. P. D. Sedimentos carbonáticos bioclásticos do Atol das Rocas, Atlântico Sul Equatorial. **Revista Brasileira de Geociências**, [s.l.], v. 39, n. 4, p. 624–634, 2009.
- SOMSAP, N.; GAJASENI, N.; PIUMSOMBOON, A. Physico-Chemical Factors Influencing Blooms of *Chaetoceros* spp. and *Ceratium furca* in the Inner Gulf of Thailand. **Kasetsart Journal - Natural Science**, [s.l.], v. 49, n. 2, p. 200–210, 2015.
- SONG, J. **Biogeochemical Processes of Biogenic Elements in China Marginal Seas**. [S.l.]: Springer Berlin Heidelberg, 2010. DOI: 10.1007/978-3-642-04060-3.
- SOURNIA, A. Circadian Periodicities in Natural Populations of Marine Phytoplankton. **Advances in Marine Biology**, [s.l.], v. 12, p. 325–389, 1975.
- SOUSA, L.; RIVAS-CARBALLO, M. R.; PAIS, J. **Dinoflagelados. Nomenclatura portuguesa**. Caparica, Portugal: Centro de Estudos Geológicos, Dep. Ciências da Terra, Faculdade de Ciências e Tecnologia (UNL), 1999.
- SOUZA, C. A.; PECQUEUR, D.; FLOC'H, E. L.; MAS, S.; ROQUES, C.; MOSTAJIR, B.; VIDUSSI, F.; VELO-SUÁREZ, L.; SOURISSEAU, M.; FOUILLAND, E.; GUILLOU, L. Significance of Plankton Community Structure and Nutrient Availability for the Control of Dinoflagellate Blooms by Parasites: A Modeling Approach. **PLoS ONE**, [s.l.], v. 10, n. 6, e0127623, 2015.

- SOUZA, C. S.; LUZ, J. A. G.; MACEDO, S.; MONTES, M. J. F.; MAFALDA, P. Chlorophyll a and nutrient distribution around seamounts and islands of the tropical south-western Atlantic. **Marine and Freshwater Research**, [s.l.], v. 64, n. 2, p. 168, 2013.
- STENSETH, N. C.; MYSTERUD, A. Climate, changing phenology, and other life history traits: Nonlinearity and match-mismatch to the environment. **Proceedings of the National Academy of Sciences**, [s.l.], v. 99, n. 21, p. 13379–13381, 2002.
- STOECKER, D. K.; SANDERS, N. K. Differential grazing by *Acartia tonsa* on a dinoflagellate and a tintinnid. **Journal of Plankton Research**, [s.l.], v. 7, n. 1, p. 85–100, 1985.
- STORZ, D.; SCHULZ, H.; WANIEK, J. J.; SCHULZ-BULL, D. E.; KUČERA, M. Seasonal and interannual variability of the planktic foraminiferal flux in the vicinity of the Azores Current. **Deep Sea Research Part I: Oceanographic Research Papers**, [s.l.], v. 56, n. 1, p. 107–124, 2009.
- STRICKLAND, J. D. H.; PARSONS, T. R. A practical handbook of sea water analysis. **Bulletin of Fisheries Research**, [s.l.], v. 167, p. 1–311, 1972a.
- _____. **A Practical Handbook of Seawater Analysis**. 2nd edition. [S.l.]: Fisheries Research Board of Canada, 1972b. 310 p.
- SUSINI-RIBEIRO, S. M. M.; POMPEU, M.; GAETA, S. A.; SOUZA, J. S. D.; MASUDA, L. S. D. Topographical and hydrographical impacts on the structure of microphytoplankton assemblages on the Abrolhos Bank region, Brazil. **Continental Shelf Research**, [s.l.], v. 70, p. 88–96, 2013.
- TARANGKOON, W.; HANSEN, G.; HANSEN, P. J. Spatial distribution of symbiont-bearing dinoflagellates in the Indian Ocean in relation to oceanographic regimes. **Aquatic Microbial Ecology**, [s.l.], v. 58, p. 197–213, 2010.
- TAYLOR, F. J. R. Dinoflagellates from the International Indian Ocean Expedition. **Bibliotheca Botannica**, [s.l.], v. 132, p. 1–222, 1976.
- _____. General Features of Dinoflagellate Material Collected by the "Anton Bruun" during the International Indian Ocean Expedition. *in:* ZEITZSCHEL, B. (Ed.). **The biology of the Indian Ocean: biological studies**. [S.l.]: Springer Berlin Heidelberg, 1973. P. 155–169. DOI: 10.1007/978-3-642-65468-8_11.
- _____. Harmful dinoflagellate species in space and time and the value of morphospecies. *in:* STEIDINGER, K. A.; LANDSBERG, J. H.; TOMAS, C. R. (Ed.). **Harmful algae**. [S.l.]: UNESCO, 2004. P. 555–559.
- _____. **The Biology of Dinoflagellates**. 1. ed. [S.l.]: Wiley-Blackwell, 1987.
- TAYLOR, F. J. R.; HOPPENRATH, M.; SALDARRIAGA, J. F. Dinoflagellate diversity and distribution. **Biodiversity and Conservation**, [s.l.], v. 17, n. 2, p. 407–418, 2007.

TCHAMABI, C. C.; ARAUJO, M.; SILVA, M.; BOURLÈS, B. A study of the Brazilian Fernando de Noronha island and Rocas atoll wakes in the tropical Atlantic. **Ocean Modelling**, [s.l.], v. 111, p. 9–18, 2017.

TENENBAUM, D. R. **Dinoflagelados e tintinídeos da região central da Zona Econômica Exclusiva brasileira: guia de identificação**. Rio de Janeiro: Museu Nacional do Rio de Janeiro, 2006.

THOMPSON, G. A.; ALDER, V. A.; BOLTOVSKOY, D.; BRANDINI, F. Abundance and biogeography of tintinnids (Ciliophora) and associated microzooplankton in the Southwestern Atlantic Ocean. **Journal of Plankton Research**, [s.l.], v. 21, n. 7, p. 1265–1298, 1999.

THOMPSON, G. Tintinnid diversity trends in the southwestern Atlantic Ocean (29 to 60S). **Aquatic Microbial Ecology**, [s.l.], v. 35, p. 93–103, 2004.

THURMAN, H. V.; TRUJILLO, A. P. **Introductory oceanography**. 10. ed. [S.l.]: Pearson, 2003. ISBN 978-0131438880.

TIBURCIO, A. S. X. S.; KOENING, M. L.; MACÊDO, S. J.; MELO, P. A. M. C. A comunidade microfitoplanctônica do Arquipélago de São Pedro e São Paulo (Atlântico Norte-Equatorial): variação diurna e espacial. **Biota Neotropica**, [s.l.], v. 11, n. 2, p. 203–215, 2011.

TINOCO, I. M. Foraminíferos do Atol das Rocas. **Tropical Oceanography**, [s.l.], v. 7, n. 1, 1965.

TRAVASSOS, P.; HAZIN, F. H. V.; ZAGAGLIA, J. R.; ADVÍNCULA, R.; SCHOBER, J. Thermohaline structure around seamounts and islands off North-Eastern Brazil. **Archive of Fishery and Marine Research**, [s.l.], v. 47, n. 2/3, p. 211–222, 1999.

TUNIN-LEY, A.; LEMÉE, R. The Genus *Neoceratium* (Planktonic Dinoflagellates) as a Potential Indicator of Ocean Warming. **Microorganisms**, [s.l.], v. 1, n. 1, p. 58–70, 2013.

TURNER, J. T. The importance of small planktonic copepods and their roles in pelagic marine food webs. **Zoological studies**, [s.l.], v. 43, n. 2, p. 255–266, 2004.

VARGAS, C.; AUDIC, S.; HENRY, N.; DECELLE, J.; MAHE, F.; LOGARES, R.; LARA, E.; BERNEY, C.; BESCOT, N. L.; PROBERT, I.; CARMICHAEL, M.; POULAIN, J.; ROMAC, S.; COLIN, S.; AURY, J.-M.; BITTNER, L.; CHAFFRON, S.; DUNTHORN, M.; ENGELEN, S.; FLEGONTOVA, O.; GUIDI, L.; HORAK, A.; JAILLON, O.; LIMA-MENDEZ, G.; LUKE, J.; MALVIYA, S.; MORARD, R.; MULOT, M.; SCALCO, E.; SIANO, R.; VINCENT, F.; ZINGONE, A.; DIMIER, C.; PICHERAL, M.; SEARSON, S.; KANDELS-LEWIS, S.; ACINAS, S. G.; BORK, P.; BOWLER, C.; GORSKY, G.; GRIMSLEY, N.; HINGAMP, P.; IUDICONE, D.; NOT, F.; OGATA, H.; PESANT, S.; RAES, J.; SIERACKI, M. E.; SPEICH, S.; STEMMANN, L.; SUNAGAWA, S.; WEISSENBACH, J.; WINCKER, P.; KARSENTI, E.; BOSS, E.; FOLLOWS, M.; KARP-BOSS, L.; KRZIC, U.; REYNAUD, E. G.; SARDET, C.; SULLIVAN, M. B.; VELAYOUDON, D. Eukaryotic plankton diversity in the sunlit ocean. **Science**, [s.l.], v. 348, n. 6237, p. 1261605–1261605, 2015.

VILLAÇA, R.; JENSEN, V. K. *Dictyopteris jamaicensis* Taylor (Phaeophyceae, Dictyotales): nova ocorrência para o Atol das Rocas e primeira descrição para a costa brasileira. **Arquivos do Museu Nacional**, [s.l.], v. 64, n. 3, p. 215–221, 2006.

VISSEER, A. W.; STIPS, A. Turbulence and zooplankton production: insights from PROVESS. **Journal of Sea Research**, [s.l.], v. 47, n. 3-4, p. 317–329, 2002.

WALTHER, G.-r.; POST, E.; CONVEY, P.; MENZEL, A.; PARMESAN, C.; BEEBEE, T. J.; FROMENTIN, J.-m.; HOEGH-GULDBERG, O.; BAIRLEIN, F. Ecological responses to recent climate change. **Nature**, [s.l.], v. 416, n. 6879, p. 389, 2002.

WEILER, C. S. Population structure and in situ division rates of *Ceratium* in oligotrophic waters of the North Pacific central gyre. **Limnology and Oceanography**, [s.l.], v. 25, n. 4, p. 610–619, 1980.

YANG, J.; BEYENS, L.; SHEN, Y.; FENG, W. Redescription of *Diffugia tuberspinifera* Hu, Shen, Gu et Gong, 1997 (Protozoa: Rhizopoda: Arcellinida: Diffugiidae) from China. **Acta protozoologica**, [s.l.], v. 43, n. 3, p. 281–289, 2004.

ZAR, J. H. **Biostatistical analysis**. Fifth edition. [S.l.]: Pearson, 2018. ISBN 978-0134995441.